

# **YILDIZ TEKNİK ÜNİVERSİTESİ**

## **FEN BİLİMLERİ ENSTİTÜSÜ**

# KISA YARI ÖMÜRLÜ ÇEKİRDEKLERİN YARILANMA SÜRELERİİNİN BELİRLENMESİ

Adnan ELMALI

**F.B.E Fizik Anabilim Dalında  
Hazırlanan**

DOKTORA TEZİ

106366

**Tez Savunma Tarihi** : 11 Haziran 2001 *Mehmet*  
**Tez Danışmanı** : Prof. Dr. Metin SUBAŞI (YTÜ) *Beyaz*  
**Jüri Üyeleri** : Prof. Dr. R.Ahmet BAYÜLKEN (İTÜ) *Beyaz*  
                  : Prof. Dr. M.Nizamettin ERDURAN (İÜ) *Nizamettin*

İSTANBUL, 2001

## **İÇİNDEKİLER**

	Sayfa
SİMGE LİSTESİ .....	iv
KISALTMA LİSTESİ .....	v
ŞEKİL LİSTESİ .....	vi
ÇİZELGE LİSTESİ .....	ix
ÖNSÖZ.....	x
ÖZET.....	xi
ABSTRACT.....	xii
 1. GİRİŞ.....	 1
 2. TEMEL BİLGİLER.....	 3
2.1 Radyasyon Nedir.....	3
2.2 Radyoaktivite ve Radyoaktif Bozunum.....	3
2.2.1 Radyoaktif bozunma yasası.....	4
2.2.2 Yarlanma süresi (Yarı Ömür).....	5
2.3 Beta ( $\beta$ ) Bozunuğu Takip Eden Gama ( $\gamma$ ) Radyasyonu	6
2.4 İzomerik Durumlar (İzomerler).....	8
2.5 Nötron Tepkileşimleri Sonucu $\beta^-$ -aktif Çekirdeklerin Elde Edilmesi.....	9
2.6 Deneyel Ölçümlerde Belirsizlikler (Hatalar).....	12
2.6.1 Elektronik donanımdan kaynaklanan belirsizlikler .....	13
2.6.1.1 Aletlerin ölü zamanından kaynaklanan belirsizlikler .....	13
2.6.1.2 Aletlerde darbe yükselimidandan (pile up) kaynaklanan belirsizlikler .....	13
2.6.1.3 Rasgele eş zamalı (coincidence summing) sayımlarından kaynaklanan belirsizlikler .....	14
2.6.2 Bileşik Belirsizlikler (Standart hatalar) .....	14
2.6.3 Sayım değerlerindeki standart hatalar .....	15
2.7 En Küçük Kareler Yöntemi ile Radyoaktif Bozunumun Uyum Denkleminin Katsayılarının Belirlenmesi .....	16
 3. DENEY DÜZENEĞİ.....	 18
3.1 Işınlama Sistemi.....	18
3.1.1 Alçak enerjili iyon hızlandırıcısı Sames T-400'ün tanıtımı.....	18
3.1.2 Nötron kaynağı.....	19
3.2 Pnömatik Transfer Sistemi.....	20
3.2.1 Örnek Transfer Sistemi .....	22

<b>4.</b>	<b>DENEYSEL ÇALIŞMA.....</b>	<b>23</b>
4.1	HPGe Dedektörünün Enerji Kalibrasyonunun Yapılması.....	23
4.2	HPGe Dedektörünün Gama Işınları için Verim Kalibrasyonunun Yapılması	24
4.3	Tek Kanallı Analizörün (SCA) LLE Kalibrasyonu.....	26
4.4	Çok Kanallı Analizörün Çoklu-Ölçekleme ( Multiscaling Mode) Şeklinde Kullanılması .....	28
4.5	Ölü Zaman ve Darbe Yığılımı Düzeltmelerinde Pulser'in Kullanımı .....	28
4.6	Yarılanma Süresi Ölçümleri .....	29
4.6.1	Ms (Multiscaling) yöntemi ile yarılanma süresi ölçümleri .....	31
4.6.2	Gama enerji tepesini ayırma yöntemi (GETAY) ile yarılanma süresi ölçümleri .....	33
4.7	Data Transfer Süresinin Ölçüm Değerlerine ve Yarılanma Süresine Etkisi...	39
<b>5.</b>	<b>DENEY SONUÇLARI .....</b>	<b>43</b>
5.1	$^{91m}$ Mo Çekirdeğinin Yarılanma Süresi .....	46
5.2	$^{75m}$ Ge Çekirdeğinin Yarılanma Süresi .....	52
5.3	$^{23}$ Ne Çekirdeğinin Yarılanma Süresi .....	58
5.4	$^{19}$ O Çekirdeğinin Yarılanma Süresi .....	64
5.5	$^{46m}$ Sc Çekirdeğinin Yarılanma Süresi .....	70
5.6	$^{20}$ F Çekirdeğinin Yarılanma Süresi .....	76
5.7	$^{16}$ N Çekirdeğinin Yarılanma Süresi .....	82
5.8	$^{68g}$ Cu Çekirdeğinin Yarılanma Süresi .....	88
<b>6.</b>	<b>TARTIŞMA ve SONUÇLAR .....</b>	<b>98</b>
<b>KAYNAKLAR.....</b>		<b>105</b>
<b>EKLER .....</b>		<b>108</b>
Ek 1	En küçük kareler yöntemi .....	108
Ek 2	Yarılanma süresi ölçümleri için yazılmış kontrol programı .....	113
Ek 3	Işınlama sırasında nötron akısının deney şartları ve deneysel veriler ile Hesaplayan program .....	120
Ek 4	En küçük kareler ve $\chi^2$ Yöntemi ile uyum parametrelerinin Belirlenmesi	124
<b>ÖZGEÇMİŞ.....</b>		<b>128</b>

## SİMGELİSTESİ

A	Aktivite
f	Gama şiddeti (bolluğu)
$f_g$	Temel seviye geçiş için gama şiddeti
$f_m$	İzomer seviye geçiş için gama şiddeti
h	Izotopik bolluk
$N_A$	Avogadro sayısı
$N_0$	T=0 anındaki sayılmış değeri
$N_g$	Temel seviye için sayılmış değeri
$N_m$	İzomer seviye için sayılmış değeri
$P(E\gamma)$	$E\gamma$ enerjili tüm enerji tepesi altındaki alan
R	Reaksiyon hızı
S	Standart sapma
$t_i$	Işınlama süresi
$t_b$	Bekleme süresi
$t_s$	Sayma süresi
$T_{1/2}$	Yarlanma süresi (yarı ömür)
$Z_g$	Temel seviye bozunumu için zaman sabiti
$Z_m$	İzomer seviye bozunumu için zaman sabiti
$\beta^-$	Negatif beta bozunumu
$\beta^+$	Pozitif beta bozunumu
$e^-$	Negatif elektron
$e^+$	pozitif elektron
$\epsilon$	Dedektör verimi
$\Delta t$	Sayılmış değerinin bilgisayara kaydedilmesi için geçen süre
$\Omega$	Katı açı
$\lambda$	Bozunma sabiti
$\lambda_g$	Temel seviye için bozunma sabiti
$\lambda_m$	İzomer seviye için bozunma sabiti
$\phi$	Nötron akışı
$\bar{\nu}$	Anti nötrino
$\nu$	Nötrino
Q	Reaksiyon enerjisi
$\sigma$	Tesir Kesiti (tepkileşim kesiti)
$\sigma_g$	Temel seviye için tesir Kesiti (tepkileşim kesiti)
$\sigma_m$	İzomer seviye için tesir Kesiti (tepkileşim kesiti)
$\chi^2$	Chi square

## KISALTMA LİSTESİ

ADC	Analog to Digital Converter
BNL	Brookhaven National Data Laboratory
CPU	Central Prossesing Unit
ÇNAEM	Çekmece Nükleer Araştırma ve Eğitim Merkezi
FWHM	Full Width at Half Maximum
GETAY	Gama Enerji Tepesi Ayrıma Yöntemi
HPGe	High Purity Germanium
HV	High Voltage
JAERI	Japan Atomic Energy Research Institute
LLE	Low Level Energy
MCA	Multi Channel Analyser
MCB	Multi Channel Scaler
MS	Multi Scaling
SCA	Single Channel Analyser
TAC	Time to Amplitute Converter
TET	Tüm Enerji Tepesi

## ŞEKİL LİSTESİ

	Sayfa
Şekil 1.1 <i><sup>75m</sup>Ge radyoizotopunun yıllara göre ölçülmüş yarılanma süreleri (Değerler JAERI 97-005 konferans raporundan alınmıştır).</i>	2
Şekil 2.1 Beta bozunuşu sonucu gama yayınısına iki örnek.	7
Şekil 2.2 İzomerik durumların oluşumu.	8
Şekil 3.1 Hızlandırıcı salonu ve ölçüm odasının şematik gösterimi.	21
Şekil 3.2 Sames T-400 Nötron jeneratörü ve hızlandırıcı salonu	22
Şekil 4.1 HPGe Dedektörünün Enerji Kalibrasyonu.	24
Şekil 4.2 HPGe dedektörünün TET Verimi.	25
Şekil 4.3 SCA'nın kalibrasyonu için kurulan deney düzeneği (P/A : Preamplifier Model 2001, Amp : Spectroscopy Amp. Model 2020, ADC : Model 8075 , MCA : Model 85, SCA : Model 2035A, HV : Model 3105).	27
Şekil 4.4 SCA'nın kalibrasyon eğrisi : $LLE = 0.00341493.E(\gamma) + 0.00060274$ ...	27
Şekil 4.5 Kısa yarı ömür ölçümü için kurulan deneysel düzenek (P/A : Preamplifier Model 2001, Amp : Spectroscopy Amp. Model 2020, ADC : Model 8075, MCA : Model 85, SCA : Model 2035A , HV : Model 3105 , MCS : Model 8082).	31
Şekil 4.6 <sup>27</sup> Al örneğinin ışınlanması sonucu alınan gama spektrumu .....	32
Şekil 4.7 (a) MCS yöntemi ile elde edilen bozunum grafiği. (b) Bozunum eğrisine yarı-logaritmik ölçekte yapılan lineer uyumlama.	32
Şekil 4.8 Işınlama süresi ve nötron akısına bağlı olارak birinci ölçümde oluşması mümkün sayımlar.	34
Şekil 4.9 Komşu gama tepesinden dolayı meydana gelen compton bölgesinin ilgililenen gama tepesine etkisi .....	35
Şekil 4.10 Yarı ömür ölçümü için spektrumların alınmasında kullanılan Turbo Basic dili ile yazılmış kontrol programı.	36
Şekil 4.11 Sayım işlemlerinde geçen sürelerin kaydedildiği dosyanın içeriği.	37
Şekil 4.12 Yarı ömür ölçümü için kullanılan elektronik düzenek.	37
Şekil 4.13 (a) Gama enerji tepesi ayırma yöntemi ile elde edilen bozunum grafiği. (b) Bozunum eğrisine yarı-logaritmik ölçekte yapılan lineer uyumlama .....	39
Şekil 4.14 Sayma süresi ve data transfer süresi ( t :sayım yapılan süre, $\Delta t$ : bilgilerin bilgisayar ortamına aktarılması için geçen süre).	40
Şekil 5.1 Sames T-400 hızlandırıcısında örnek işınlama geometrisi.	44
Şekil 5.2 HPGe dedektörü ve örnek sayım geometrisi .....	44
Şekil 5.3 <sup>92</sup> Mo(n,2n) <sup>91m</sup> Mo tepkileşimi sonucu izomerik geçişten meydana gelen 652.9 KeV gama ışınları.	46
Şekil 5.4 <sup>92</sup> Mo(n,2n) <sup>91m</sup> Mo tepkileşimi sonucu elde edilen gama spektrumu .....	47
Şekil 5.5a Deney 1 : <sup>91m</sup> Mo izotopunun yarılanma süresi ölçümlerinin grafiksel gösterimi (uyum parametreleri: $N_0=4614$ , $\lambda=0.010576$ , uyumun ortalama standart hatası $\sigma = 40.66$ ) .....	49
Şekil 5.5b Deney 2 : <sup>91m</sup> Mo izotopunun yarılanma süresi ölçümlerinin grafiksel gösterimi (uyum parametreleri: $N_0 = 2760$ , $\lambda = 0.010609$ , uyumun ortalama standart hatası $\sigma = 56.16$ ) .....	50
Şekil 5.5c Deney 3 : <sup>91m</sup> Mo izotopunun yarılanma süresi ölçümlerinin grafiksel gösterimi (uyum parametreleri: $N_0 = 4532$ , $\lambda = 0.0106137$ , uyumun ortalama standart hatası $\sigma = 41.07$ ) .....	51
Şekil 5.6 <sup>76</sup> Ge(n,2n) <sup>75m</sup> Ge tepkileşimi sonucu izomerik geçişten meydana gelen 139.68 KeV gama ışınları .....	52

Şekil 5.7	$^{76}\text{Ge}(\text{n},2\text{n})^{75m}\text{Ge}$ tepkileşimi sonucu elde edilen gama spektrumu .....	53
Şekil 5.8a	Deney 1 : $^{75m}\text{Ge}$ izotopunun yarılanma süresi ölçümlerinin grafik gösterimi. Uyum parametreleri: $N_0=23412$ , $\lambda=0.014532$ , uyumun ortalama standart hatası $\sigma = 133.22$ .....	55
Şekil 5.8b	Deney 3 : $^{75m}\text{Ge}$ izotopunun yarılanma süresi ölçümlerinin grafik gösterimi. Uyum parametreleri : $N_0=84976$ , $\lambda=0.0145181$ , uyumun ortalama standart hatası $\sigma = 569.93$ .....	56
Şekil 5.8c	Deney 3 : $^{75m}\text{Ge}$ izotopunun yarılanma süresi ölçümlerinin grafik gösterimi Uyum parametreleri : $N_0=72277$ , $\lambda=0.0145197$ , uyumun ortalama standart hatası $\sigma = 563.51$ .....	57
Şekil 5.9	$^{23}\text{Na}(\text{n},\text{p})^{23}\text{Ne}$ tepkileşimi sonucu oluşan gama ışınları .....	58
Şekil 5.10	$^{23}\text{Na}(\text{n},\text{p})^{23}\text{Ne}$ tepkileşimi sonucu elde edilen gama spektrumu .....	59
Şekil 5.11a	Deney 1 : $^{23}\text{Ne}$ izotopunun yarılanma süresi ölçümlerinin grafik gösterimi. Uyum parametreleri : $N_0=9606$ , $\lambda=0.0186285$ , uyumun ortalama standart hatası $\sigma = 106.05$ .....	61
Şekil 5.11b	Deney 2 : $^{23}\text{Ne}$ izotopunun yarılanma süresi ölçümlerinin grafik gösterimi. Uyum parametreleri : $N_0=8980$ , $\lambda=0.0186235$ , uyumun ortalama standart hatası $\sigma = 73.94$ .....	62
Şekil 5.11c	Deney 3 : $^{23}\text{Ne}$ izotopunun yarılanma süresi ölçümlerinin grafik gösterimi.Uyum parametreleri : $N_0=9288$ , $\lambda=0.0186275$ , uyumun ortalama standart hatası $\sigma = 148.42$ .....	63
Şekil 5.12	$^{19}\text{F}(\text{n},\text{p})^{19}\text{O}$ tepkişelimi sonucu meydana gelen gama ışınları .....	64
Şekil 5.13	$^{19}\text{F}(\text{n},\text{p})^{19}\text{O}$ tepkileşimi sonucu elde edilen gama spektrumu .....	65
Şekil 5.14a	Deney 1 : $^{19}\text{O}$ izotopunun yarılanma süresi ölçümlerinin grafik gösterimi. Uyum parametreleri : $N_0=75240$ , $\lambda=0.0257482$ , uyumun ortalama standart hatası $\sigma = 1331$ .....	67
Şekil 5.14b	Deney 2 : $^{19}\text{O}$ izotopunun yarılanma süresi ölçümlerinin grafik gösterimi. Uyum parametreleri : $N_0=87560$ , $\lambda=0.0257254$ , uyumun ortalama standart hatası $\sigma = 964.82$ .....	68
Şekil 5.14c	Deney 3 : $^{19}\text{O}$ izotopunun yarılanma süresi ölçümlerinin grafik gösterimi. Uyum parametreleri : $N_0=88625$ , $\lambda=0.0256974$ , uyumun ortalama standart hatası $\sigma = 1549$ .....	69
Şekil 5.15	$^{46}\text{Ti}(\text{n},\text{p})^{46m}\text{Sc}$ tepkileşimi sonucu izomerik geçişinden meydana gelen 142.53 KeV gama ışınları. ....	70
Şekil 5.16	$^{46}\text{Ti}(\text{n},\text{p})^{46m}\text{Sc}$ tepkileşimi sonucu elde edilen gama spektrumu .....	71
Şekil 5.17a	Deney 1 : $^{46m}\text{Sc}$ izotopunun yarılanma süresi ölçümlerinin grafik gösterimi.Uyum parametreleri : $N_0=2430$ , $\lambda=0.0370036$ , uyumun ortalama standart hatası $\sigma = 76.5$ .....	73
Şekil 5.17b	Deney 2 : $^{46m}\text{Sc}$ izotopunun yarılanma süresi ölçümlerinin grafik gösterimi. Uyum parametreleri : $N_0=3076$ , $\lambda=0.0370481$ , uyumun ortalama standart hatası $\sigma = 28.31$ .....	74
Şekil 5.17c	Deney 3 : $^{46m}\text{Sc}$ izotopunun yarılanma süresi ölçümlerinin grafik gösterimi. Uyum parametreleri : $N_0=2310$ , $\lambda=0.0370776$ , uyumun ortalama standart hatası $\sigma = 43.20$ .....	75
Şekil 5.18	$^{23}\text{Na}(\text{n},\alpha)^{20}\text{F}$ tepkileşimi sonucu meydana gelen gama ışınları .....	76
Şekil 5.19	$^{23}\text{Na}(\text{n},\alpha)^{20}\text{F}$ tepkileşimi sonucu elde edilen gama spektrumu .....	77
Şekil 5.20a	Deney 1 : $^{20}\text{F}$ izotopunun yarılanma süresi ölçümlerinin grafik gösterimi. Uyum parametreleri : $N_0=5860$ , $\lambda=0.0623769$ , uyumun ortalama standart hatası $\sigma = 72.19$ .....	79

Şekil 5.20b	Deney 2 : $^{20}\text{F}$ izotopunun yarılanma süresi ölçümlerinin grafik gösterimi. Uyum parametreleri : $N_0=6554$ , $\lambda=0.0621137$ , uyumun ortalama standart hatası $\sigma = 82.16$ .....	80
Şekil 5.20c	Deney 3 : $^{20}\text{F}$ izotopunun yarılanma süresi ölçümlerinin grafik gösterimi. Uyum parametreleri : $N_0=5944$ , $\lambda=0.0624498$ , uyumun ortalama standart hatası $\sigma = 79.95$ .....	81
Şekil 5.21	$^{19}\text{F} (n,\alpha)^{16}\text{N}$ tepkileşimi sonucu oluşan gama ışınları .....	82
Şekil 5.22	$^{19}\text{F} (n,\alpha)^{16}\text{N}$ tepkileşimi sonucu elde edilen gama spektrumu. ....	83
Şekil 5.23a	Deney 1 : $^{16}\text{N}$ izotopunun yarılanma süresi ölçümlerinin grafik gösterimi. Uyum parametreleri : $N_0=1150$ , $\lambda=0.0971502$ , uyumun ortalama standart hatası $\sigma = 28.71$ .....	85
Şekil 5.23b	Deney 2 : $^{16}\text{N}$ izotopunun yarılanma süresi ölçümlerinin grafik gösterimi. Uyum parametreleri : $N_0=1014$ , $\lambda=0.0971037$ , uyumun ortalama standart hatası $\sigma = 27.41$ .....	86
Şekil 5.23c	Deney 3 : $^{16}\text{N}$ izotopunun yarılanma süresi ölçümlerinin grafik gösterimi. Uyum parametreleri : $N_0=812$ , $\lambda=0.0971195$ , uyumun ortalama standart hatası $\sigma = 16.92$ .....	87
Şekil 5.24	$^{68}\text{Zn} (n,p) ^{68\text{g}}\text{Cu}$ ve $^{68}\text{Zn} (n,p) ^{68\text{m}}\text{Cu}$ tepkileşimleri sonucu oluşan gama ışınları ( $f_\gamma > \% 2$ olanlar gösterilmiştir) .....	89
Şekil 5.25	$^{68}\text{Zn} (n,p) ^{68\text{g}}\text{Cu}$ ve $^{68}\text{Zn} (n,p) ^{68\text{m}}\text{Cu}$ tepkileşimleri sonucu elde edilen gama spektrumu .....	89
Şekil 5.26a	Deney 2: $^{68\text{g}}\text{Cu}$ izotopunun yarılanma süresi ölçümlerinin grafiksel gösterimi. Uyum parametreleri : $N_0=1965$ , $\lambda=0.02222357$ , uyumun ortalama standart hatası $\sigma = 39.83$ .....	95
Şekil 5.26b	Deney 2 : $^{68\text{g}}\text{Cu}$ izotopunun yarılanma süresi ölçümlerinin grafiksel gösterimi.Uyum parametreleri : $N_0=1837$ , $\lambda=0.02226213$ , uyumun ortalama standart hatası $\sigma = 57.21$ .....	96
Şekil 5.26c	Deney 2 : $^{68\text{g}}\text{Cu}$ izotopunun yarılanma süresi ölçümlerinin grafiksel gösterimi.Uyum parametreleri : $N_0=1360$ , $\lambda=0.02236433$ , uyumun ortalama standart hatası $\sigma = 46.95$ .....	97
Şekil 6.1	$^{16}\text{N}$ çekirdeğinin yıllara göre yarılanma süresinin değişimi .....	102
Şekil 6.2	$^{20}\text{F}$ çekirdeğinin yıllara göre yarılanma süresinin değişimi. ....	103
Şekil 6.3	$^{19}\text{O}$ çekirdeğinin yıllara göre yarılanma süresinin değişimi .....	104

## ÇİZELGE LİSTESİ

### Sayfa

Çizelge 3.1	Döteron – Tritium tepkileşimi özellikleri ( Csikai, 1987 ) .....	20
Çizelge 4.1	Enerji kalibrasyonu için kullanılan standart gama kaynakları .....	23
Çizelge 5.1	Deneysel çalışmalarda radyoaktif çekirdek üretmek için kullanılan malzemeler .....	43
Çizelge 5.2	$^{92}\text{Mo}(n,2n)^{91m}\text{Mo}$ için ıshılama ve ölçüm işlemleri ile ilgili bilgiler ....	48
Çizelge 5.3	$^{91m}\text{Mo}$ çekirdeğinin yarılanma süresi .....	48
Çizelge 5.4	$^{76}\text{Ge}(n,2n)^{75m}\text{Ge}$ için ıshılama ve ölçüm işlemleri ile ilgili bilgiler .....	54
Çizelge 5.5	$^{75m}\text{Ge}$ çekirdeğinin yarılanma süresi .....	54
Çizelge 5.6	$^{23}\text{Na}(n,p)^{23}\text{Ne}$ tepkileşimi için ıshılama ve ölçüm işlemleri ile ilgili bilgiler .....	60
Çizelge 5.7	$^{23}\text{Ne}$ çekirdeğinin yarılanma süresi .....	60
Çizelge 5.8	$^{19}\text{F}(n,p)^{19}\text{O}$ tepkileşimi için ıshılama ve ölçüm işlemleri ile ilgili bilgiler .....	66
Çizelge 5.9	$^{19}\text{O}$ çekirdeğinin yarılanma süresi .....	66
Çizelge 5.10	$^{46}\text{Ti}(n,p)^{46m}\text{Sc}$ tepkileşimi için ıshılama ve ölçüm işlemleri ile ilgili Bilgiler .....	72
Çizelge 5.11	$^{46m}\text{Sc}$ çekirdeğinin yarılanma süresi .....	72
Çizelge 5.12	$^{23}\text{Na}(n,\alpha)^{20}\text{F}$ tepkileşimi için ıshılama ve ölçüm işlemleri ile ilgili bilgiler .....	78
Çizelge 5.13	$^{20}\text{F}$ çekirdeğinin yarılanma süresi .....	78
Çizelge 5.14	$^{19}\text{F}(n,\alpha)^{16}\text{N}$ tepkileşimi için ıshılama ve ölçüm işlemleri ile ilgili bilgiler .....	84
Çizelge 5.15	$^{16}\text{N}$ çekirdeğinin yarılanma süresi .....	84
Çizelge 5.16	$^{68}\text{Zn}(n,p)^{68g}\text{Cu}$ ve $^{68}\text{Zn}(n,p)^{68m}\text{Cu}$ tepkileşimlerine ait nükleer veriler .....	88
Çizelge 5.17	$^{68}\text{Zn}(n,p)^{68g}\text{Cu}$ ve $^{68}\text{Zn}(n,p)^{68m}\text{Cu}$ tepkileşimleri için ıshılama ve ölçüm işlemleri ile ilgili bilgiler .....	93
Çizelge 5.18	$^{68}\text{Cu}$ çekirdeğinin yarılanma süresi .....	94
Çizelge 6.1	Bu çalışmada yarılanma süreleri ölçülen çekirdekler .....	101

## **ÖNSÖZ**

“ Kısa Yarı Ömürlü Çekirdeklerin Yarlanma Sürelerinin Belirlenmesi ” adlı bu Doktora tezim , Türkiye Atom Enerjisi Kurumu, Çekmece Nükleer Araştırma ve Eğitim Merkezi Fizik Bölümü’nde gerçekleştirılmıştır. Doktora çalışmam süresince bana yol gösteren, sahip olduğu deneyimlerini benimle paylaşan tez danışmanım, Y.T.Ü. Fizik Bölümü Öğretim üyesi Sayın Prof. Dr. Metin SUBAŞI ’ ya içten teşekkürlerimi sunarım.

Tez çalışmamın son zamanlarına kadar araştırma görevlisi bulunduğu Y.T.Ü. Fen Edebiyat Fakültesinde, Dekanımız Sayın Prof. Dr. Durul ÖREN ve Fizik Bölüm Başkanı Sayın Prof. Dr. Emel ÇINGİ ’ya tez çalışmamı yürütebilmem için sağladıkları destek ve olanaklar için içtenlikle teşekkür ederim.

Gerek Yüksek Lisans çalışmamda ve gerek Doktora çalışmamda daima akıl danıştığım , bilimsel konularda bilgisini ve yardımlarını benden esirgemeyen İ.Ü. Fen Edebiyat Fakültesi Fizik Bölümü Öğretim Üyesi Sayın Prof. Dr. Nizamettin ERDURAN'a içten teşekkürlerimi bir borç bilirim.

Çalışmamı yürüttüğüm ve her konuda bilgilerini ve tecrübelerini bana aktaran ve destek olan Ç.N.A.E.M Fizik Bölümü çalışanları,

Dr. A. İskender REYHANCAN

Gökçe TARCAN

Yıldırıay ÖZBİR

Cüneyt Özbaylı

Dr. Hamit ATASOY

Dr. Adnan BAYKAL ve

Aclan AKBULUT'a teşekkürlerimi bir borç bilirim.

Son olarak benden manevi desteğini esirgemeyen ve zor günlerimde bana daima moral kaynağı olan sevgili eşim Fikriye ELMALI' ya gönülden teşekkürlerimi sunarım.

Adnan ELMALI

Haziran -2001

## ÖZET

Bu çalışmada  $^{19}\text{F}(\text{n},\text{p})^{19}\text{O}$  (26.94 sn.) ,  $^{76}\text{Ge}(\text{n},2\text{n})^{75\text{m}}\text{Ge}$  (47.73 sn.),  $^{23}\text{Na}(\text{n},\text{p})^{23}\text{Ne}$  (37.24 sn.),  $^{23}\text{Na}(\text{n},\alpha)^{20}\text{F}$  (11.12 sn.),  $^{68}\text{Zn}(\text{n},\text{p})^{68\text{g}}\text{Cu}$  (31.11 sn.) ,  $^{46}\text{Ti}(\text{n},\text{p})^{46\text{m}}\text{Sc}$  (18.70 sn.) ,  $^{19}\text{F}(\text{n},\alpha)^{16}\text{N}$  (7.13 sn.) ve  $^{92}\text{Mo}(\text{n},2\text{n})^{91\text{m}}\text{Mo}$  (65.40 sn.) tepkileşimleri sonucu oluşan radyoaktif çekirdeklerin yarılanma süreleri belirlenmiştir.

Yarılanma süresi ölçümleri Çekmece Nükleer Araştırma ve Eğitim Merkezi, Fizik bölümünde bulunan Sames T-400 nötron jeneratörü ile gerçekleştirilmiştir. Hızlı nötronlar ( $\sim 14$  MeV), bir trityum hedefin 300 KeV enerjili döteronlarla bombardımanı sonucu  $\text{T}(\text{d},\text{n})\text{He}$  tepkileşiminden elde edilmiştir.

Nötronlarla bombardıman edilen örnekler hızlı transfer sistemi ile ışınlama odasından sayım odasına, gama ölçümlerinin yapıldığı iyi zırhlanmış bir HPGe dedektörünün önüne getirilmiştir. Örneğin transfer süresi yaklaşık 0.5 sn. dir. Alınan ölçümlerden rasgele eş zamanlı sayımlar, darbe yükselmesi (puls pile up), ölü zaman ve temel seviye radyasyonu düzeltmeleri yapılmıştır.

Çalışmamızda  $^{19}\text{F}(\text{n},\text{p})^{19}\text{O}$  tepkileşiminde  $^{19}\text{O}$  için yarılanma süresi, ölçüm sistemimizin test edilmesi için kullanılmış ve son yıllarda JAERI'de yapılmış ölçüm ile kıyaslanarak sistemimizin doğruluğu ve yeterli duyarlılığa sahip olup olmadığı kontrol edilmiştir.

## ABSTRACT

In this work  $^{19}\text{F}(\text{n},\text{p})^{19}\text{O}$  (26.94 sec.) ,  $^{76}\text{Ge}(\text{n},2\text{n})^{75\text{m}}\text{Ge}$  (47.73 sec.),  $^{23}\text{Na}(\text{n},\text{p})^{23}\text{Ne}$  (37.24 sec.),  $^{23}\text{Na}(\text{n},\alpha)^{20}\text{F}$  (11.12 sec.),  $^{68}\text{Zn}(\text{n},\text{p})^{68\text{g}}\text{Cu}$  (31.11 sec.) ,  $^{46}\text{Ti}(\text{n},\text{p})^{46\text{m}}\text{Sc}$  (18.70 sec.) ,  $^{19}\text{F}(\text{n},\alpha)^{16}\text{N}$  (7.13 sec.) and  $^{92}\text{Mo}(\text{n},2\text{n})^{91\text{m}}\text{Mo}$  (65.40 sec.) half lifes were determined.

The half life measurements were performed utilizing the Sames T-400 neutron generator at the Physics Department of Çekmece Nuclear Research and Training Center, İstanbul. Fast neutrons ( $\sim$  14 MeV) were produced via  $\text{T}(\text{d},\text{n})\text{He}$  reaction in a TiT target which was bombarded by 300 KeV deutorons.

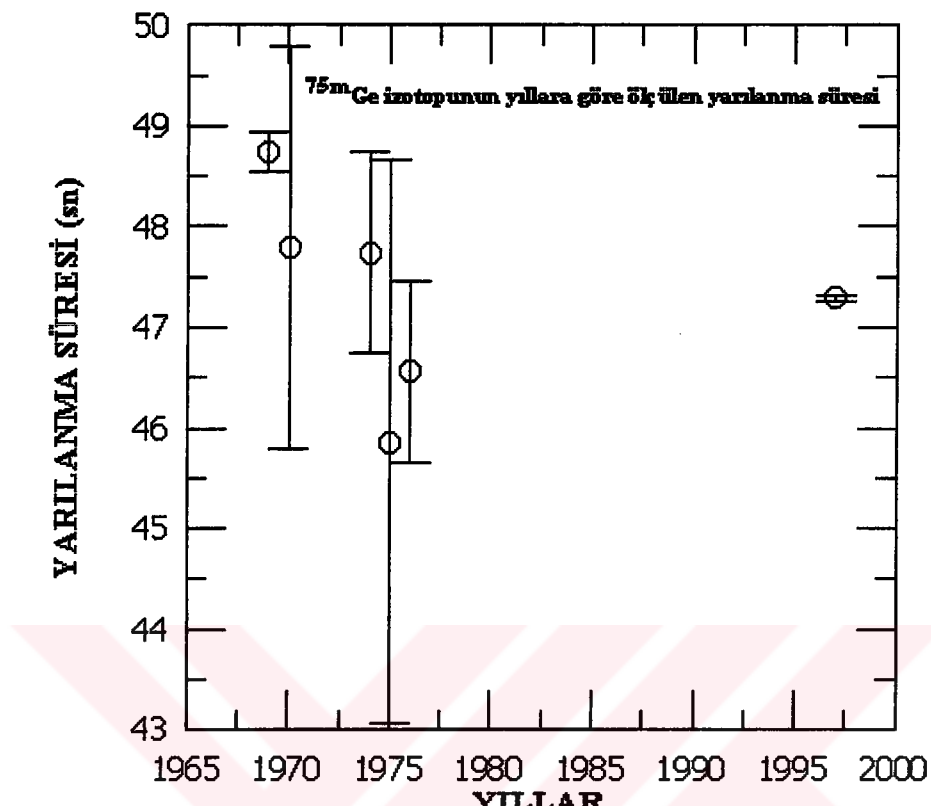
The samples bombarded with 14 MeV neutrons were transferred with a fast sample transport system from neutron source to the HPGe detector were the gama measurements are performed. The time elapsed during the transport of the sample between the two stations were about 0.5 sec. In the experimental data, corrections were made for coincidence summing, puls pile up, dead time and background elimination.

In order to test the accuracy and the sensivity of the half-life measurement system used in this work, the  $^{19}\text{O}$  half life form the  $^{19}\text{F}(\text{n},\text{p})^{19}\text{O}$  reaction were measured first and compared with the data given in a recently published JEARI report..

## 1. GİRİŞ

Bir radyoaktif çekirdeğin yarılanma süresi, radyoaktivite ile ilgili en temel sabitlerden birisidir. Pek çok uygulamada karşımıza çıkan yarılanma süresi, özellikle, bir radyoaktif kaynağın belirli bir andaki aktivitesinin hesaplanmasında çok önemli bir rol oynamaktadır. Bu hesaplamlarda radyoaktif çekirdeğin yarı ömrü üzerindeki küçük bir belirsizlik bazen sonuçlar üzerinde hatırlı sayılır hata oranlarına sebep olabilmektedir. Son zamanlarda, füzyon reaktörlerinin yapımı ve zırhlanmasıında kullanılacak malzemelerin seçimi ile ilgili çalışmalarında bu hesaplamlar, gerek reaktör işletim gerekse bakım-onarım çalışmaları bakımından daha da önem kazanmıştır (Filatenkov vd.,1997).

Bu konu ile ilgili literatürlere bakıldığı zaman 1950 ile 1980 yılları arasında yapılmış çalışmalarında radyoaktif çekirdeklerin yarılanma sürelerinin, o dönemlerde kullanılmakta olan GM sayıcıları (Geiger Müller), iyonizasyon odaları, orantılı sayıcılar ve sintilasyon sayıcıları kullanılarak belirlendiği görülmektedir (Wille vd.,1953). Dolayısıyla, günümüzde bir çok radyoaktif çekirdek için belirlenmiş yarılanma süreleri bu tür dedektör sistemleri ile elde edilmiş değerlerdir. Oysa, günümüz teknolojisinin sağladığı yeni olanaklar ile geliştirilen ve yeniden üretilen radyasyon dedektörleri sayım hızları ve enerji ayırma güçleri bakımından, o zamanki dedektörlere nazaran çok fazla üstünlüklerle sahiptir (Tsoulfanidis ,1983). Geliştirilen yeni dedektörlerin (HPGe dedektörleri, sıvı ve plastik sintilasyon dedektörleri vs. gibi) yanı sıra, ölçme yöntemlerinde ve veri toplama-değerlendirme sistemlerinde yapılan iyileştirmeler, nükleer veri dosyalarının yeniden oluşturulması için yeni ölçümlerin yapılmasını zorunlu kılmıştır. Yapılan yeni ölçümler, kısa yarı ömürlü çekirdeklerin yarılanma sürelerinde % 2 ila % 4 oranında iyileştirmelere ve belirsizliklerin azalmasına sebep olmuştur. Son zamanlarda bu konuda yapılan çalışmalardan elde edilen sonuçlar konferanslarda dile getirilmekte ve sonuçlar yayınlanmaktadır. JAERI (97-005 ) konferans raporunda sunulan bazı çalışmalar radyoaktif çekirdeklerin yarılanma sürelerinin teknolojinin gelişmesine paralel olarak yıllara göre daha hassas ölçüldüğünü açıkça ortaya koymaktadır (Şekil 1.1 ).



Şekil 1.1  $^{75m}\text{Ge}$  radyoizotopunun yıllara göre ölçülmüş yarılanma süreleri ( Değerler JAERI 97-005 konferans raporundan alınmıştır).

Bu konudaki çalışmalara katkıda bulunmak ve yeni ölçümleri yapılmamış kısa yarı ömürlü bazı çekirdeklerin yarılanma sürelerini ölçmek için bu çalışma gerçekleştirilmiştir. Çalışmamızda kısa yarı ömrü ölçmemize olanak sağlayacak enerji ayırma gücü ve sayım hızı yüksek HPGe dedektörü (High Purity Germanium Detector) kullanılmıştır. Yarılanma süresi ölçümleri için, ölü zaman ve compton bölgesi düzeltmesine daha fazla olanak sağlayan ve “Gama Enerji Tepesi Ayırma Yöntemi , GETAY” adını verdigimiz yeni bir yöntem geliştirilmiştir.

## 2. TEMEL BİLGİLER

### 2.1 Radyasyon Nedir

Enerjinin bir yerden başka bir yere taşınması olayına ışınım yani “Radyasyon” adı verilir. Radyasyonu atomik ve nükleer süreçte dört ana grup altında toplamak mümkündür.

- Hızlı elektronlar
  - Ağır yüklü paçacıklar
  - Elektromagnetik radyasyon
  - Nötronlar
- }      Yüklü parçacık radyasyonu  
 }      Yüksüz radyasyon

Hızlı elektronlar, nükleer bozunum sırasında yayınlanan pozitif veya negatif  $\beta$  parçacıkları ve her tür nükleer ve atomik süreçte oluşan yüksek enerjili elektronlardır. Ağır yüklü parçacıklar ise protonlar (p), alfa parçacıkları( $\alpha$ ), fision ürünlerleri ve diğer nükleer reaksiyon ürünlerleri arasında bulunan büyük küteli ve enerjili iyonlardır. Elektromagnetik radyasyon, atomların elektron kabuğunun yeniden düzenlenmesi sırasında oluşan X-ışınları ve çekirdek içi geçişlerden meydana gelen gama ( $\gamma$ ) ışınlarıdır. Son olarak nötron gurubu, bir çok nükleer süreçte meydana gelen hızlı ve yavaş nötronlardır.

### 2.2 Radyoaktivite ve Radyoaktif Bozunum

Eğer bir maddeyi meydana getiren atomların çekirdekleri dışarıdan hiç bir etki olmaksızın, kendiliğinden bir bozunuma uğruyorlar veya bir takım ışınlar yayınlayarak niteliklerini değiştiriyorlar, bir başka çekirdeğe dönüşüyorlarsa bu madde “radyoaktiftir” denir.

Bazı kararsız izotopların çekirdeklerinin dışarıdan hiç bir müdahale olmaksızın başka izotopa veya aynı izotopun başka bir haline dönüşmesi ve bu arada karakteristik bir ışın yayılmasına “Radyoaktiflik” ve meydana gelen olaya da “Radyoaktif Bozunum” adı verilir. Eğer bu ışını yayılan izotop, yani radyoaktif izotop, tabiatta mevcut ise veya

tabiatta mevcut diğer radyoaktif izotopların bozunumundan meydana geliyorsa bu radyoaktifliğe “doğal radyoaktivite” denir.

Bir radyoaktif izotop insan eliyle, yapay olarak meydana getirilen çekirdek reaksiyonları sonucunda ortaya çıkıyorsa bu durumda “yapay radyoaktivlik” ten bahsedilir.

Bütün radyoaktif çekirdeklerin meydana getirdikleri radyasyon zamanla azalır. Fakat tabiatta bulunan radyoaktif maddelerin çoğunda bu azalış o kadar yavaş olur ki doğrudan fark edilmesi olası değildir. Bu azalış ancak bazı dolaylı yollarla ortaya konulabilir. Bunun yanı sıra bazı tabii radyoaktif maddelerin radyoaktifliğinin azalışı doğrudan doğruya ölçüm yolu ile izlenebilir. Yapılan deneysel çalışmalar bütün radyoaktif maddelerin aktivitesindeki bu azalışın aynı temel yasaya bağlı olduğunu göstermiştir.

### **2.2.1 Radyoaktif bozunma yasası**

Bir radyoaktif çekirdeğin birim zamandaki bozunma olasılığına radyoaktif bozunma sabiti adı verilir ve nükleer terminolojide  $\lambda$  simbolü ile gösterilir. Radyoaktif bozunma sabitinin bazı özellikleri şu şekilde sıralanabilir.

- Aynı tür çekirdek için değişmez,
- Çekirdek sayısından bağımsızdır.

Kütlesi  $m$  ve bozunma sabiti  $\lambda$  olan belli bir radyoaktif izotop göz önüne alındığında,  $m$  kütlesindeki atom sayısı,

$$N = \frac{m N_A}{A} \quad (2.1)$$

dır. Burada  $N_A=6.023 \cdot 10^{23}$  (Avogadro sayısı) ve  $A$  ise izotopun atomik ağırlığıdır. Bozunma sonucunda bu atom sayısı azalır ve birim zamandaki azalma, birim zamandaki bozunma sayısına eşit olur. Matematik olarak ifade edilirse,

$$-\frac{dN(t)}{dt} = \lambda N(t) \quad (2.2)$$

olur. (2.2) eşitliğinin çözümü ise,

$$N(t) = N(0)e^{-\lambda t} \quad (2.3)$$

şeklindedir. Bu ifade de  $N(0)$   $t=0$  anındaki atom sayısı,  $N(t)$   $t$  anında bozunmadan kalan atom sayısını göstermektedir.

## 2.2.2 Yarılanma Süresi (Yarı Ömür)

Eşitlik (2.3) deki ifade bütün radyoaktif maddelerin tabi olduğu radyoaktif bozunma yasasının matematik görünüşüdür. Bozunma sabiti  $\lambda$ , değişik radyoaktif maddeler için farklı değerlerdedir. Bununla beraber radyoaktif maddeler genellikle bozunma sabiti yerine “Yarılanma süresi” adı verilen ve bozunma sabitine bağlı olan başka bir büyülük ile ifade edilmektedir.

Radyoaktif bir maddenin yarılanma süresi başlangıçta mevcut olan çekirdeklerin yarısının bozunması için geçen süredir ve  $T_{1/2}$  şeklinde gösterilir. Bozunma yasasında (Eşitlik 2.3)  $N(t)$  yerine  $N(0)/2$  yazılır ve  $t$  zamanı da tanımı göre  $T_{1/2}$  ile gösterilirse,

$$\frac{N(T)}{N(0)} = \frac{1}{2} = e^{-\lambda T} \quad (2.4)$$

elde edilir. Bu eşitliğin iki tarafındaki terimlerin e-tabanına göre logaritması alınır ve eşitlik  $T_{1/2}$  ye göre düzenlenirse yarılanma süresi;

$$T_{1/2} = \frac{\ln 2}{\lambda} = \frac{0.693}{\lambda} \quad (2.5)$$

olarak belirlenir.

Çalışmamızda amaçlanan yarılanma süresi ölçümleri, radyoaktif çekirdeklerin çeşitli bozunum süreçlerinde yayınlanan gama ışınlarının ölçümüne dayanmaktadır. Bu süreçler temel olarak aşağıdaki paragraflarda verilmiştir.

### 2.3 Beta ( $\beta$ ) Bozunumu Takip Eden Gama ( $\gamma$ ) Radyasyonu

Cekirdeklerin negatif veya pozitif elektron yayılmaları veya atom elektronlarından birini yakalaması beta ( $\beta$ ) bozunumu olarak isimlendirilir. Temelde  $\beta$  bozunma reaksiyonu, bir protonun nötrona veya bir nötronun bir protona dönüşmesidir. Yani, temel  $\beta$  bozunumu süreçleri aşağıdaki gibi gösterilebilir.



Bunlardan  $\beta^-$  bozunması,

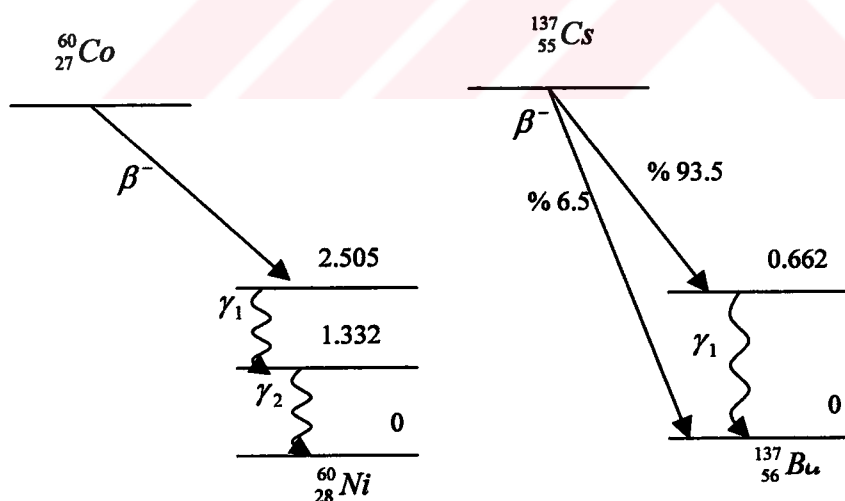


şeklinde oluşur. Burada X bozunan, Y bozunma sonucu oluşan çekirdek,  $\bar{\nu}$  ise anti nötrino'dur. Nötrino ve anti nötrinoların madde ile etkileşme olasılıkları oldukça küçük olması nedeniyle pratik uygulamalarda algılanmaları olası değildir.  $\beta$  yayınısı sırasında geri tepen Y çekirdeğinin enerjisi iyonizasyon eşik seviyesinden çok küçük olduğundan dedektör tarafından algılanamamaktadır. Bu sebeple  $\beta$  bozunumunda tek belirgin iyonize radyasyon hızlı elektronlar, veya  $\beta^-$  parçacıklarıdır.

Kararlı malzemelerin nötronlar ile bombardıman edilmesi (ışınlanması) ile oluşan radyoaktif çekirdekler çoğunlukla  $\beta$  aktiftirler. Bu sebeple reaktörde veya nötron jeneratörlerinde yarılanma süreleri binlerce yıl ile saniyeler mertebesinde olan  $\beta$  yayinallyıcı radyoaktif çekirdeklerin elde edilmesi mümkündür. Bozunumların çoğunda ürün çekirdek uyarılmış durumda kalır ve kararlı duruma geçmek için  $\gamma$ -ışını yayırlar. Bu

nedenle, bilinen bir çok beta kaynakları,  $\beta^-$  parçacığının yanı sıra, gama ışınları da yayırlarlar. Gama ( $\gamma$ ) radyasyonu, uyarılmış durumda bir çekirdeğin bulunduğu nükleer seviyeden daha düşük bir nükleer seviyeye geçişti sırasında meydana gelir. Laboratuarlarda gama radyasyonu kalibrasyon kaynağı olarak kullanılan kaynakların uyarılmış nükleer seviyeleri, ana çekirdeğin bozunması sırasında oluşurlar. Yeni geçiş, enerjisi başlangıç ile son nükleer durum seviyeleri arasındaki farka eşit olan bir gama ışını fotonunun yayılanması suretiyle olur. Bu sebeple meydana gelen gama ışınları  $\beta^-$  bozunumunun yaralanma sürelerine bağlı olmaktadır. Şekil 2.1'de bu tür gama radyasyon kaynaklarından iki tanesi örnek olarak gösterilmektedir.

Nükleer seviyelerin enerjileri çok iyi belirlenmiş olması sebebiyle, seviyeler arası geçişlerde yayınlanan gama ışınlarının enerjileri de çok iyi tanımlanabilir. Herhangi bir geçişte yayınlanan gama ışını tek enerjili kabul edilebilir ve foton enerji dağılımının genişliği, her tür dedektörün enerji分辨率 (ayırma gücü) ile karşılaştırıldığında, çoğu zaman ihmali edilebilir.

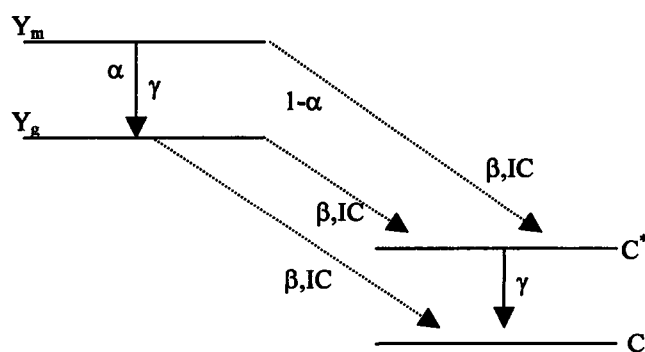


Şekil 2.1 Beta bozunumu sonucu gama yayınısına iki örnek.

## 2.4 İzomerik Durumlar (İzomerler)

Atom numarası 5'den büyük ve uyarılmış bağ durumları olan çekirdeklerde gama yayınımı gözlenir. Bu gama yayınımı, genellikle, ürün çekirdeğin uyarılmış durumlarını meydana getiren  $\alpha$  ve  $\beta$  bozunumlarını takiben ortaya çıkar. Uyarılmış bir seviyede gama yayınımı için yarı ömür genellikle  $10^{-9}$  sn den daha kısalıdır. Fakat, bazen, gama yayınımı için yarı ömür saat veya gün mertebesinde bulunabilir. Bu tür geçişlere izomerik geçişler, ve uzun süreli uyarılmış durumlara da izomerik durumlar veya izomerler (bazen de meta-stabil durumlar) adı verilir.

Bir X ana çekirdeğin nötronlarla bombardımanı sonucu bir Y ürün çekirdeğin oluşma olasılığı iki durum göz önüne alınarak incelenebilir. Y ürün çekirdeğinin oluşumu ya  $Y_g$  temel (g:ground) durumu ile yada  $Y_m$  (m: izomer) izomerik durumu ile oluşabilir. Oluşan  $Y_m$  izomerik durum, radyoaktif bozunma sabiti  $\lambda_m$  ile, karasız durumun temel duruma doğru bozunmasının dallanma oranı  $\alpha$ 'yı izleyerek  $Y_g$  temel duruma ve buradan  $\lambda_g$  radyoaktif bozunma sabiti ile  $\gamma$  yayınımı ile son çekirdek olan C' ye bozunabilir (Şekil 2.2).



Şekil 2.2 İzomerik durumların oluşumu.

## 2.5 Nötron Tepkileşimleri Sonucu $\beta^-$ - aktif Çekirdeklerin Elde Edilmesi

Beta Bozunumu yapacak çekirdek laboratuarda bir elementin hızlı nötronlarla etkileşmesi sonucunda oluşturulabilir. Nötron yüksüz olduğundan atomun yörüngे elektronları veya çekirdekle aralarında coulomb kuvvetleri oluşmaz. Bu sebeple nötronların madde ile etkileşmeleri çekirdeğe girmeleri veya çekirdek kuvvetleri etkisinde kalmaları ile mümkün değildir. Bunun olabilmesi için de çekirdeğe yeteri kadar yaklaşmaları ön koşuludur. Bir nötronun bir  ${}_Z^A X$  çekirdeği ile etkileşmesi şu şekilde gösterilebilir;



${}_{Z+1}^{A+1} Y^*$ , uyarılmış bir durumda bulunan bileşik çekirdeği göstermektedir. Bileşik çekirdek kısa bir zaman uyarılmış seviyede kalır,  $10^{-12}$ - $10^{-20}$  sn. Tekrar bir nötronun yaylanması olayı, bir saçılma olayı olarak adlandırılır. Saçılma, çekirdek uyarılmış veya temel seviyede kalması durumuna göre in-elastik veya elastiktir. Her iki durumda da nötronun enerjisi azalır. Fakat bu azalma in-elastik saçılma için daha büyütür.

Uyarılmış seviyede bulunan herhangi bir çekirdek için enerji bakımından çeşitli tipte çekirdek bozunumu mümkündür. Değişik tepkileşimler için olasılık, uyardıma enerjisinin büyüklüğüne, bileşik ve ürün çekirdeğin enerji seviyelerinin durumuna bağlıdır. Sonuç olarak her bir absorbsiyon olayı için olasılık, nötronun enerjisine ve absorblayıcının bileşimine bağlıdır. Olasılık aynı bir elementin çeşitli izotopları için bile büyük ölçüde değişir, çünkü her bir çekirdek tipinin nükleer özellikleri farklıdır.

Nötronun madde ile etkileşmesi altı başlık altında toplanabilir. Bunlar;

- a) Nötronun elastik çarpışması (n,n)
- b) Nötronun elastik olmayan çarpışması (n,n'), (n,n'γ) veya (n,2n)

- c) Nötronun çekirdek tarafından tutulması ( $n,\gamma$ )
- d) Fisyon tepkileşimleri ( $n,f$ )
- e) Yüksek enerjili nötronlarla meydana gelen tepkileşimler ( $E_n > 100 \text{ MeV}$ )
- f) Yüklü parçacık yayınlanması: ( $n,p$ ), ( $n,d$ ), ( $n,t$ ), ( $n,\alpha$ ), ( $n,\alpha p$ ) tepkileşimleri

Yüklü taneciklerin çekirdektenden kurtulabilmeleri için önce coulomb potansiyeli engelini aşmaları gerektiğinden (f) de verilen tepkileşimler en çok hafif çekirdekler ve hızlı nötronlar için mümkündür. Bunlardan (nötron, yüklü tanecik) şeklinde gösterilen tepkileşimler çalışmamız açısından önemlidir. Çünkü, böyle bir tepkileşimde, bir yüklü tanecik (proton, döteron, alfa vs.)lanması yanı sıra, çoğu kez  $\beta$ -bozunumu yapan aktif bir çekirdek de elde edilir.

Çalışmamızda kullandığımız Sames T-400 nötron jeneratörü ile örnek malzemelerin nötronlarla ışınlanması sonucu  $\beta$ -bozunumu yapan radyoaktif çekirdekler elde edilmekte ve bu bozunumu takip eden gama bozunumu ile radyoaktif çekirdeğin yarılanma süresi belirlenmektedir.

Elde edilen radyoaktif çekirdeklerin aktivitesi aşağıdaki paragrafta anlatıldığı şekilde belirlenebilir.

Bir nötronla ışınlama sisteminde kütlesi  $m$  olan bir malzeme, sabit bir nötron akısı  $\phi$  ile ışınlandığında, birim zamanda, malzemenin birim yüzeyinde meydana gelen tepkileşim sayısı,

$$R = \phi \sigma n \quad (2.8)$$

ile tanımlanır ( $\phi$  : nötron akısı,  $\sigma$  : malzemenin nötronla tepkileşim olasılığı (tepkileşim kesiti),  $n$  : malzemedeki atom sayısı).

Işınlanmanın meydana getirdiği tepkileşim neticesinde oluşan kararsız ürün çekirdeklerin herhangi bir t zamanındaki sayıları N(t) ve bozunma sabiti  $\lambda$  ise, ürün çekirdeklerin sayısının birim zamanda hızı;

$$\frac{dN(t)}{dt} = R - \lambda N(t) \quad (2.9)$$

ile ifade edilir (R : tepkileşim hızı). Burada ışınlama süresince R'nin sabit kaldığı kabul edilmektedir. Bu durumda herhangi bir t anında malzemedeki radyoaktif ürün çekirdek sayısı,

$$N(t) = \frac{R}{\lambda} (1 - e^{-\lambda t}) \quad (2.10)$$

dır. Malzemenin ışınlama bitiminden sayım işlemeye kadar geçen süre  $t_b$  (bekleme süresi) ve sayım süresi  $t_s$  boyunca radyoaktif çekirdek sayısında azalma meydana geleceği için, bu azalma faktörleri de göz önüne alınır ve R yerine Eşitlik (2.8) deki değeri Eşitlik (2.10) da yerine konulursa,

$$N = \frac{n\sigma\phi}{\lambda} \left[ (1 - e^{-\lambda t}) e^{-\lambda t_b} (1 - e^{-\lambda t_s}) \right] \quad (2.11)$$

ile ifade edilen bozunmadan kalan ürün çekirdek sayısı N bulunur.

Sayım sisteminden elde edilen gama ışını spektrumunda  $E_\gamma$  enerjili tüm enerji tepesi (TET) alanı  $P(E_\gamma)$ , ilgili gama ışınının toplam bozunma oranı f, dedektörün  $E_\gamma$  enerjili gama ışınları için sistemin mutlak TET verimi  $\epsilon$  ve ışınlanan malzemenin hacmi içinde gamaların soğurulmasını da içeren sayım katı açısı  $\Omega$  Denklem (2.11)'e ilave edilerek  $P(E_\gamma)$ ,

$$P(E_\gamma) = \frac{n\sigma\phi\epsilon f\Omega}{\lambda} \left[ (1 - e^{-\lambda t}) e^{-\lambda t_b} (1 - e^{-\lambda t_s}) \right] \quad (2.12)$$

olarak bulunur. Burada malzemedeki çekirdek sayısı n' nin açık ifadesi,

$$n = \frac{m N_A h}{A} \quad (2.13)$$

yerine yazılırsa ( $m$  : hedef çekirdek kütlesi,  $A$ : hedef çekirdeğin atom ağırlığı,  $N_A$  Avogadro sayısı ve  $h$  : hedef çekirdeklerin görelî izotopik bolluğu) ve denklem A' ya göre düzenlenirse, ışınlama sonunda elde edilen radyoaktif malzemenin aktivitesi,

$$A = \frac{mhN_A \sigma \phi \epsilon f \Omega}{\lambda P(E_\gamma)} \left[ (1 - e^{-\lambda t}) e^{-\lambda t_b} (1 - e^{-\lambda t_s}) \right] \quad (2.14)$$

olarak bulunur.

## 2.6 Deneysel Ölçümlerde Belirsizlikler (Hatalar)

Her tür deneysel çalışmalarında, sonuçlar üzerinde daima bir belirsizlik veya hata vardır. Bu nedenle deneysel çalışmalarında sayım sisteminin özelliklerine ve diğer çevre koşullarına bağlı katkıların hesaba alınması gereklidir. Ölçümlerin alınması esnasında ve değerlendirilmesinde yapılacak hataların nereden ve nasıl meydana geldiğinin belirlenmesi ve gerekli düzeltmelerin yapılması neticelerin geçerliliği açısından bir zorunluluktur. Ölçüm değerlerindeki hatalar deneysel düzeneklerde kullanılan aletlerden ( aletlerin iyi ayar edilmemesi gibi), kimi zaman da ölçümlerin tabiatından ( Radyoaktif bozunum, proton – proton çarşımı vs. gibi olasılığa dayalı olaylardan ) meydana gelebilir. Bu sebeple ölçüm sonucu elde edilmiş değerlerde bu tür hataların ve katkıların belirlenmesi bulunacak sonuçların geçerliliğini artıracaktır (Bevington, 1969).

## **2.6.1 Elektronik donanımdan kaynaklanan belirsizlikler**

### **2.6.1.1 Aletlerin ölü zamanından kaynaklanan belirsizlikler**

Deneysel çalışmalarında, veri toplama-değerlendirme işlemlerinde kullanılan elektronik donanımın ard arda gelen sinyalleri ayırmak için belirli bir minimum zaman aralığına ihtiyacı vardır. Bu minimum zaman aralığına ölü zaman (dead time) adı verilir. Bu zaman aralığı içinde gelen diğer sinyaller alet tarafından algılanamaz. Çünkü aletin bir sonraki sinyali değerlendirebilmesi için mevcut sinyalin işleminin bitmesi gereklidir. Radyoaktif çekirdeklerle yapılan deneysel çalışmalarında yukarıda bahsedilen nedenden dolayı sayımları kayıpları meydana gelmektedir. Özellikle yüksek sayımları (yüksek aktivite) ile yapılan deneysel çalışmalarında ölü zaman oldukça büyümektedir. Buna bağlı olarak sayımlarının gerçek sayımları (true time) ile sistemin aktif olarak sayımları yapabildiği (sinyalleri değerlendirdiği) sayımları (life time) farklı olmaktadır. Bu iki sayımları karşılaştırıldığında, aktif sayımlarının gerçek sayımlardan daha kısa olduğu görülmektedir. Bu nedenle meydana gelen sayımları telafi etmek için gerçek sayımlarının aktif sayımlara oranlanması ve elde edilen oransal değer ile ölü zaman düzeltmesinin yapılması gereklidir. Genellikle bu tür düzeltmeler çok kanallı analizörde elektronik olarak verilen gerçek zaman (true time) ve aktif zaman (life time) değerleri kullanılarak gerekli ölü zaman düzeltmesi yapılır. Ancak, radyoaktif bir çekirdeğin yarılanma süresi ölçümlerinde olduğu gibi, ölü zamanın sabit olmadığı ve zamana bağlı olarak hızla değiştiği durumlarda, yukarıda bahsedildiği gibi ölü zaman düzeltmesi yapmak mümkün değildir. Böyle durumlarda ölü zaman düzeltmeleri için “kaynak yöntemi” veya “pulser yöntemi” adı verilen yöntemler kullanılır. Nükleer elektronikte ölü zamana en fazla sebep olan aletlerin başında analog-dijital çevirici bulunan (çok kanallı analizör gibi) aletler gelir.

### **2.6.1.2 Aletlerde darbe yiğiliminden (pile-up) kaynaklanan belirsizlikler**

Yüksek aktiviteli çekirdeklerle yapılan deneysel çalışmalarında olduğu gibi, dedektöre eş zamanlı gelen sinyaller birbirleriyle girişim yaparak, amplifikatör çıkışında, deformasyon

olmuş ve gaussien dağılımdan uzak (gelen elektrik sinyallerden farklı genlik ve genişlikte) bir elektriksel sinyalin sayımının yapılmasına neden olur. Meydana gelen bu olaya darbe yiğilimi (pile-up) adı verilir. Ölü zaman olayında olduğu gibi, bu olay da sayım kayıplarına neden olmaktadır. Deneysel çalışmalar sırasında darbe yiğiliminden kaynaklanan sayım kayıplarını gidermenin bir yolu elektronik bir devre kullanılarak bu darbe yiğilimine engel olmaktadır. Ancak, bu tür elektronik devreler de sayım sisteminde ölü zamana ilave katkı yapacaktır. Bu nedenle, sayım hızının düşük ve ölü zamanın sabit olduğu deneylerde bu tür elektronik devrelerin kullanılması daha sağlam neticeler vermektedir..

#### **2.6.1.3 Rasgele eş zamanlı (coincidence summing) sayımlardan kaynaklanan belirsizlikler**

Deneysel çalışmalarında sayım kayıplarına neden olan diğer bir olay da radyoaktif çekirdeğin iki yada daha fazla gama ışığını kaskat olarak yayılmasını durumunda meydana gelir (Şekil 2.1 de  $^{60}\text{Co}$  bozunumu ). Dedektörün ayırma gücünden daha kısa sürede ve kaskat olarak gelen gama ışınlarının meydana getireceği elektriksel sinyaller, dedektör içinde toplanarak gelen sinyallerin genliğinden yüksek tek bir elektriksel sinyalin oluşmasına ve dolayısıyla sayım kayıplarına neden olmaktadır. Bu olaya rasgele eş zamanlı (coincidence summing” sayımlar adı verilir.

#### **2.6.2 Birleşik Belirsizlikler (Standart Hatalar)**

Herhangi bir fonksiyonun değerindeki belirsizlik, fonksiyonun değişkenlerinin standart hatalarının diferansiyel kombinasyonu ile hesaplanır.

$F(x_1, x_2, \dots, x_m)$  bağımsız değişkenlerin fonksiyonu ve  $x_1, x_2, \dots, x_m$  bağımsız değişkenler,  $\sigma_1, \sigma_2, \dots, \sigma_m$  bu bağımsız değişkenlerin standart hatalarını ifade etsin. Bu durumda  $x_1, x_2, \dots, x_m$  bağımsız değişkenleri ile hesaplanan  $F(x_1, x_2, \dots, x_m)$  fonksiyonunun standart hatası,

$$\sigma_f = \sum_{i=1}^m \left( \frac{\partial F}{\partial x_i} \right)^2 \cdot \sigma_i^2 \quad (2.15)$$

ile hesaplanır (Ercan, 1995).

### 2.6.3 Sayım değerlerindeki standart hatalar

Radyoaktif bozunum poisson dağılımına uyan tamamıyla tesadüfi doğal bir süreçtir. Poisson dağılımına uyan bir ölçülmüş sayım değeri “m” nin standart hatası  $\sqrt{m}$  olarak ifade edilir. Fakat gerçek m değeri asla bilinemez ve sonlu sayıda ölçüm ile bulunması mümkün değildir. Ancak, hesaplamalarda bir ortalama değer “ $\bar{m}$ ” ve onun etrafında diğer verilerin dağılımı göz önüne alınır.

Bir ölçüm sisteminde elde edilen sayım değeri üzerinde background, ölü zaman vb. düzeltmeler yapıldığı zaman, bu düzeltmelerin standart hataları da sayım değerinin standart hatasına katkıda bulunur. Bu durumda sayım değerinin standart hatası artık  $\sqrt{m}$  olmayacağındır.

Yukarıda bahsedilen durum göz önüne alınarak background ve ölü zaman düzeltmesi yapılmış bir sayım değerinin standart hatası aşağıda gösterilen semboller ile tanımlanmıştır.

N : Bir t süresi sonunda elde edilen sayım değeri,

B : N sayım değeri üzerindeki background katkısı (veya compton bölgesi katkısı),

D : Ölü zaman düzeltmesi sonucu sayım değerine ilave edilecek sayım değeri,

R : Yukarıda bahsedilen düzeltmelerin yapılması sonucu elde edilen net sayım değeri.

t sayım süresi sonunda elde edilecek net sayım değeri N, B ve D bağımsız değişkenler olması şartı ile ,

$$R = N - B + D \quad (2.16)$$

dir. Net sayım değerinin standart hatası,

$$\sigma_R = \left[ \left( \frac{\partial R}{\partial N} \right)^2 \sigma_N^2 + \left( \frac{\partial R}{\partial B} \right)^2 \sigma_B^2 + \left( \frac{\partial R}{\partial D} \right)^2 \sigma_D^2 \right]^{1/2} \quad (2.17)$$

olur. Buradan Eşitlik (2.16)' dan,

$$\left( \frac{\partial R}{\partial N} \right)^2 = 1, \quad \left( \frac{\partial R}{\partial B} \right)^2 = 1, \quad \left( \frac{\partial R}{\partial D} \right)^2 = 1 \quad \text{ve} \quad (2.18)$$

$$\sigma_N^2 = (\sqrt{N})^2 \quad \sigma_B^2 = (\sqrt{B})^2 \quad \sigma_D^2 = (\sqrt{D})^2 \quad (2.19)$$

olmak üzere net sayım değeri üzerindeki standart hata,

$$\sigma_R = (N + B + D)^{1/2} \quad (2.20)$$

olarak bulunur.

## 2.7 En Küçük Kareler Yöntemi ile Radyoaktif Bozunumun Uyum Denkleminin Katsayılarının Belirlenmesi

Doğrusal olmayan, yani değişkenlerin doğrusal değişmediği fonksiyonlarda en küçük kareler yöntemi ile (Ek-1) uyumlama yapmak mümkün değildir. Bu durumda ilgili fonksiyonun doğrusal şekele dönüştürülmesi gereklidir.

Radyoaktif bozunuunu temsil eden ve doğrusal olmayan,

$$N = N_0 \cdot e^{-\lambda t} \quad (2.21)$$

denklemini doğrusal şeke dönüştürmek için en basit yol her iki yanın logaritmasının alınmasıdır.

$$\ln N = \ln N_0 - \lambda t \quad (2.22)$$

Eşitlik (2.22) de  $\ln N = y$ ,  $\ln N_0 = a$  ve  $x = -\lambda$  olarak tanımlanırsa,

$$y = a + xt \quad (2.23)$$

olarak doğrusal uyum denklemi elde edilir. En küçük kareler yönteminin bu yeni a ve x katsayılarının  $\chi^2$  değerini minimize etmesi beklenir. Burada  $\chi^2$ ,

$$\chi^2 = \sum_i \left\{ \frac{1}{\sigma_i^2} [y_i - a - xt_i]^2 \right\} \quad (2.24)$$

olarak verilir.

Veriler üzerindeki belirsizliklerin küçük olması durumunda Eşitlik (2.23)' e yapılacak uyumun da iyi olmasını sağlayacaktır. Bu durumda a ve x katsayıları üzerindeki belirsizlikleri mümkün en küçük değere düşürmek için optimizasyon yöntemleri ile mümkün en küçük  $\chi^2$  değeri bulunmaya çalışılır. Bu işlem için bir bilgisayar programı kullanmak zorunlu bir hal almaktadır (Ek-4).

### **3. DENEY DÜZENİ**

#### **3.1 Işınlama Sistemi**

##### **3.1.1 Alçak enerjili iyon hızlandırıcısı Sames T-400'ün tanıtımı**

Sames T-400 İyon hızlandırıcısı Çekmece Nükleer Araştırma Eğitim Merkezi, Fizik Bölümündeki araştırma laboratuvarında bulunmaktadır. Hızlandırıcı  $18\text{m} \times 10\text{m} \times 6\text{m}$  boyutlarında bir salonda çalışmaktadır ve ölçüm ve veri analiz laboratuvarı ile aralarında 120 cm kalınlığında, baritli betondan imal edilmiş bir duvar vardır. Salonun ölçüm ve veri analiz laboratuvarına bağlantısı geçiş kanalları ile sağlanmıştır (Şekil 3.1).

Hızlandırıcı üç ana üiteden oluşmaktadır:

1. Ana hızlandırma üitesi
2. Yüksek gerilim üitesi
3. Kontrol üitesi

Ana hızlandırma üitesi vakum sistemi, iyon kaynağı, hızlandırma kolonu, elektrosatik kuadropol mercek, diyafram, elektron tuzağı, döteron huzme kesici, hedef ve uzaktan kumanda imkanını sağlayan çeşitli servomotorlardan oluşmaktadır. Vakum sisteminin meydana getirdiği en iyi vakum değeri  $8.10^{-7}$  torr dur.

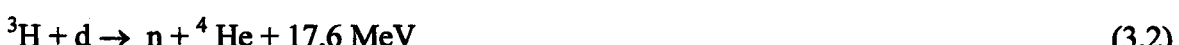
Yüksek Gerilim Üitesi, Hızlandırıcının en büyük ve en önemli ikinci üitesidir. Yüksek gerilim hermetik üitesi, çeşitli besleme katlarını, eksitasyon, regülasyon ve koruma devrelerini içeren kabini, yüksek gerilim kapasitesi ve damping dirençlerinden meydana gelmiştir. Maksimum 400 kV gerilim üretir ve sürekli çalışmada 2 mA, darbeli çalışmada 3 mA değerinde akım üretir.

Kontrol Ünitesi ise, hızlandırıcıının çalışması esnasında uzaktan her türlü kontrol imkanı veren, sistemin çeşitli yerlerinden bilgi aktarmak üzere bir takım göstergeler de içeren önemli bir kısımdır. Yüksek gerilim üretecinin ve iyon kaynağının çalıştırılmasını, yüksek gerilim değerini, iyon kaynağına gaz girişini, uygulanan yüksek frekans gücünü, fokalizasyon ve eksitasyon gerilimlerinin kontrolünü sağlar. Ayrıca yüksek gerilimin şiddetini ve geçen akım miktarını, sekonder vakum seviyesini, hedef ve diyafram akım şiddetlerini bildiren göstergeleri, ayrıca iyon kaynağı, yüksek gerilim ve vakumla ilgili çeşitli korumaları içerir.

Alçak enerjili iyon hızlandırıcı Sames T-400 (Şekil 3.2) ile ilgili ayrıntılı bilgiler Ç.N.A.E.M. A.R-262 (Tarcan, G. vd., 1989) araştırma raporunda verilmiştir.

### 3.1.2 Nötron Kaynağı

Bu çalışma ÇNAEM Fizik Bölümünde bulunan ve bir önceki paragraflarda kısaca tanımlanan Sames T-400 alçak enerjili iyon hızlandırıcısı yardımıyla gerçekleştirilmiştir. Alçak enerjili iyon hızlandırıcılarında hızlı nötronlar genellikle, döteronların döteryum hedefi veya trityum hedefi bombardımanı sonucu oluşurlar.



Burada enerjisi 14.6 MeV civarındaki nötronların neden olduğu tepkileşimler inceleneceği için (3.2) eşitliği bizim için önem taşımaktadır. Sames T-400 hızlandırıcısının hedef malzemesi, kalınlığı 1 mm, çapı 49 mm olan bakır bir disk üzerine kaplanmış  $1.09 \text{ mg/cm}^2$  kalınlığında titanyum tabakadan oluşmaktadır. Bu tabakaya  $0.78 \text{ Ci/cm}^2$  aktivitesi olan trityum emdirilmiştir.  $^3\text{He}$ , T nötron kaynak tepkileşimlerinin bazı özellikleri Çizelge 3.1'de verilmektedir.

Çizelge 3.1 Döteron – Tritium tepkileşimi özellikleri ( Csikai, 1987 )

Tepkileşim	Q Değeri (MeV)	Parçalanma Tepkileşimi	Parçalanma Tep.Eşik Enj	Nötron Enj Aralığı (MeV)
$^3\text{H}(\text{d},\text{n})^4\text{He}$	+17,59	T(d,np)T	3,71	11,75 - 20,5

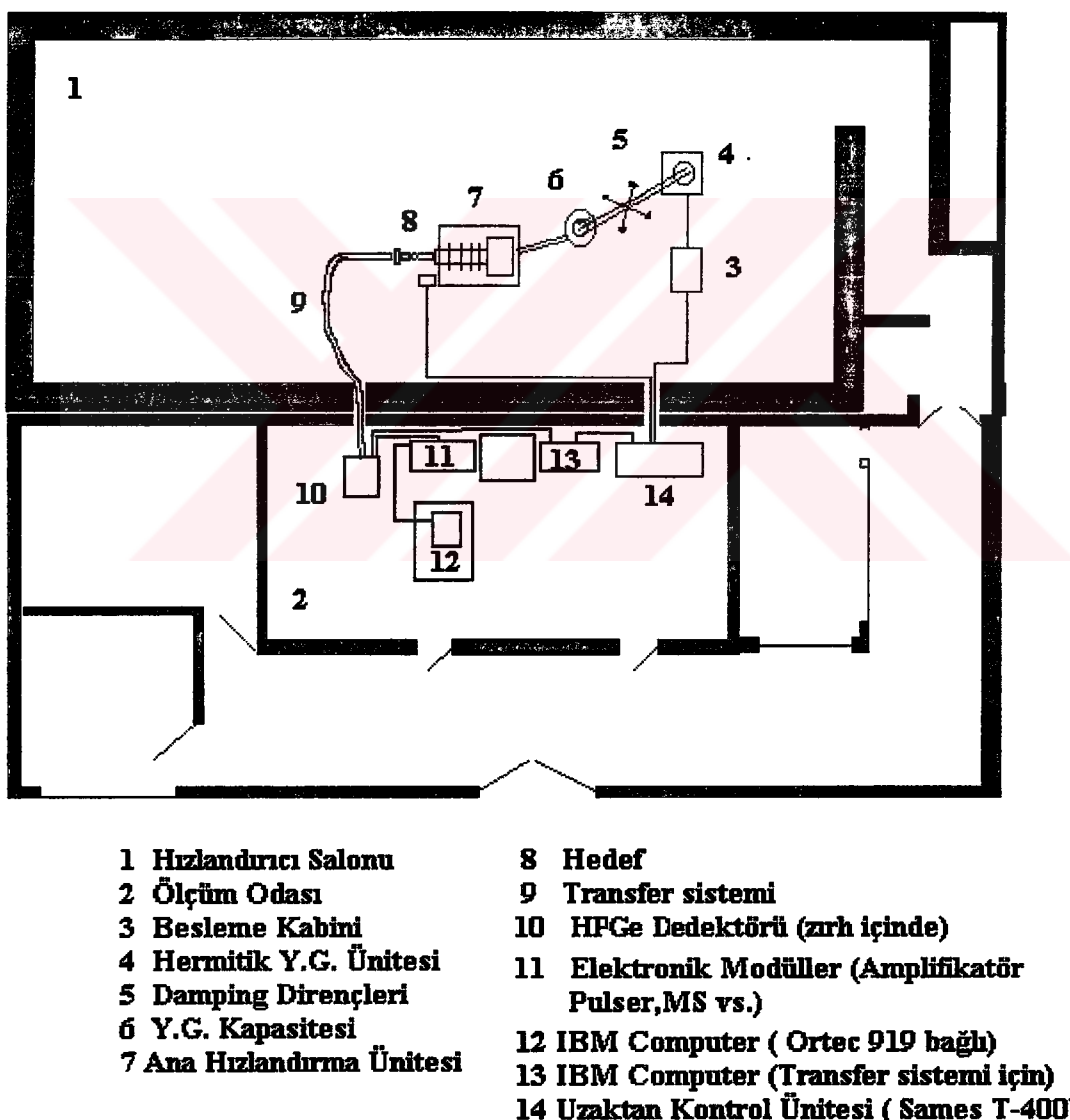
Gelen döteron ile hedef olan hafif çekirdek arasındaki coulomb engeli küçük olduğu için iyi bir nötron verimi elde etmek için döteronların yüksek enerjilere hızlandırılmasına gerek yoktur. Bu reaksiyon (Denklem 3.2) nötron üreteçlerinde yaygın olarak kullanılır ve döteryum iyonları 100-300 kV luk bir potansiyelde hızlandırılırlar. Gelen parçacığın enerjisi, reaksiyon Q değeriyle kıyaslayınca daha küçük olduğu için tüm nötronlar yaklaşık aynı enerjide üretilirler. D-T reaksiyonu için bu değer 14 MeV civarındadır. 1 mA lik bir döteron demeti kalın bir trityum hedefte saniyede  $10^{11}$  nötron oluşturur (Knoll, 1979).

Nötron üretmek için bizim düzeneğimizde kullanılan analiz edilmemiş döteron demeti (% 73 d<sup>++</sup> Atomik, % 27 d<sup>+</sup> Moleküler) 250 kV terminal voltajı altında hızlandırılmış ve ortalama 500  $\mu\text{A}$  hedef akımı uygulanmıştır.  $^3\text{H}(\text{d},\text{n})^4\text{He}$  reaksiyonu sonucu döteron demetine göre 0° ışınlama açısı ile enerjisi ~14.6 MeV olan nötronlar üretildi. Bu nötronların akı yoğunluğu yaklaşık  $10^7$  nötron/cm<sup>2</sup>sn mertebesindedir.

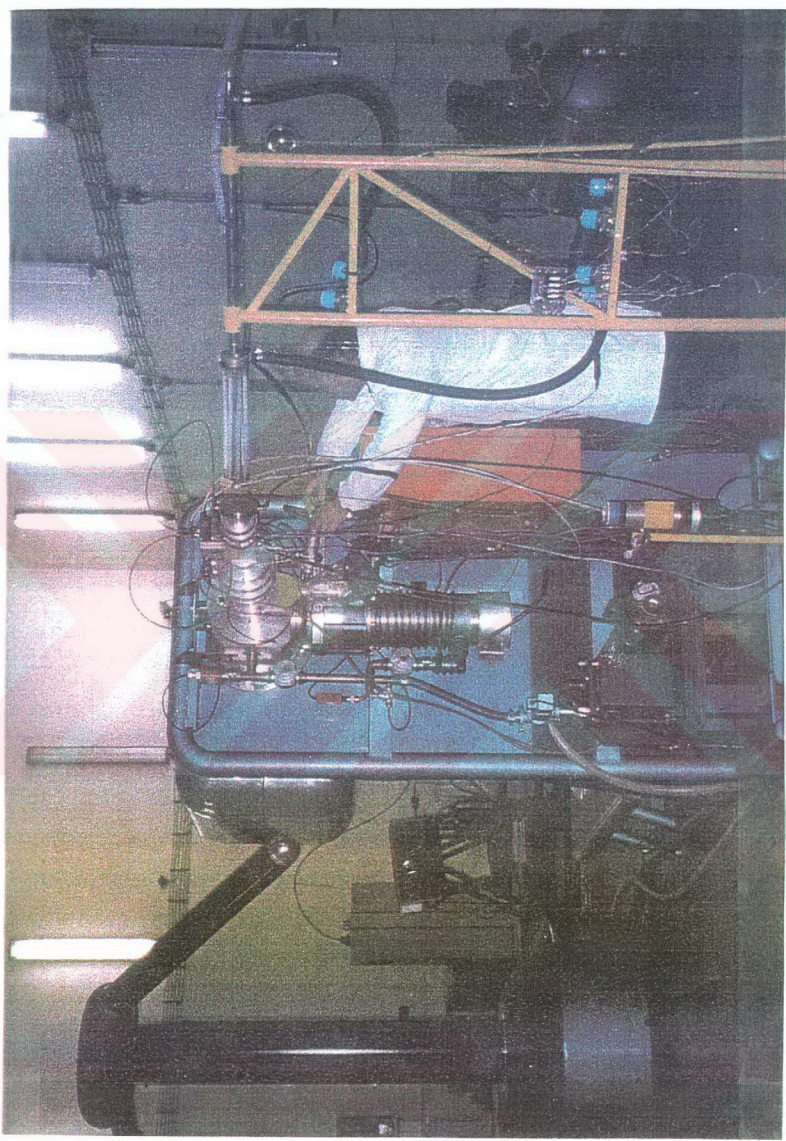
### 3.2 Örnek Transfer Sistemi

Malzemenin ışınlanması sonucu oluşan kısa yarı ömürlü çekirdeklerin yarılanma süresi ölçümlerinin yapılması için, örneğin ışınlamanın hemen arkasından sayımın yapılabacağı yere gönderilmesi gerekmektedir. Bu amaçla özel bir örnek taşıma ve sayım sistemi yapılmıştır. Bu sistemde örnek, hızlandırıcı salonundaki ışınlama noktasından, ölçme laboratuarındaki sayım noktasına ~0.5 saniyede taşınmaktadır. Bu mesafe yaklaşık 10 m dir. Polietilen malzemeden yapılmış 18 mm yüksekliğinde ve 25 mm çapında silindir şeklindeki örnek taşıyıcı özel bir plastik hortum içinde, basınçlı havanın itmesiyle

hızlandırılmakta, hava yastığı oluşturarak sağlanan frenleme ile ışınlama ve sayım bölgelerine herhangi bir tahribata uğramadan ulaştırılmaktadır. Bütün bu mekanik işlemler bu sistem için hazırlanmış bir kişisel bilgisayar programı kullanılarak, otomatik olarak yapılmaktadır. Örnek transfer sistemi ile ilgili ayrıntılı bilgiler Ç.N.A.E.M. T.R.-999 (Özbir,Y. vd.,1998) de verilmiştir.



Şekil 3.1 Hızlandırıcı salonu ve ölçüm odasının şematik gösterimi.



Şekil 3.2 Sames T-400 Nötron jenitarörü ve hızlandırıcı salonu

## 4. DENEYSEL ÇALIŞMA

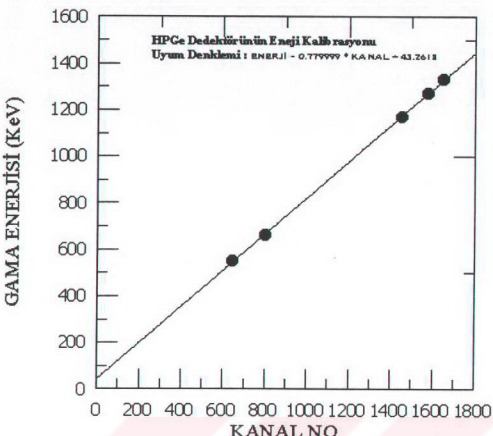
### 4.1 HPGe Dedektörünün Enerji Kalibrasyonunun Yapılması

Bu çalışmada enerji ayırma gücü ve sayım hızı yüksek HPGe dedektörü kullanılmıştır. Dedektörün pencere kalınlığı (alüminyum) 0.5 mm, kristalinin çapı 49.5 mm, aktif yüzeyi  $19.4 \text{ cm}^2$  dir. Çalışma gerilimi +3500 Volt, enerji ayırma gücü (FWHM) 122 KeV'de 1.3 KeV ve 1333 KeV'de 1.9 KeV'dir. Ölüm zamanı ve darbe yiğilması (pile up) düzeltmesi isteğe bağlı olarak elektronik devrelerle yapılmaktadır.

HPGe dedektörünün enerji kalibrasyonu kolayca temin edilebilen  $^{22}\text{Na}$ ,  $^{137}\text{Cs}$ ,  $^{60}\text{Co}$ ,  $^{54}\text{Mn}$ ,  $^{228}\text{Th}$  vs. gibi standart gama kaynakları ile elde edilen  $E_\gamma$  spektrumları ile tanımlanabilir. Çalışmamızda kullanılan Canberra Model 85 çok kanallı analizörü (MCA) ile Ortec Model 919 Spectrum Master çok kanallı analizörün enerji kalibrasyonu Çizelge-4.1'de verilen standart gama kaynakları kullanılarak yapılmıştır (Şekil 4.1). Kaynaklar, detektörün önündeki hızlı transfer sisteminin sayım başlığına yerleştirilmiştir. Bu konum yarılanma süreleri ölçülecek örneklerin sayımlarının yapıldığı konumdur (Şekil 5.2).

Çizelge 4.1 Enerji kalibrasyonu için kullanılan standart gama kaynakları.

Kaynak	$E_\gamma$ (KeV)	% Şiddet	Aktivitesi	Yarı ömrü	Üretim Tarihi
Co-57	122.06	85.5	480.6 kBq	271.77 gün	01.02.1995
Cs-137	661.66	85.21	332 kBq	30 yıl	01.02.1995
Mn-54	834.826	99.975	470.3 kBq	312.2 gün	01.02.1995
Co-60	1173.237	99.9	380.4 kBq	5.271 yıl	01.02.1995
Co-60	1332.501	99.9821	380.4 kBq	5.271 yıl	01.02.1995



Şekil 4.1 HPGe Dedektörünün Enerji Kalibrasyonu.

#### 4.2 HPGe Dedektörünün Gama Işınları için Verim Kalibrasyonunun Yapılması

Noktasal gama kaynağından izotropik olarak yayılan gamalar ile dedektörün kristal yüzeyine gelenlerin oranına dedektörün katı açısı adı verilmektedir ( $\Omega$ ). Sayım katı açısı, kaynaktan dedektörün etkin yüzeyini gören katı açının tüm ışıma yüzeyi  $4\pi$ 'ye oranıdır ve

$$\Omega_0 = \frac{1}{2} \left[ 1 - \left( 1 + \frac{R_D^2}{(d_e + d_k)^2} \right)^{-1/2} \right] \quad (4.1)$$

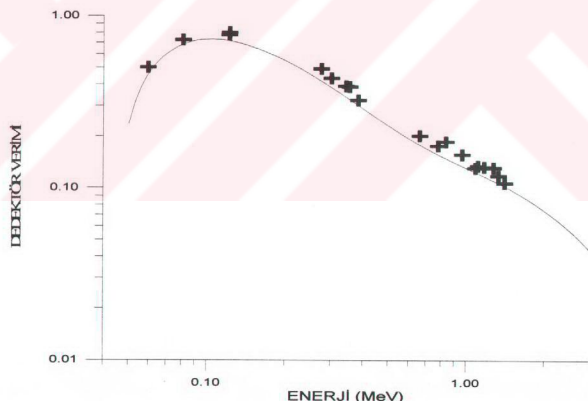
ifade edilir (Bostan vd., 1988). Burada  $d_e$ ; gama ışınının sinyal üretmek üzere detektör kristali ile etkileştiği noktanın detektör yüzeyinden uzaklığı (etkin derinlik),  $d_k$ ; detektör alüminyum yüzeyi ile örnek arasındaki mesafe ve  $R_D$ ; detektörün yarıçapıdır. Bu sayım geometrisi altında ölü zaman düzeltmesi yapılmış ve darbe yığılması engellenmiş

(elektronik olarak) sayımlı sisteminde, aktivitesi bilinen noktasal bir kaynak ile yapılan  $E_{\gamma}$  enerjisindeki TET (tüm enerji tepesi) ölçümleri ile elde edilen verim;

$$\varepsilon(E_{\gamma}) = \frac{P(E_{\gamma})}{A f \Omega_0 t} \quad (4.2)$$

dir. Bu ifadede :  $P(E_{\gamma})$ : Gama spektrumunda  $E_{\gamma}$  enerjili TET altındaki net sayımlı,  $A$ : Nokta kaynak aktivitesi,  $f$ : Göreli gama şiddetti,  $\Omega_0$ : Sayımlı katı açısı ve  $t$  : Sayımlı süresidir.

Çalışmamızda kullandığımız HPGe dedektörünün 80 KeV -1600 KeV arasında gama ışınlarına karşı verimi Şekil 4.2'de verilmektedir (Durusoy, 2000).



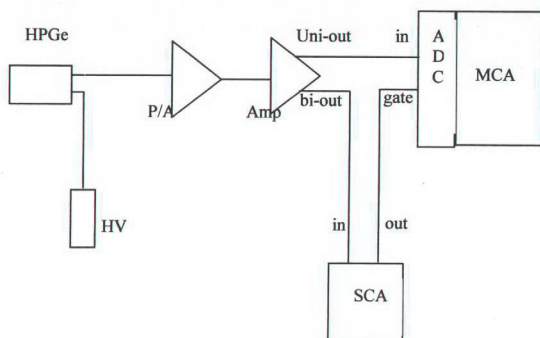
Şekil 4.2 HPGe dedektörünün TET Verimi.

#### 4.3 Tek Kanallı Analizörün (SCA) LLE Kalibrasyonu

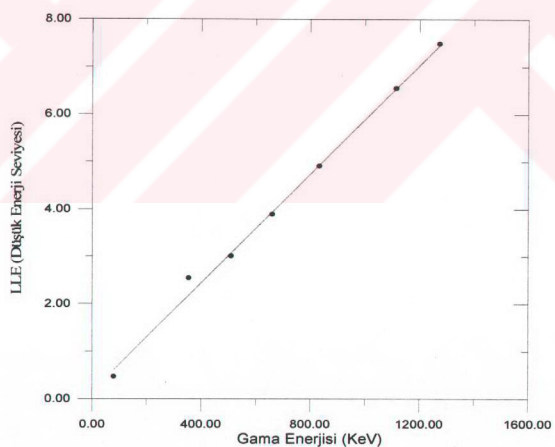
Kısa yarı ömürlü bir radyoaktif çekirdeğin yarılanma süresinin belirlenmesi ile ilgili ölçümlerde yeterli sayımlı istatistiğinin sağlanması için en az dört yarı ömür takip edilmeli ve her bir yarı ömür içinde en az 3 ölçüm (gama spektrumu) alınması gerekmektedir. Alınan spektrumların her defasında bilgisayar ortamında saklanabilmesi için gelecek sürenin çekirdeğin yarılanma süresi yanında oldukça kısa olması gereklidir. Ölçüm sistemimizde 8192 kanalı kapsayan bir spektrumun bilgisayar ortamına transferi ve saklanması işlemi yaklaşık 1 ila 2.5 sn. sürmektedir. Kısa yarılanma süresine sahip çekirdeklerde (5-10 sn) bu sürenin yaratacağı sorunu gidermek için Tek Kanallı Analizör (Single Channel Analyser) kullanılarak bir ölçüm sistemi kurulmuştur. Tek kanallı analizör ile ilgilenilen gama tepesi çerçevelenmiş ve sadece bu çerçeve aralığına gelen sayımlar alınmıştır. Böylece, alınan sayımlı değerlerini kaydetmek için gelecek süreden kurtulmak için bir Çok Kanallı Tarayıcı (Multi Channel Scanner) ile, her bir ölçüm aralığı bir kanala denk düşecek şekilde, çerçeve içine gelen sayımlar alınmıştır. Bu sayede, bir sayımlının bitip diğerinin başlaması için arada geçen sürenin  $\mu$ sn mertebesine olması sağlanmıştır.

Ölçüm işlemlerinin sağlıklı ve hatasız yürütülebilmesi için SCA'nın kalibrasyon işlemi Şekil 4.3 'deki deneysel düzenek kurularak yapılmıştır. Standart gama kaynakları kullanılarak her gama enerjisine denk gelen Alt-Enerji-Seviyesi (Low Level Energy) ve pencere aralığı ( $\Delta E$ ) belirlenmiştir. Gama tepesini çerçevelme işleminde meydana gelebilecek hataları belirlemek ve gerekli düzeltmeleri gerçekleştirebilmek için tüm sayımlı işlemi boyunca örneğe ait gama spektrumu da aynı anda alınmıştır.

Standart gama kaynakları kullanılarak yapılan kalibrasyon işlemi sonucu gama tepeleri için pencere aralığı,  $\Delta E = 0.2$  olarak belirlenmiştir. Farklı enerjilerde gama kaynakları kullanılarak elde edilen LLE -  $E(\gamma)$  kalibrasyon eğrisi Şekil 4.4 'de gösterilmiştir. Kalibrasyon eğrisine yapılan uyumlama sonucu elde edilen uyum denklemi ile çalışılacak gama enerjisine göre SCA 'nın LLE ayarları yapılmıştır. Bu şekilde SCA'nın sadece LLE+ $\Delta E$  aralığına (belirlenen çerçeveye) gelen darbeleri sayması sağlanmıştır.



Şekil 4.3 SCA'nın kalibrasyonu için kurulan deney düzeneği (P/A : Preamplifier Model 2001, Amp : Spectroscopy Amp. Model 2020, ADC : Model 8075, MCA : Model 85, SCA : Model 2035A, HV : Model 3105).



Şekil 4.4 SCA'nın kalibrasyon eğrisi :  $LLE = 0.00341493.E(\gamma) + 0.00060274$  ( $\Delta E=0.2$ ).

#### **4.4 Çok Kanallı Analizörün Çoklu-Ölçekleme ( Multiscaling mode, MS) Şeklinde Kullanılması**

Çok kanallı analizörlerin darbe yüksekliği analizlerinden farklı olarak Çoklu-Ölçekleme (MS) adı verilen değişik bir kullanımı daha vardır. MS modunda analizörün her bir hafiza adresi bağımsız bir sayıçı olarak çalışır. Bu durumda analizöre gelen tüm darbeler genliğinden bağımsız olarak sayılırlar. Analizörün çalışmaya başlamasından itibaren belli bir sürede gelen tüm darbeler analizörün birinci kanalında sayılırlar. Kullanıcı tarafından belirlenmiş bir beklenme süresi (dwell time) sonunda analizör bir sonraki kanala geçer ve gelen darbeler yine bu süre boyunca yeni kanalda toplanırlar. Bu olay analizörün hafızasındaki tüm adresler dolana kadar tekrarlanabilir. Bekleme süresi kullanıcının isteğine bağlı olarak 1 mikro saniye ile birkaç dakika arasında belirlenebilir. Kullanıcının bu süreyi belirleyebilmesi için çok kanallı analizörün (MCA) Analog-Dijital Çeviricisine (Analog-to-Digital Converter , ADC) bir Çok-Kanallı-Tarayıcı (Multi-Channel-Scaler, MCS) ilave edilmelidir . Sadece ilgilenilen gama enerji tepelerinin MCS tarafından sayılması isteniyor ise bu durumda sisteme, Bölüm 4.3 ‘de bahsedildiği gibi, bir Tek-Kanallı Analizör (Single\_Channel Analyser , SCA) ilave edilmelidir (Şekil 4.5).

#### **4.5 Ölü Zaman ve Darbe Yılığımı Düzeltmelerinde Pulser’ in Kullanımı**

Bölüm 2.6.1 ’de anlatılan ölü zaman ve darbe yılığımı düzeltmelerinde ,özellikle sayıım hızının ve ölü zamanın sabit olmadığı durumlarda, elektronik sinyal üreticileri “Pulse Generator” kullanılmaktadır.

Bu yöntemde, radyoaktif çekirdekten yayınlanan gama ışınlarının dedektör içine girmesi sonucu oluşan ve dedektörün ön yükselticisine gelen sinyallerle birlikte, sinyal üretici (Pulser) ile ayarlanılan birim zamanda belirli bir sayıda ve gama ışınlarının meydana getirdiği sinyal genliklerine uygun bir sinyalin, yine aynı ön yükselticinin “Test” girişine verilmektedir . Bu şekilde HPGe dedektöründen gelen gama ışınlarına ait sinyaller ile pulserden gelen sinyallerin aynı elektronik prosedürden geçmesi sağlanmaktadır. Pulserin birim zamanda verdiği sinyal sayısı bilindiğinden, sayıım süresi sonucu, pulser’den çıkan

sinyaller ile sayımlı sistemi tarafında sayılan sinyaller karşılaştırılarak (pulser'den gönderilenlerin sistem tarafından sayılanlara oranından) elektronik donanımdan kaynaklanan ölü zaman ve darbe yığılımı kayıpları belirlenerek gerekli düzeltmeler yapılmaktadır. Bu yöntemde benzer bir diğer yöntem kaynak yöntemidir. Bu yöntemde yarılanma süresi oldukça uzun olan ve aktivitesi bilinen standart bir kaynak, ölçülecek radyoaktif çekirdekle birlikte dedektör önüne getirilmekte ve birlikte sayılmaktadır. Yine Pulser yönteminde olduğu gibi standart kaynaktan elde edilen sayımlı değerleri ile gerekli düzeltmeler yapılmaktadır (Tsoulfanidis, 1983).

#### **4.6 Yarılanma Süresi Ölçümleri**

Radyoaktif çekirdeklerin yarılanma süreleri  $10^{-20}$  sn ile  $10^{15}$  yıl arasında değişen oldukça geniş bir zaman aralığına sahiptir. Bu sebeple, yarılanma süreleri ölçüm teknikleri de buna bağlı olarak çeşitlilik göstermektedir. Aşağıdaki paragraflarda yarılanma süresine bağlı olarak kullanılan tekniklerin özellikleri kısaca anlatılmaktadır.

Yarılanma süresi dakika ile saat mertebesinde olan çekirdeklerde, Bölüm 2.2.1 ve Bölüm 2.2.2' deki matematik tanımlamalar kullanılarak bu tür çekirdeklerin yarılanma süreleri belirlenebilir. Belirli bir zaman aralıkları ile ölçüm yapmamıza olanak sağlayacak basit bir sayımlı sistemi ile (dedektör+zamanlayıcı+elektronik sayıcı) elde edilecek sayımlı değerlerinden yarı-logaritmik ölçekte bozuma çizgisi elde edilerek, çizginin eğiminden yarılanma süresi belirlenebilir.

Yarılanma süreleri aylar ile yıllar arasında olan çekirdeklerde, sayımlı sürelerinin çok uzun olacağı ve yeterli sayıda ölçüm yapmak için gelecek sürenin de yarılanma süresi mertebesinde olacağı için, yukarıda anlatılan yöntemi kullanarak hem sağlıklı bir sonuç bulmak, hem de, pratik olarak o kadar uzun süre ölçüm yapmak mümkün değildir. Bu gibi durumlarda özgül (spesifik) aktivite yöntemini kullanmak daha iyi sonuçlar vermektedir. Özgül aktivite, radyoaktif çekirdeğin birim kütlesi başına aktivitesidir. Yarılanma süresi belirlenecek radyoaktif çekirdeğin, belirli bir t süresi içinde bozunan çekirdek sayısı ölçülürse, birim zamanda bozunan çekirdek sayısı, yani A aktivitesi

hesaplanabilir. Radyoaktif çekirdek miktarı ( $N$ ), kütle spektrometresi veya kimyasal analiz yöntemleri ile belirlenerek, Aktivitenin temel tanımı olan  $A = \lambda \cdot N$  ifadesinden, bozunma sabiti hesaplanarak yarılanma süresi belirlenebilir.

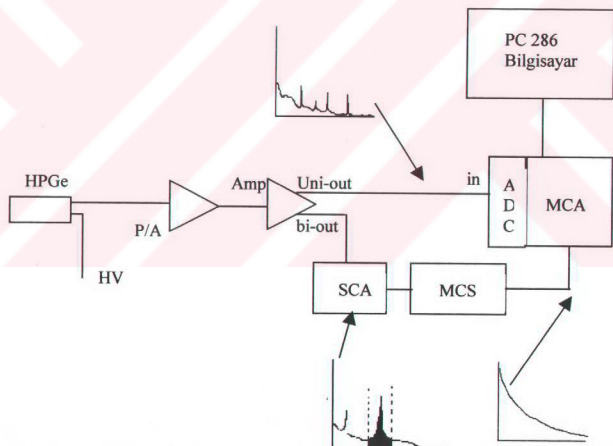
Yarılanma süreleri 1 dakikanın altında olan radyoaktif çekirdekler için ilk olarak anlatılan yöntem ile yarılanma süresi belirlemek hem zordur, hem de büyük hatalara neden olabilir. Çekirdeğin yarılanma süresinden daha kısa sürelerde sayıım alınması gerekeceğinden deneyi yapan kişinin sayımları başlatma - bitirme - sayıçıdan değeri yazma - aleti sıfırlama ve tekrar sayıımı başlatma işlemleri için harcayacağı zaman bu tür ölçümleri yapmasını olanaksız kılacaktır. Analog sinyalleri bir yerde depolamak mümkün olmadığından yukarıda bahsedilen yöntemler yetersiz kalacaktır. Bu gibi durumlarda çoklu - ölçekleme (Multiscaling) adı verilen bir çok kanallı analizörden (MCA) yararlanılır. Bu durumda MCA analog sinyaller yerine dijital sinyaller ile çalışır ve sinyalleri bir yerde toplama ve depolama olanağı sağlar. Sayımların yapılacağı sayıım aralığı (dwell time) ayarlanarak, MCA bu süre boyunca gelen sinyalleri sayar ve sayıım süresi sonunda 1. kanal yerleştirir ve 2.kanala geçerek bir sonraki sayıım süresi içinde gelen sinyalleri sayar. Bu işlem istenildiği kadar tekrar ettirilerek MCA de istenilen kanal uzunluğunda bir bozunum eğrisinin oluşması sağlanır. Elde edilen bozunum eğrisinin yarı-logaritmik ölçekte çizilmiş grafiğinden eğim bulunarak yarılanma süresi belirlenir. Ancak bu yöntemde de bir alt sınır vardır. Dedektörlerin  $10^5$  sayıım/sn üstündeki sayıım hızlarına cevap vermemesi nedeniyle, bu yöntem ile  $10^{-3}$  saniye ve altındaki sayıım sürelerinde yeterli sayıımın toplanmasını mümkün kılmamaktadır (Krane, 1988).

Yarılanma sürelerinin mikro-saniye ile nano-saniye arasında olması durumunda çakışma (coincidence) yöntemleri kullanılmaktadır. Bir zaman-genlik çeviriçi (TAC) kullanılarak, bir nükleer durum oluşumuna sebep olan radyasyon algılanarak TAC için "başla" komutu olarak verilerek zamanlayıcı saat çalıştırılmakta, bozunumdan meydana gelen radyasyon algılanarak da yine TAC için "dur" komutu olarak verilmektedir. Bu şekilde "başla" ile "dur" arasındaki zaman aralıkları ölçüülerek, aynı bozunum eğrisinde olduğu gibi bir eğri elde edilmekte, ve bu eğri kullanılarak diğerlerinde olduğu gibi yarılanma süresi belirlenmektedir (Knoll, 1979).

#### 4.6.1 MS (Multiscaling) yöntemi ile yarılanma süresi ölçümleri

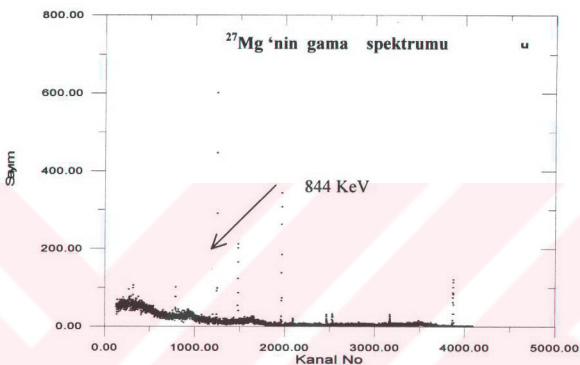
Yarı ömür ölçümelerinde temel yöntem haline gelen MS yöntemini kendi laboratuar şartlarımız ve elektronik donanımızla test etmek üzere Bölüm 4.4' de bahsettiğimiz, Şekil 4.5'de verilen elektronik düzenek kurulmuştur.

Deneysel düzeneğin test ölçümleri için 20 gr. disk şeklinde bir  $^{27}\text{Al}$  örnek, 3-5 MeV aralığında nötron enerjisine ve  $\sim 10^3$  mertebesinde nötron akısına sahip bir Pu/Be nötron kaynağı ile 24 saat ışınlanmıştır. Işınlama sonucu oluşan  $^{27}\text{Mg}$  izotopunun 834 KeV enerjili gama ışınları için (Şekil 4.6) SCA ayarlamaları yapılarak belirlenmiş çerçevelere aralığına gelen sayımların değerleri kanal başına 1.5 dk aralıklarla (dwell time) toplanarak MCA 'de 30 kanal süren bir bozunum spektrumu elde edilmiştir (Şekil 4.7a) .

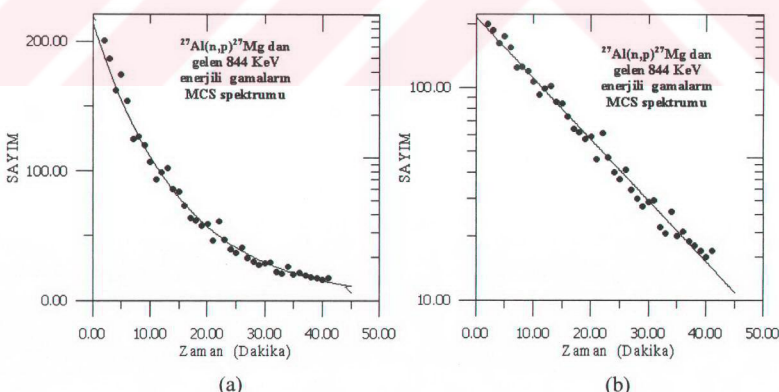


Şekil 4.5 Kısa yarı ömür ölçümü için kurulan deneysel düzenek (P/A : Preamplifier Model 2001, Amp : Spectroscopy Amp. Model 2020, ADC : Model 8075, MCA: Model 85, SCA : Model 2035A, HV : Model 3105 , MCS : Model 8082).

$^{27}\text{Al}(\text{n},\text{p})^{27}\text{Mg}$  tepkileşiminden gelen 844 KeV enerjili gamaların MCS yöntemi ile elde edilen bozunum eğrisine (Şekil 4.7a) uyumlama (fit) yapılarak elde edilen çizgisel uyum eğrisinden (Şekil 4.7b) eğim hesaplanarak  $\lambda$  bozunma sabiti ve dolayısıyla da yarılanma süresi  $T_{1/2} = 9.43 \pm 0.08$  dakika olarak bulunmuştur. Literatür değeri 9.46 dak. ile bulduğumuz yarı ömrü arasındaki fark %0.3 dır.



Şekil 4.6  $^{27}\text{Al}$  örneğinin işinlanması sonucu alınan gama spektrumu .



Şekil 4.7 (a) MCS yöntemi ile elde edilen bozunum grafiği. (b) Bozunum eğrisine yarı-logaritmik ölçekte yapılan lineer uyumlama.

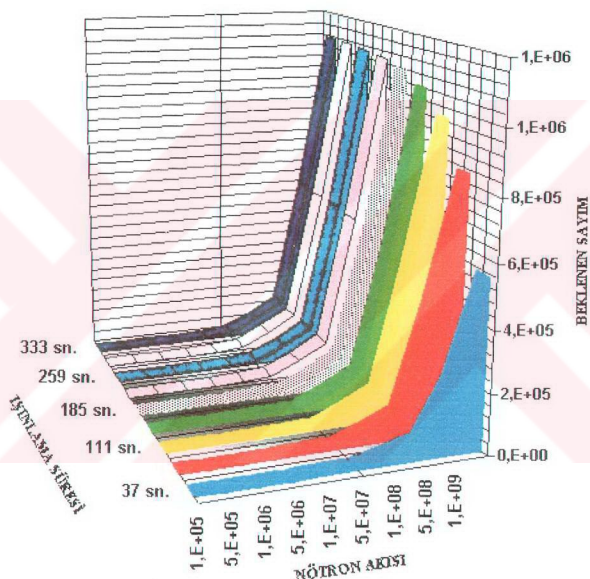
<sup>27</sup>Mg radyoizotopun MCS spektrumunda da görüldüğü gibi (Şekil 4.7a), ölçüm noktaları eksponansiyel azalım esnasında dalgalı bir seyir izlemektedir. Ölçüm esnasında sayıım hızının düşük olması ve gama tepesinin compton bölgesinde oluşması (Şekil 4.6) gibi olaylar, sayıım değerlerinde istenmeyen katkılara sebep olmaktadır. MCS yöntemi ile bu ve bunun harici katkıların ne olduğunu tam olarak belirlemek mümkün olmamaktadır. MCS yöntemi kullanılarak yapılmış yarı ömrölçümleri incelendiği zaman, bu tür katkıların, sayıım değerleri çok yüksek tutularak (yüksek nötron akısıyla çalışılarak) çoğu zaman ihmali edilebilir kabul edildiği (dikkate alınmadığı) veya matematik olarak belirlenmeye çalışıldığı görülmektedir (JAERI,1992-027). Bazı çalışmalarında, ilgili tüm enerji tepesinin tümü yerine, tepenin maksimum noktası göz önüne alınarak sağ ve sol yanından belli bir aralığı çerçeveyerek sayıımların alındığı görülmektedir (Malmskog vd.,1962). Tüm bu olaylara rağmen MCS yönteminin en büyük avantajı veri transfer süresinin çok kısa olmasıdır. Bu sebeple, yarı ömrölçümlerinin MCS yöntemi ile yapılmasında bu avantajdan yararlanılmaya çalışılmaktadır.

#### **4.6.2 Gama enerji tepesini ayırma yöntemi (GETAY) ile yarılanma süresinin belirlenmesi**

MCS yöntemi ile yaptığımız test ölçümlerinden elde ettiğimiz sonuçlar, kullandığımız donanım ve çalışma şartlarımız göz önüne alınarak, diğer çalışmalar ile karşılaştırılmış ve aşağıda belirtilen farklılıklar ve neticeler bulunmuştur.

Bu konudaki çalışmalar  $10^{11} - 10^{13}$  nötron /  $\text{cm}^2 \text{ sn}$ . mertebesindeki nötron akılarında, genellikle reaktör havuzlarında ışınlanan örneklerle yapılmıştır. Çalışmamızda Sames T-400 nötron jeneratörü ile elde ettiğimiz nötron akısı hedefin hemen arkasında (0.5 mm)  $\sim 10^7$  mertebesindedir. Bu farklılık düşük sayıım değerlerinde ölçüm yapmamıza neden olmaktadır (Şekil 4.8). Işınlanacak örnek miktarı üzerindeki kısıtlamalar ve çalışan örneklerin tesir kesitlerinin (14 MeV enerjili nötronlar için) büyük yoğunluğunun 100 mbarn'ın altında olması çalışmalarımızda compton bölgesi katkısını daha da ön plana

çıkarmaktadır. MCS yönteminde, ilgili gama enerjisi tepesinde, ölü zaman ve darbe yığılımı (puls pile up) düzeltmeleri için kullanılan pulser tepe alanında gerekli ilave düzeltmeleri yapmak mümkün olmamaktadır. Her ne kadar pulser spektrumda en son kanallara gelecek şekilde ayar edilse de, sayım esnasında elektronik nedenlerden dolayı meydana gelebilecek kanal kaymasının veya background (temel seviye) katkısının olup olmadığını belirleme olanağı yoktur.

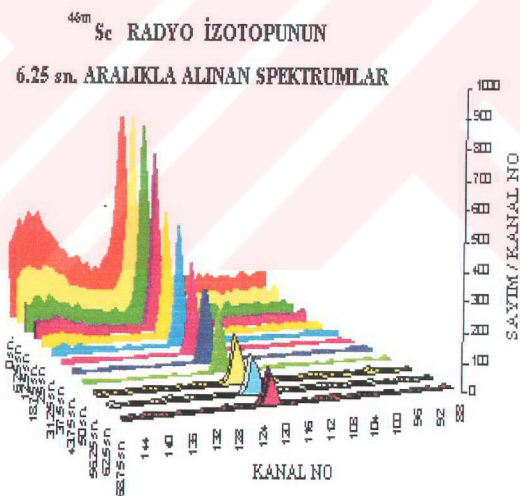


Şekil 4.8 İşınlama süresi ve nötron akısına bağlı olarak birinci ölçümden oluşması mümkün sayım değerleri.

Yukarıda söz edilen nedenlerden dolayı, karşılaştığımız sorunları gidermek üzere “Gama enerji tepesini ayırma yöntemi” adını verdığımız yöntem geliştirilmiştir.

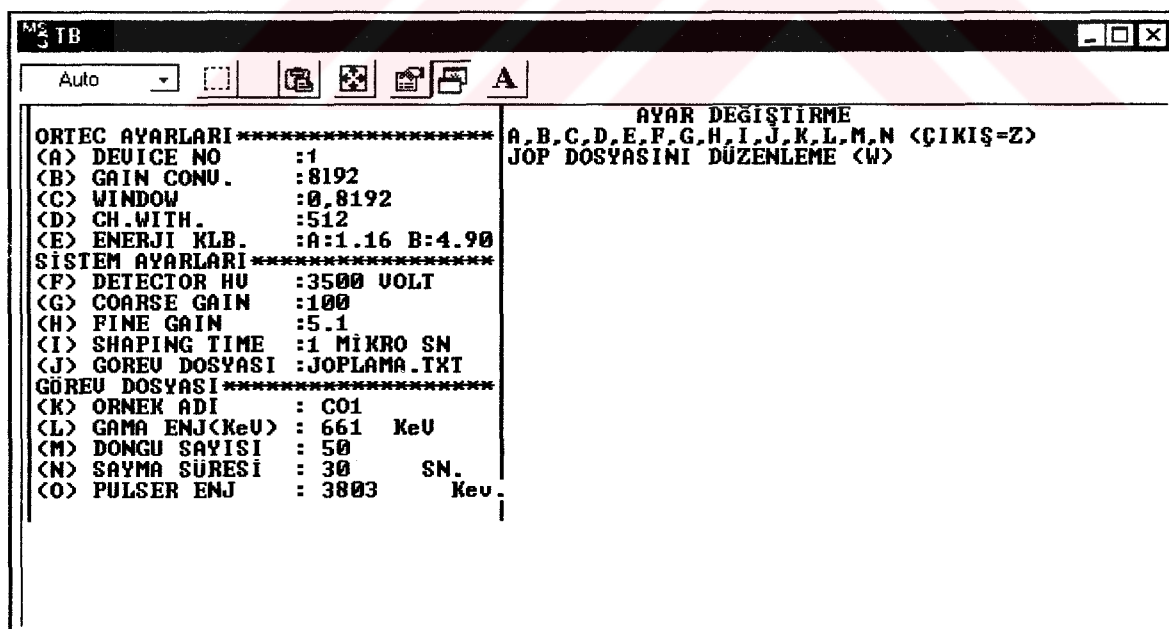
Yöntemimiz, MCS yöntemi ve çok kanallı analizör ile spektrum alma yönteminin bir çeşit ortak kullanımıdır. Bu yöntem sayesinde, ilgilenilen gama ışınının tüm enerji tepesinin sağ ve solundan belirli kanal mesafesi bırakılmakta, tüm spektrumdan sadece bu bölgenin spektrumunun bilgisayar ortamına kaydedilmesini sağlanmaktadır. Bu şekilde daha önce belirttiğimiz birkaç saniye mertebesindeki kaydetme ve tekrar sayıma başlama süresi, çalışılan örneğe bağlı olarak, 0.29 – 0.32 saniyeye düşmektedir.

MCS yönteminden farklı olarak, elde edilen gama enerji tepesi ve pulser tepesi spektrumlarından background, ölü zaman ve darbe yığılımı düzeltmeleri, kanal kaymaları, komşu gama tepesinin compton katkısı gibi gerekli düzeltmeler yapılmaktadır. Ayrıca alınan spektrumlar bize ölçümlerin sağlıklı olup olmadığı hakkında da bilgi vermektedir (Şekil 4.9).



Şekil 4.9 Komşu gama tepesinden dolayı meydana gelen compton bölgesinin ilgilenilen gama tepesine etkisi .

Spektrum alma işlemlerin sağlıklı ve en hassas bir şekilde yürütülebilmesi için Ortec Model 919 Multi Channel Buffer (MCB) nin kullanıcıya sağladığı bilgisayar programı yazarak komut verme olanağından yaralanılmış ve Turbo Basic dilinde bir kontrol programı yazılmıştır (EK 2). Program, enerji- kanal kalibrasyon denklemi ile istenilen gama enerjisinin yerini belirlemekte ve amplifikatör kazanç ayarı 8192 kanal için gama enerji tepesinin sağ ve sol yanında 30 kanal pay kalacak şekilde, MCB den bu kanal aralıklarına düşen adreslerdeki değerleri okumaktadır. Bu işlem eş zamanlı olarak pulser içinde yapılmaktadır. Program çalıştırıldığı zaman amplifikatör kazanç ayarını, spektrum sayını, sayma süresini, spektrum ismini, ilgili gama enerji değerini, pulserin ayar edildiği enerji değerini, enerji – kanal kalibrasyon denkleminin a ve b katsayılarını veri olarak istemektedir. Alınan spektrumlara isim ve numara vererek otomatik kaydetmektedir (Şekil 4.10). Bu işlemler esnasında sayma başlama, bitiş ve transfer süreleri örneğin ismi ile başlayan bir veri dosyasına ölçüm işlemleri sonunda yazmaktadır (Şekil 4.11). Bahsedilen sürelerin belirlenmesi işleminde bilgisayarın merkezi işlem biriminin (Central Prossesing Unit,CPU) clock darbelerini kullanılarak oluşturduğu sayıcı kullanılmaktadır. Her 100 clock darbesi 1 saniyeye denk gelmekte ve bilgisayarın açılması ile sayıcı çalışmaya başlamaktadır .

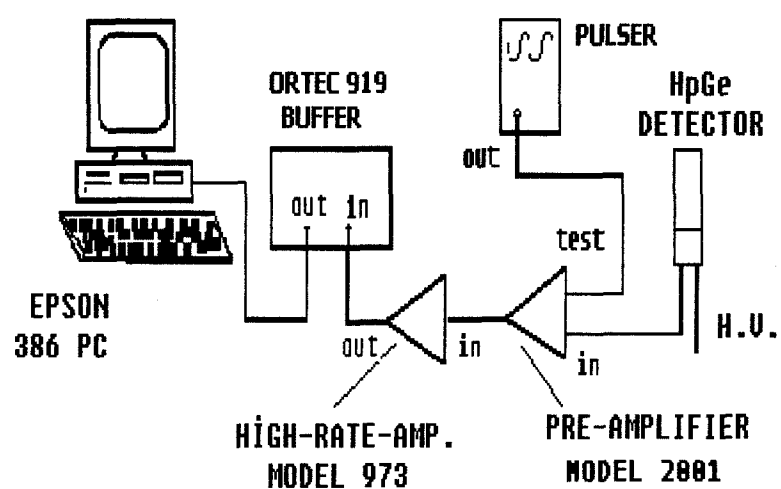


Şekil 4.10 Yarı ömür ölçümleri için spektrumların alınmasında kullanılan Turbo Basic dili ile yazılmış kontrol programı.

<u>SPEKTRUM NO</u>	<u>DENEY NO</u>	<u>SAYIM BASLAMA</u>	<u>SAYIM BITIS</u>	<u>GEÇEN SÜRE</u>
<u>ÖRNEK ADI</u>	<u>İŞLEM</u>			
ZNN301OK	39679.66015625	39687.5703125	SÜRE= 7.91015625	
ZNN302OK	39687.8984375	39695.80859375	SÜRE= 7.91015625	
ZNN303OK	39696.13671875	39704.046875	SÜRE= 7.91015625	
ZNN304OK	39704.375	39712.28515625	SÜRE= 7.91015625	
ZNN305OK	39712.61328125	39720.5234375	SÜRE= 7.91015625	
ZNN306OK	39720.8515625	39728.76171875	SÜRE= 7.91015625	
ZNN307OK	39729.09375	39737	SÜRE= 7.90625	
ZNN308OK	39737.33203125	39745.2421875	SÜRE= 7.91015625	
ZNN309OK	39745.5703125	39753.48046875	SÜRE= 7.91015625	
ZNN310OK	39753.80859375	39761.71875	SÜRE= 7.91015625	
ZNN311OK	39762.046875	39769.95703125	SÜRE= 7.91015625	
ZNN312OK	39770.28515625	39778.1953125	SÜRE= 7.91015625	
ZNN313OK	39778.5234375	39786.43359375	SÜRE= 7.91015625	
ZNN314OK	39786.765625	39794.671875	SÜRE= 7.90625	

Şekil 4.11 Sayım işlemlerinde geçen sürelerin kaydedildiği dosyanın içeriği.

Örneklerin yarılanma sürelerini belirlemek üzere Şekil 4.12'da gösterilen elektronik düzenek kurulmuştur.

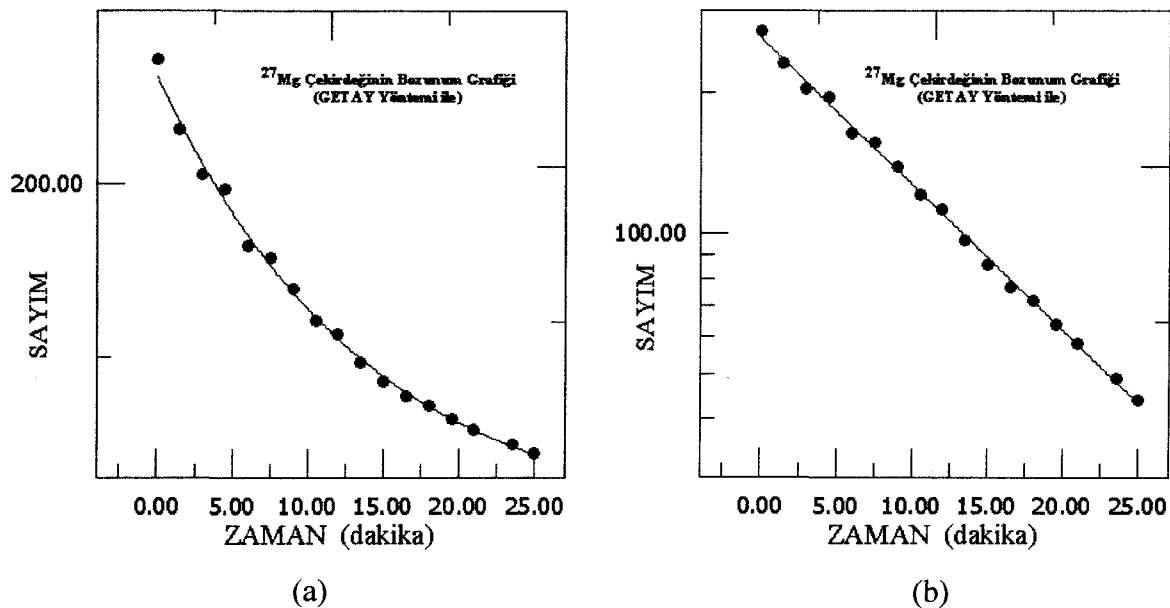


Şekil 4.12 Yarı ömür ölçümü için kullanılan elektronik düzenek.

HgGe (82 cc) dedektörünün ön yükselticisinin (Canberra model 2001) "Test" girişine ölü zaman ve darbe yiğilimi düzeltmeleri için Pulser çıkış (Canberra Model 1407) bağlanmıştır. Ön yükselticinin çıkışı da yüksek hızlı yükseltici (High Rate Amplifier Ortec Model 973) girişine bağlanmıştır. Bu şekilde HPGe dedektöründen gelen gamalara ait darbeler ile pulserden gelen darbelerin aynı elektronik prosedürden geçmesi sağlanmıştır. Yüksek hızlı yükselticinin uni-polar çıkışı bir çok kanallı tarayıcının (MCB, Ortec Model 919) girişine bağlanmıştır. MCB'nin çıkışı veri iletimi sağlayan bir kablo ile bilgisayar içine yerleştirilmiş bir interface kartına bağlanarak spektrumların alınması sağlanmıştır.

Deneysel düzeneğin test ölçümleri daha önceki test ölçümü için kullanılan 20 gr. disk şeklinde bir  $^{27}\text{Al}$  örneği 3-5 MeV aralığında nötron enerjisine ve  $\sim 10^3$  mertebesinde nötron akısına sahip bir Pu/Be nötron kaynağı ile ıshınlanmıştır.  $^{27}\text{Mg}$  den gelen 844 KeV enerjili gamalar için sayım işlemi tekrar edilmiş ve aşağıdaki neticeler alınmıştır.

$^{27}\text{Al}(\text{n},\text{p})^{27}\text{Mg}$  tepkileşiminden gelen 844 KeV enerjili gamaların GETAY yöntemi ile ölçüm sonuçlarından yarılanma süresi, bozunum eğrisinden (Şekil 4.13a) uyum denklemi çıkarılarak (Şekil 4.13b),  $T_{1/2}(^{27}\text{Mg}) = 9.45 \pm 0.03$  dakika olarak bulunmuştur. Literatür değeri 9.46 dk ile bulduğumuz yarı ömrə arasındaki fark %0.106 dır. GETAY yöntemi ile MS yöntemine nazaran yarılanma süresi literatür değere daha yakın çıkmakta ve ayrıca üzerindeki belirsizlik de azalmaktadır. GETAY yönteminde gerek yarı ömrə değerinin ve gerekse belirsizliğin daha iyi bulunmasının nedeni, uyum denkleminin bozunum eğrisini daha iyi temsil etmesinden ileri gelmektedir. Zira tüm enerji tepesi altındaki alanların üzerindeki hatalar bu yöntem ile daha iyi ayıklanmıştır.



Şekil 4.13 (a) Gama enerji tepesi ayırma yöntemi ile elde edilen bozunum grafiği. (b) Bozunum eğrisine yarı-logaritmik ölçekte yapılan lineer uyumlama.

#### 4.7 Data Transfer Süresinin Ölçüm Değerlerine ve Yarılanma Süresine Etkisi

Belirli bir  $t$  zaman aralıkları ile elde edilen sayımların ( kanal başına sayımlar ) Ortec 919' un hafızasından bilgisayar ortamına aktarılması esnasında 0.29-0.32 saniye aralığında bir süre geçmektedir. Data transfer süresi adını verdigimiz bu zaman aralığının bozunum eğrisinde ve dolayısıyla ölçülecek yarı ömrü değeri üzerindeki etkilerinin ne oldukları ve varsa etkilerinin asgari düzeye çekilmesi için izlenen matematiksel yöntem aşağıda açıklanmaktadır.

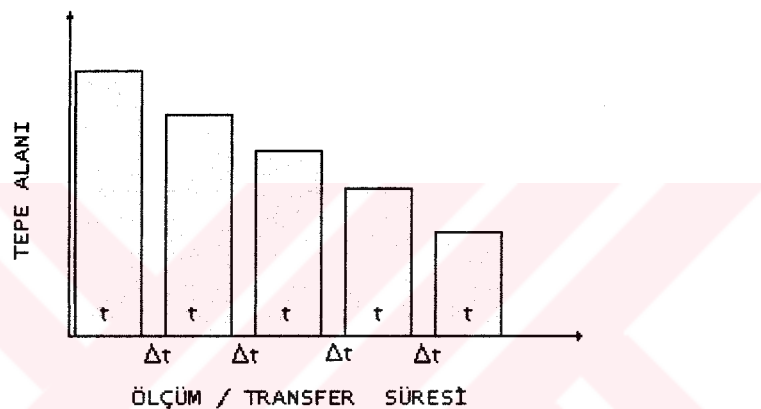
Belirli bir  $t_s$  ışınlama süresi sonunda aktiftenmiş çekirdek sayısı  $N_0$  olması durumunda, bir  $t_s$  sayma süresi sonunda bozunan çekirdek sayısı,

$$N = N_0 \cdot (1 - e^{-\lambda t_s}) \quad (4.3)$$

olacaktır. Bozunan çekirdek sayısının bilgisayar ortamına kaydedilmesi için  $\Delta t$  süresi harcandığı kabul edilirse, her  $t_s$  süresini takip eden  $\Delta t$  süresi boyunca bozunan çekirdek sayısı ölçülemeyecektir (Şekil 4.14).  $\Delta t$  süresi boyunca sayım işlemi devam etseydi, bu durumda bozunan çekirdek sayısı,

$$N' = N_0 \cdot (1 - e^{-\lambda(t_s + \Delta t)}) \quad (4.4)$$

olacak ve sayma süresi de  $t_s + \Delta t$  olacaktır.



Şekil 4.14 Sayma süresi ve data transfer süresi ( $t$ : sayım yapılan süre,  $\Delta t$ : bilgilerin bilgisayar ortamına aktarılması için geçen süre).

Bu şekilde transfer süresi olmayan  $t' = t_s + \Delta t$  süresi sonunda bozunan çekirdek sayısı ölçülmüş olacaktır. Bu sebeple  $\Delta t$  transfer süresinin her bir ölçüm işlemi için meydana getireceği sayım farkı  $\Delta N$ ,

$$\Delta N = N' - N \quad (4.5)$$

ve buradan  $N'$  ve  $N$  yerine yazılıarak,

$$\Delta N = N_0 \cdot e^{-\lambda t_s} \left( 1 - e^{-\lambda \Delta t} \right) \quad (4.6)$$

olacaktır.

Transfer süresinin, doğrunun eğimini de temsil eden  $\lambda$  bozunma sabitine etkisini incelemek üzere aşağıdaki tanımlamalar yapılmıştır.

$N_0$  :  $t = 0$  anındaki sayılmış değeri,

$N_0 \cdot e^{-\lambda t_1}$  :  $t_1$  sayılmış süresi sonundaki sayılmış değeri,

$N_0 \cdot e^{-\lambda t_1} \cdot (1 - e^{-\lambda \Delta t})$  :  $t_1$  sayılmış süresini takip eden  $\Delta t$  sonundaki sayılmış değeri,

$N_1$  :  $t_1 + \Delta t$  süresi sonundaki sayılmış değeri,

$N_0 \cdot e^{-\lambda t_2}$  :  $t_2$  sayılmış süresi sonundaki sayılmış değeri,

$N_0 \cdot e^{-\lambda t_2} \cdot (1 - e^{-\lambda \Delta t})$  :  $t_2$  sayılmış süresini takip eden  $\Delta t$  sonundaki sayılmış değeri,

$N_2$  :  $t_2 + \Delta t$  süresi sonundaki sayılmış değeri.

Bu durumda  $N_1$  ve  $N_2$  sırasıyla,

$$N_1 = N_0 \cdot e^{-\lambda t_1} + N_0 \cdot e^{-\lambda t_1} (1 - e^{-\lambda \Delta t}) \quad (4.7)$$

$$N_2 = N_0 \cdot e^{-\lambda t_2} + N_0 \cdot e^{-\lambda t_2} (1 - e^{-\lambda \Delta t}) \quad (4.8)$$

bu iki ifade birbirine oranlanırsa,

$$\frac{N_1}{N_2} = \frac{N_0 \cdot e^{-\lambda t_1} \left[ 1 + (1 - e^{-\lambda \Delta t}) \right]}{N_0 \cdot e^{-\lambda t_2} \left[ 1 + (1 - e^{-\lambda \Delta t}) \right]} \quad (4.9)$$

pay ve paydadaki ortak terimler birbirini götürüceğinden,

$$\frac{N_1}{N_2} = \frac{e^{-\lambda t_1}}{e^{-\lambda t_2}} \quad (4.10)$$

ve iki yanım logaritması alınıp  $\lambda$  tek bırakılırsa,

$$\lambda = \frac{\ln \frac{N_1}{N_2}}{t_2 - t_1} \quad (4.11)$$

olarak bulunur.

Sonuç olarak, tüm sayım işlemi boyunca,  $\Delta t$  süresinin aynı olması durumunda, yarılanma süresinin belirlenmesinde transfer süresinin bir etkisi yoktur.

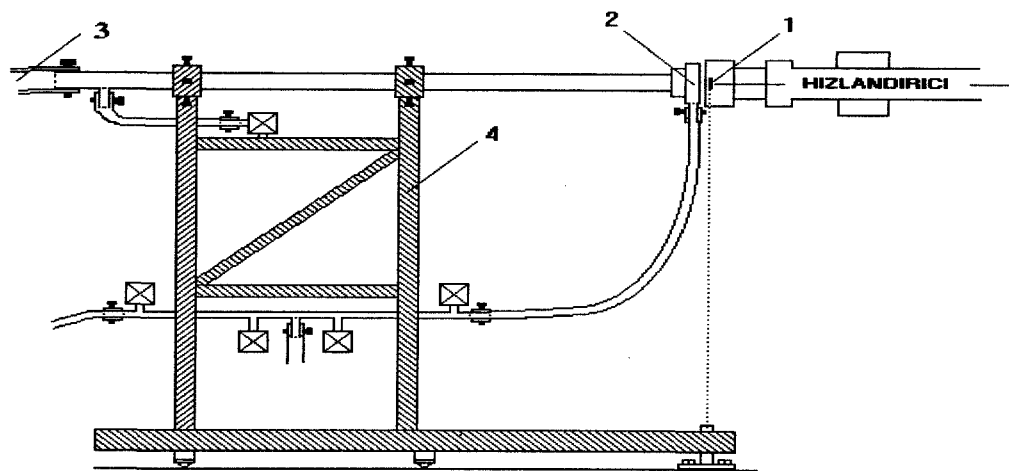
Örnek olarak,  $t_s$  süresi sonunda 400 sayım alındığı kabul edilirse  $\sqrt{N}/N = 0.05$  (transfer süresi ihmal ediliyor) iken, 0.32 saniye transfer süresi düzeltmesi yapılmış durumda  $\Delta N = 6$  için  $\sqrt{N'}/N = 0.049$  olacaktır. Sayım süresinin ve sayım değerlerinin küçük olması durumunda bu fark biraz daha büyük olurken, sayım süresi ve değerlerinin büyük olması durumunda da etkisi ihmal edilebilir hale gelmektedir .

## 5. DENEY SONUÇLARI

Çalışmada kullanılan toz halindeki örnekler bir kalıp içinde preslenerek tablet haline getirilmiş ve boyutlarına uygun polietilen kapsüller içine sıkıca yerleştirilerek hazırlanmıştır. Bu şekilde hazırlanan Örnekler onlara ait bilgiler Çizelge 5.1'de verilmektedir. Hazırlanan örnekler, deneysel çalışma sırasında, pnömatik transfer sistemi vasıtasiyla TiT- hedefin hemen arkasında (0.5 mm) 0° ışınlama konumuna getirilmiş (Şekil 5.1), 250 kV terminal voltajında hızlandırılarak elde edilen ~14 MeV nötronlarla ışınlanmıştır. Işınlama sonrası yine pnömatik transfer sistemi ile ~0.6 saniyelik bir sürede HPGe dedektörünün önüne, ölçme konumuna ( Şekil 5.2) getirilmiş ve sayım işlemi başlatılmıştır. Ölü zaman ve darbe yığılımı düzeltmelerinde kullanılan Pulser 50 darbe/sn (50 Hz) olarak ayarlanmıştır

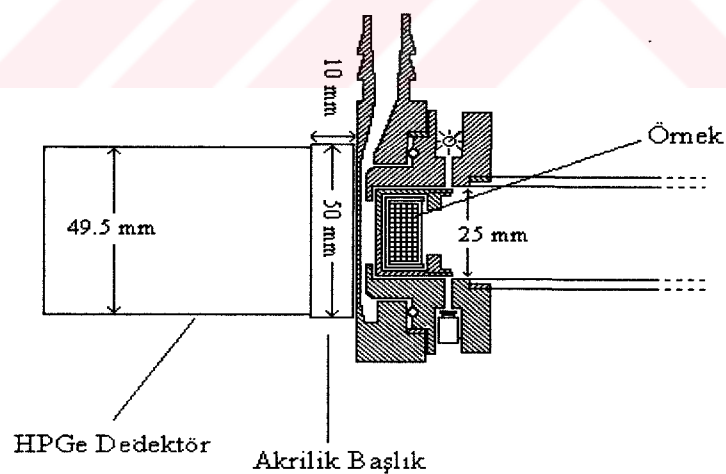
Çizelge 5.1 Deneysel çalışmalarda radyoaktif çekirdek üretmek için kullanılan malzemeler.

Malzeme	%Saflığı	Miktari (gr)	Presleme Basıncı (kg/cm <sup>2</sup> )	Tablet Boyutu Çap(mm) x kalınlık(mm)	Tablet Yoğunluğu (gr/cm <sup>3</sup> )
<b>Mo<sub>2</sub>O<sub>3</sub></b> (Molibden Oksit)	99.9	6.038	5	24 x 18	0.7418
<b>Ge</b> (Germanyum)	99.999	2.258	20	13 x 8.5	2.0014
<b>NaF</b> (Sodyum Flörür)	99.98	2.619	20	13 x 8.5	2.3213
<b>C<sub>2</sub>F<sub>4</sub></b> (Teflon)	99.99	3.9411	-----	13 x 8.5	3.4932
<b>TiO<sub>2</sub></b> (Titan Oksit)	99.9	1.830	10	13 x 8.5	1.6220
<b>Zn</b> (Çinko)	99.9	15.519	10	24 x 18	1.906



- 1- Nötron kaynağı (hedef)
- 2- İşinlama başlığı
- 3- Örnek taşıma hortumu
- 4- Tespit ayağı

Şekil 5.1 Sames T-400 hızlandırıcısında örnek işinlama geometrisi.



Şekil 5.2 HPGe dedektörü ve örnek sayım geometrisi

Deneysel çalışmalar sırasında , her sayım süresi sonunda, MCB (Multi Channel Buffer) hafızasında toplanan çalışılan örnek ile ilgili veriler (gama+pulser verileri) Ek -2 de verilen kontrol programı kullanılarak, bilgisayar hafızasına aktarılmıştır. Hemen arkasından yine bu program tarafından MCB'nin hafızası silinerek bir sonraki sayım işlemine başlaması sağlanmıştır. Bu işlem program tarafından her deney için aralıksız 22 kez tekrar ettirilmiştir. İşlem sonrası bilgisayar hafızasında toplanan gama ve pulser' e ait spektrumlar ( veriler) program tarafından isim ve numara verilerek ( örneğin Çinko örneği ile çalışmada, gama verileri için Zn01,Zn02,...,pulser verileri için Znp01,Znp02,... gibi) bilgisayarın sabit diskine aktarılmıştır.

Her bir deney sonunda ilk olarak alınan spektrum ve o spektruma ait veriler ile Bölüm 2.5' de verilen eşitlik (2.12) kullanılarak ışınlama sırasındaki nötron akısı ~%1.6 belirsizlikle hesaplanmıştır. Işınlama nötron akısı hesaplamaları Ek -3 de verilen program kullanılarak yapılmıştır. Bu şekilde ışınlama sırasındaki nötron akısı hakkında bilgi sahibi olunması sağlanmıştır.

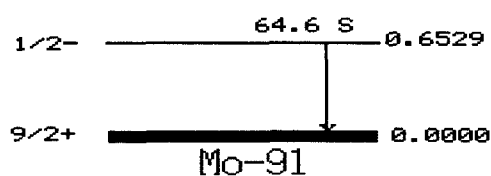
Her bir deneyde elde edilen gama ve pulser spektrumlarından tüm enerji tepesi ve pulser tepesi alanları belirlenmiştir. Pulser tepesi alanı kullanılarak, sayım sisteminin ölü zamanı ve darbe yığılımı katkıları belirlenmiş ve tüm enerji tepesinde, compton bölgesi katkısı, ölü zaman ve darbe yılığımı düzeltmeleri yapılarak net sayımlar bulunmuştur. Elde edilen sayım değerleri üzerindeki belirsizlikler Bölüm 2.6.3' de anlatıldığı gibi hesaplanmıştır.

Elde edilen sayım değerlerinden Ek-1 de anlatılan En Küçük Kareler yöntemi kullanılarak uyum fonksiyonunun parametreleri belirlenmiştir. Uyum parametreleri Bölüm 2.7' de bahsedilen  $\chi^2$ -Testi ile optimize edilmiştir. Parametrelerin optimizasyon işlemi için yazılan program Ek-4 de verilmektedir. Optimizasyon işlemi , uyum fonksiyonunda bulunan iki parametrenin ( $N_0$  ve  $\lambda$ ), en küçük kareler yöntemi ile bulanan değerlerinin - %10 altı ile %10 üstü bir aralığta, yaklaşık %0.0001 adım sayısı ile, sayım-uyum değerlerini minimum yapan (minimum  $\chi^2$  değeri) parametre değerleri bulunacak şekilde yapılmıştır. Bu şekilde elde edilen yeni uyum parametrelerinden yarılanma süreleri hesaplanmıştır.

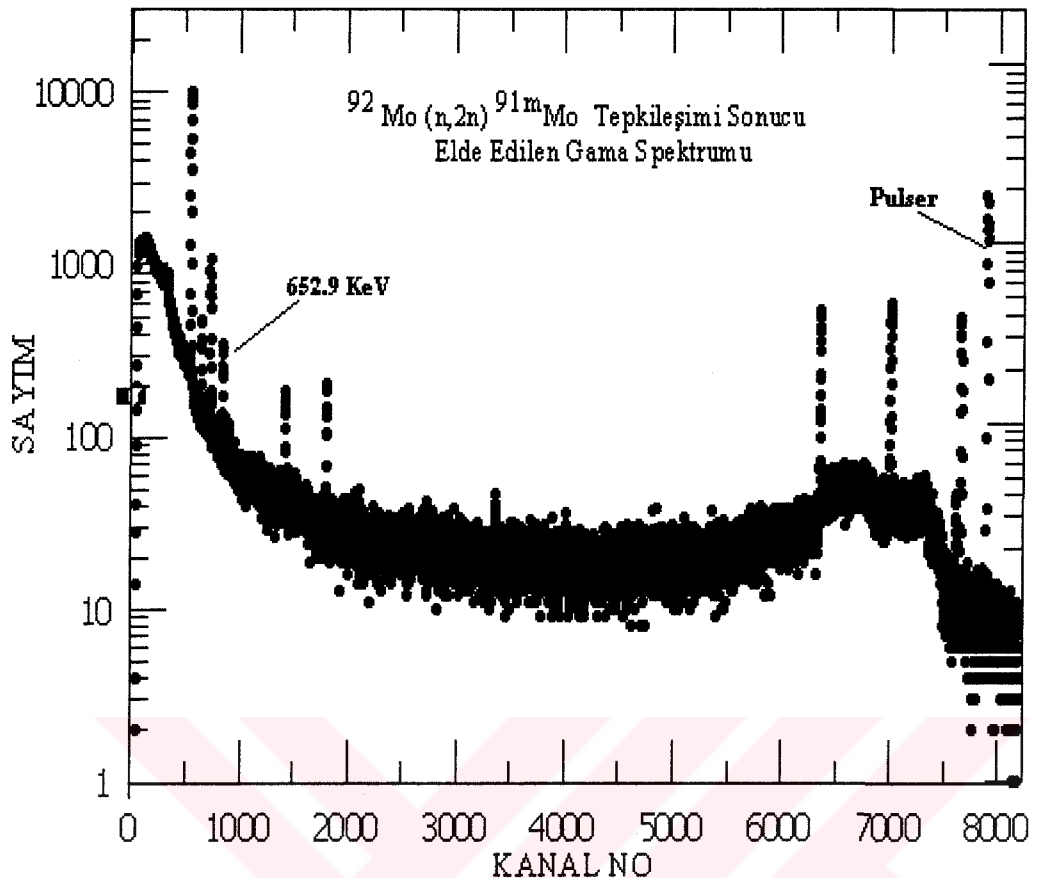
## 5.1 $^{91m}$ Mo Çekirdeğinin Yarılanma Süresi

$^{92}\text{Mo}(n,2n)^{91m}\text{Mo}$  tepkileşimi için kullanılan  $\text{Mo}_2\text{O}_3$  (Çizelge 5.1) malzemesi içindeki  $^{92}\text{Mo}$ 'nin izotopik bolluğu %9.55, tepkileşiminin Q-değeri 14 MeV nötronlar için 12.83 MeV ve tepkileşim tesir kesiti  $\sigma(14 \text{ MeV}) = 151 \text{ mbarn}$  dir. Örnek 300 sn ışınlandıktan hemen sonra pnömatik transfer sistemi ile 0.56 sn 'de HPGe dedektörünün önüne getirilmiş ve ölçüm işlemi başlatılmıştır. HPGe (82 cc) dedektörünün 652.9 KeV gama ışınları için TET verimi  $\epsilon_{eff}(652.9) = 0.222$  dir. Ölçüm sırasında örnek merkezi – dedektör kristal arasındaki mesafe 22.5 mm ve sayım katı açısı  $\Omega = 2.051$  dir.

$^{91m}\text{Mo}$  çekirdeğinin yarılanma süresinin belirlenmesi için, izomerik geçişten meydana gelen %48.2 bollukta 652.9 KeV'lik gama ışınlarına ait (Şekil 5.3) tüm enerji tepesi (Şekil 5.4) kullanılarak, sayım süresi 21.5 sn ( $\sim T_{1/2} / 3$ ) olan toplam 22 adet gama spektrumu ard arda alınmıştır. Ölü zaman ve darbe yiğilimi düzeltmeleri için pulser tepesi 7834 nolu kanalda oluşacak şekilde pulser kazanç ayarı yapılmıştır. Sayım İşlem sonrası bilgisayar hafızasında toplanan gama ve pulser'e ait spektrumlar, Kontrol programı tarafından isimlendirilerek (dosya adı verilerek) bilgisayarın sabit diskine aktarılmıştır. Spektrumların MCB hafızasında bilgisayar hafızasına transfer süresi, kontrol programının oluşturduğu işlem dosyasından  $0.285 \pm 0.002$  saniye olarak bulunmuştur.



Şekil 5.3  $^{92}\text{Mo}(n,2n)^{91m}\text{Mo}$  tepkileşimi sonucu izomerik geçişten meydana gelen 652.9 KeV gama ışınları.



Şekil 5.4  $^{92}\text{Mo}(n,2n)^{91\text{m}}\text{Mo}$  tepkileşimi sonucu elde edilen gama spektrumu.

Yapılan üç deney (Çizelge 5.2) sonunda bulunan yarılanma süreleri Çizelge 5.3'de verilmektedir. Belirlediğimiz yarılanma sürelerinin ağırlıklı ortalaması alınarak ortalama yarılanma süresi bulunmuştur. Bulunan değer, önceki çalışmalar ve nükleer veri kaynaklarındaki değerler ile karşılaştırmak amacıyla ayrı sütünlarda gösterilmiştir.

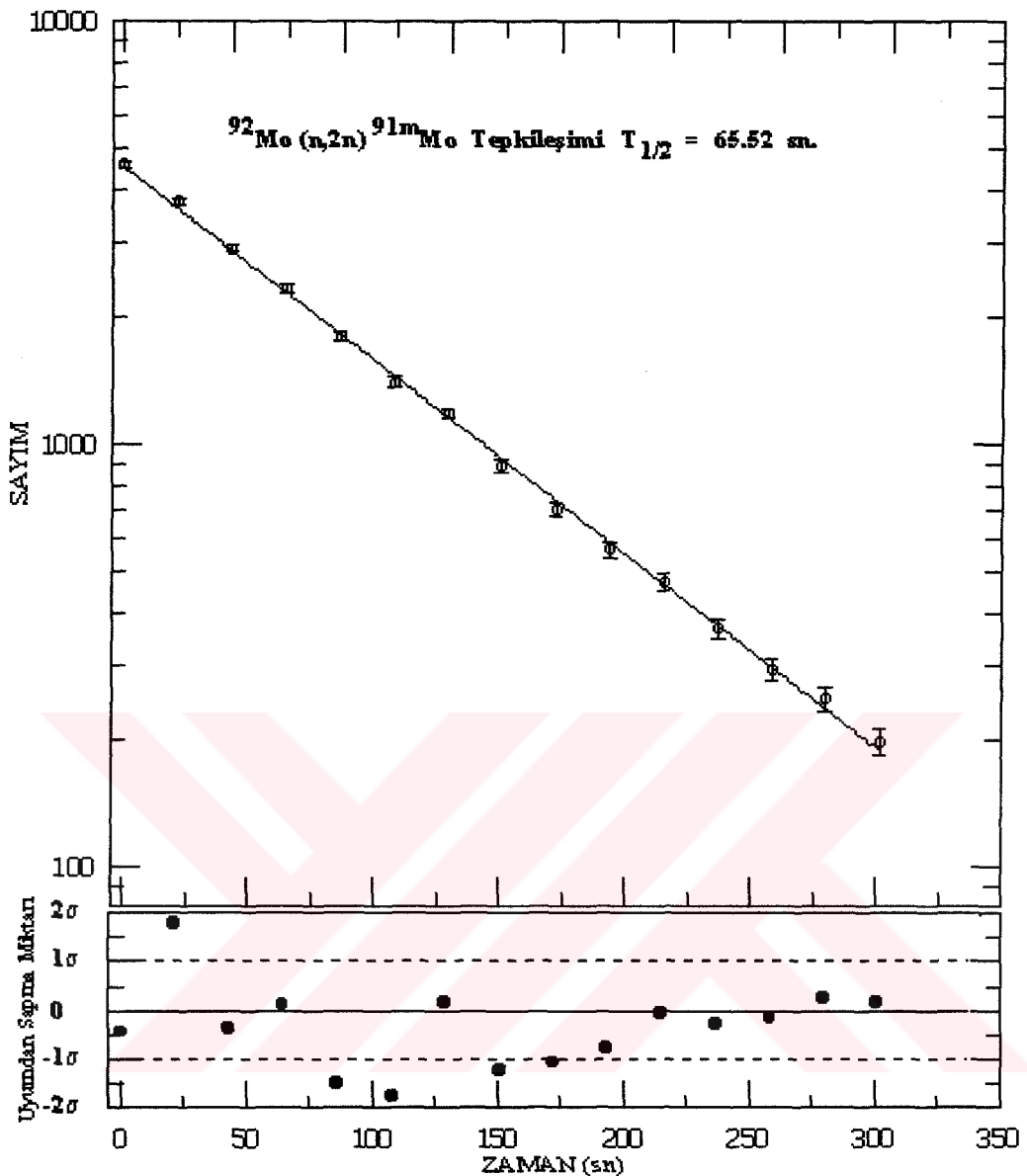
Şekil 5.5-a,b,c 'de yarılanma sürelerinin belirlendiği bozunum eğrileri , eğriler üzerine yapılan uyumlamlar ve uyumdan sapma miktarları gösterilmektedir.

Çizelge 5.2  $^{92}\text{Mo}(n,2n)^{91\text{m}}\text{Mo}$  için ışınlama ve ölçüm işlemleri ile ilgili bilgiler.

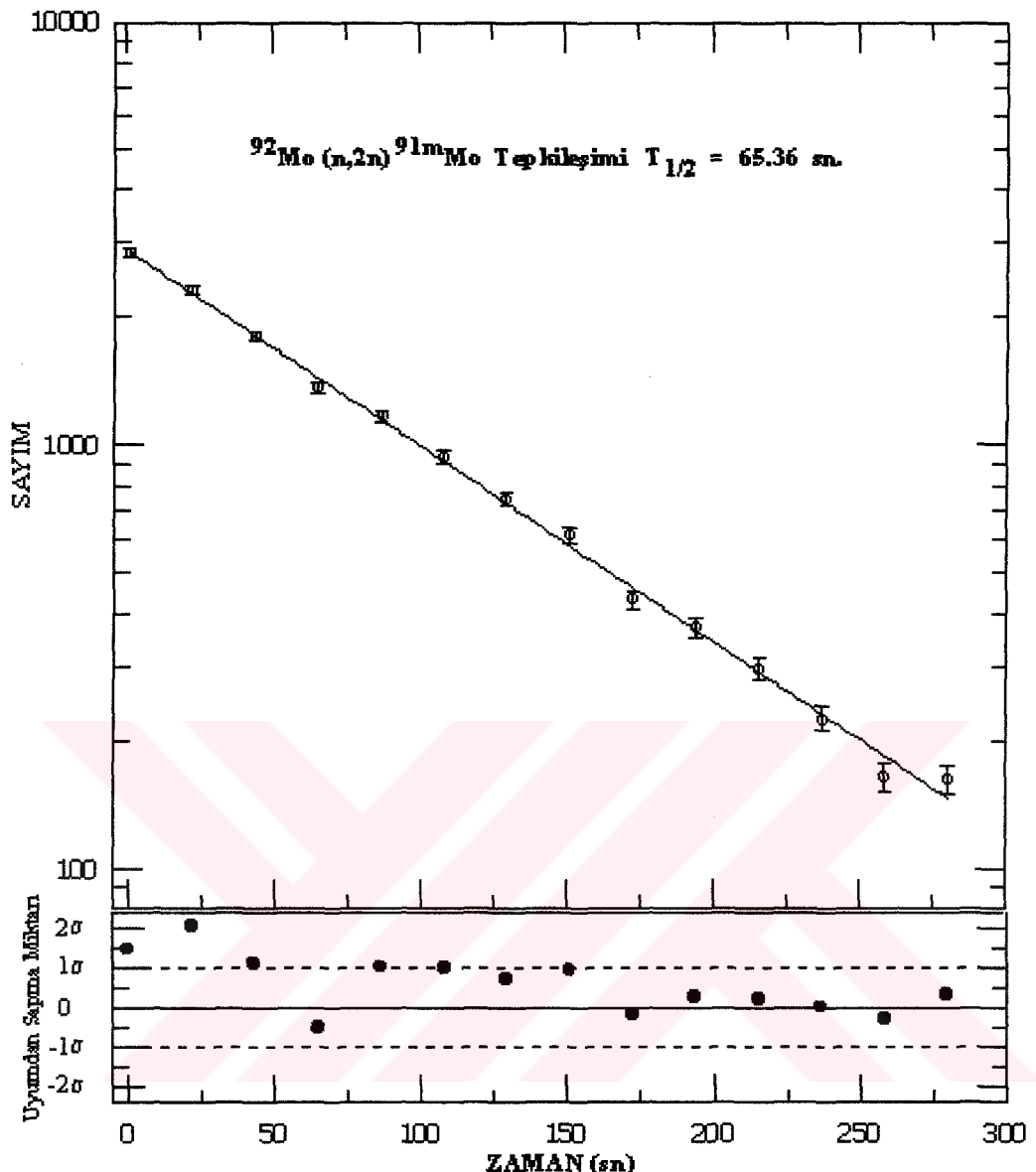
	Deney 1	Deney 2	Deney 3
Nötron akısı ( $\text{n}/\text{cm}^2 \text{ sn.}$ )	$2.102 \cdot 10^7$	$1.978 \cdot 10^7$	$2.151 \cdot 10^7$
İşinlama süresi (sn.)	300	300	300
Sayma süresi (sn.)	21.5	21.5	21.5
Ahınan spektrum sayısı	22	22	22
Pulser ayarı (darbe/sn.)	50	50	50

Çizelge 5.3  $^{91\text{m}}\text{Mo}$  çekirdeğinin yarılanma süresi.

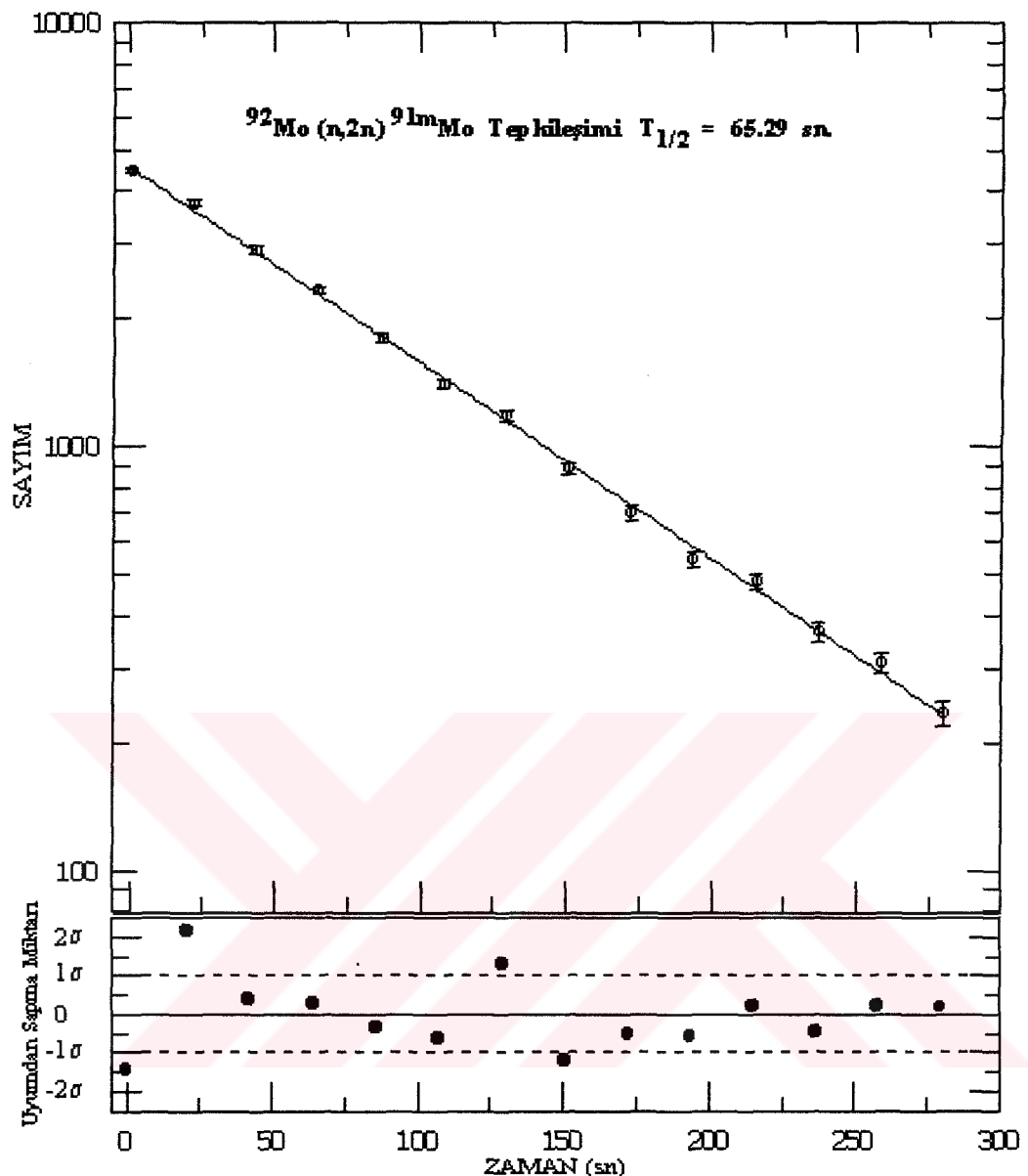
Deney No	Yarılanma Süresi	Referanslar
1	$65.52 \pm 0.50 \text{ sn}$	$62.2 \pm 0.1 \text{ sn}$ (JAERİ,1996) $65.2 \pm 0.8 \text{ sn}$ (Browne,1986)
2	$65.36 \pm 0.66 \text{ sn}$	$65.22 \pm 0.7 \text{ sn}$ (Firestone,1996) $64.6 \pm 0.7 \text{ sn}$ (Tuli,2000)
3	$65.29 \pm 0.52 \text{ sn}$	
<b>Ağırlıklı Ortalama :</b>		$65.40 \pm 0.32 \text{ sn.}$



Şekil 5.5a Deney 1 :  ${}^{91\text{m}}\text{Mo}$  izotopunun yarılanma süresi ölçümlerinin grafiksel gösterimi (uyum parametreleri:  $N_0=4614$ ,  $\lambda=0.010576$ , uyumun ortalama standart hatası  $\sigma = 40.66$ ).



Şekil 5.5b Deney 2 :  ${}^{91\text{m}}\text{Mo}$  izotopunun yarılanma süresi ölçümlerinin grafiksel gösterimi (uyum parametreleri:  $N_0=2760$ ,  $\lambda=0.010609$ , uyumun ortalama standart hatalı  $\sigma = 56.16$ ).

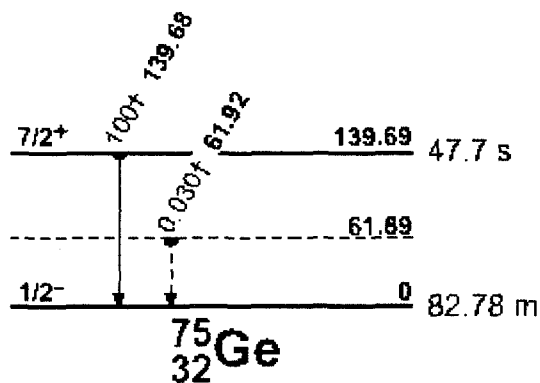


Şekil 5.5c Deney 3 :  $^{91\text{m}}\text{Mo}$  izotopunun yarılanma süresi ölçümlerinin grafiksel gösterimi (uyum parametreleri:  $N_0=4532$ ,  $\lambda=0.0106137$ , uyumun ortalama standart hatası  $\sigma=41.07$ ).

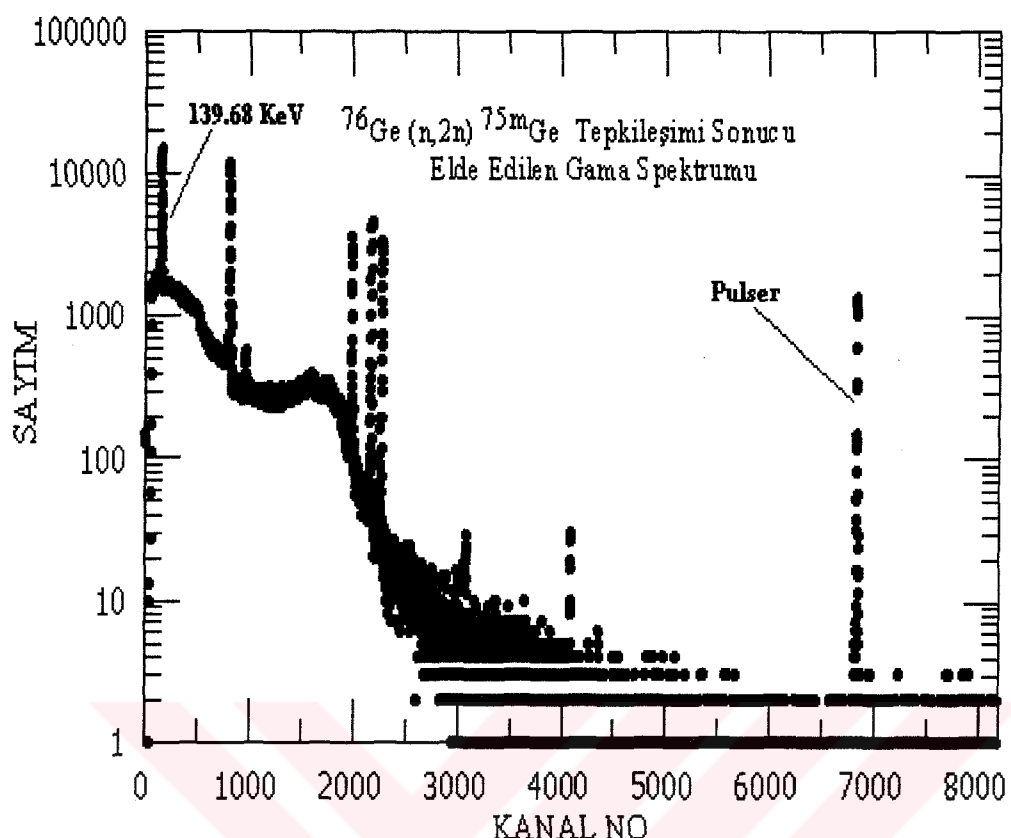
## 5.2 $^{75m}$ Ge Çekirdeğinin Yarılanma Süresi

$^{76}\text{Ge}(n,2n)^{75m}\text{Ge}$  tepkileşimi için kullanılan Ge (Çizelge 5.1) malzemesi içindeki  $^{76}\text{Ge}$ 'nin izotopik bolluğu %7.8, tepkileşiminin Q-değeri 14 MeV nötronlar için 9.567 MeV ve tepkileşim tesir kesiti  $\sigma(14 \text{ MeV}) = 970 \text{ mbarn}$  dir. Örnek 240 sn ışınlandıktan hemen sonra pnömatik transfer sistemi ile 0.52 sn 'de HPGe dedektörünün önüne getirilmiş ve ölçüm işlemi başlatılmıştır. HPGe (82 cc) dedektörünün 139.68 KeV gama ışınları için TET verimi  $\epsilon_{\text{eff}}(139.68) = 0.793$  dür. Ölçüm sırasında örnek merkezi – dedektör kristal arasındaki mesafe 18.5 mm ve sayım katı açısı  $\Omega = 2.546$  dir.

$^{75m}\text{Ge}$  çekirdeğinin yarılanma süresinin belirlenmesi için, izomerik geçişten meydana gelen %38.8 bollukta 139.68 KeV'lik gama ışınlarına ait (Şekil 5.6) tüm enerji tepesi (Şekil 5.7) kullanılarak, sayım süresi 15.7 sn ( $\sim T_{1/2} / 3$ ) olan toplam 22 adet gama spektrumu ard arda alınmıştır. Ölü zaman ve darbe yüksılımı düzeltmeleri için pulser tepesi 6854 nolu kanalda olusacak şekilde pulser kazanç ayarı yapılmıştır. Sayım İşlem sonrası bilgisayar hafızasında toplanan gama ve pulser'e ait spektrumlar, Kontrol programı tarafından isimlendirilerek (dosya adı verilerek) bilgisayarın sabit diskine aktarılmıştır. Spektrumların Ortec 919 hafızasında bilgisayar hafızasına transfer süresi, kontrol programının oluşturduğu işlem dosyasından  $0.312 \pm 0.004$  saniye olarak bulunmuştur.



Şekil 5.6  $^{76}\text{Ge}(n,2n)^{75m}\text{Ge}$  tepkileşimi sonucu izomerik geçişten meydana gelen 139.68 KeV gama ışınları.



Şekil 5.7  $^{76}\text{Ge}(\text{n},2\text{n})^{75\text{m}}\text{Ge}$  tepkileşimi sonucu elde edilen gama spektrumu.

Yapılan üç deney sonunda (Çizelge 5.4) bulunan yarılanma süreleri Çizelge 5.5 de verilmektedir. Belirlediğimiz yarılanma sürelerinin ağırlıklı ortalaması alınarak ortalama yarılanma süresi bulunmuştur. Bulunan değer, önceki çalışmalar ve nükleer veri kaynaklarındaki değerler ile karşılaştırmak amacıyla ayrı sütunlar halinde verilmiştir.

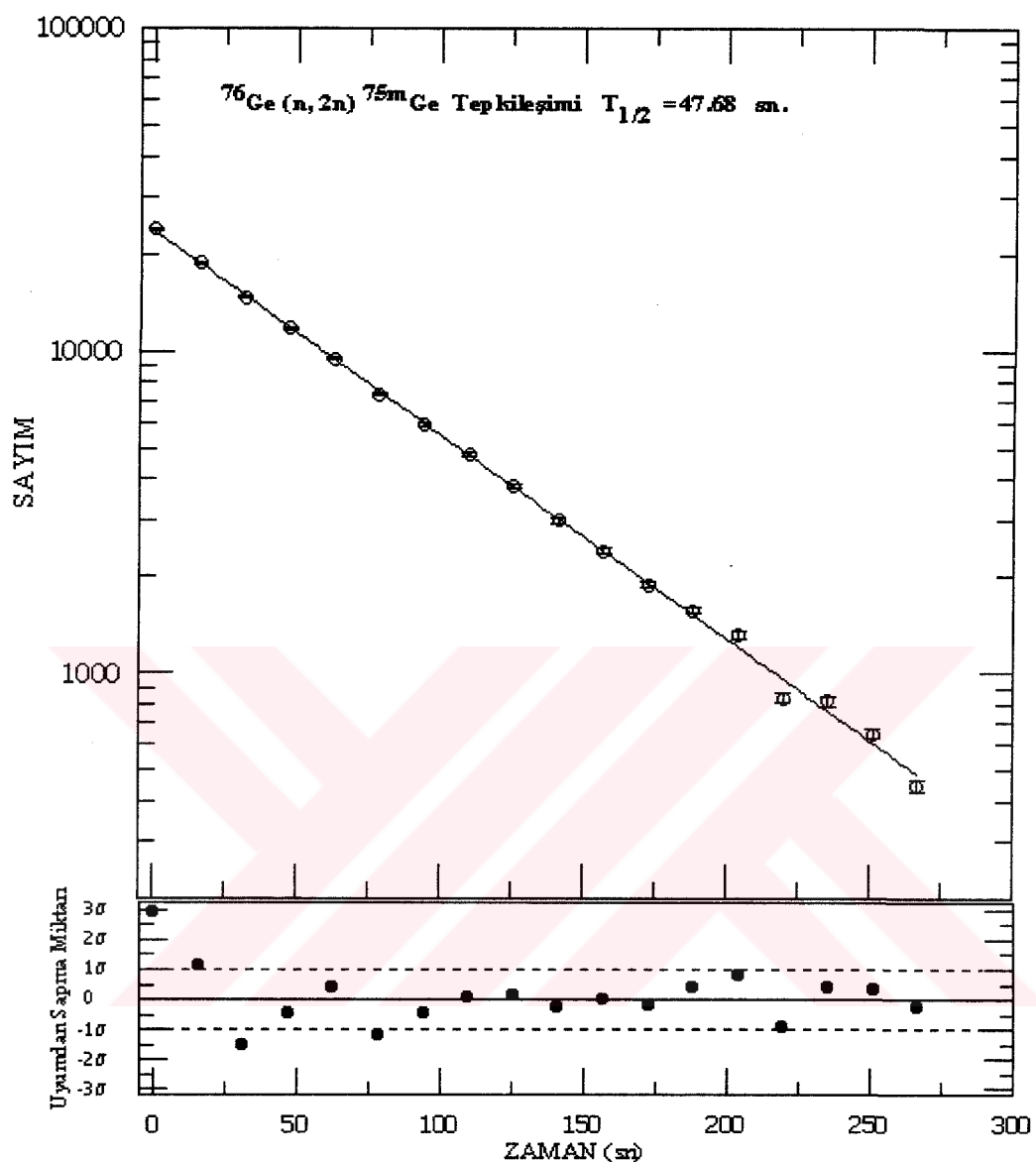
Şekil 5.8-a,b,c 'de yarılanma sürelerinin belirlendiği bozunum eğrileri , eğriler üzerine yapılan uyumlamlar ve uyumdan sapma miktarları gösterilmektedir.

Çizelge 5.4  $^{76}\text{Ge}(n,2n)^{75m}\text{Ge}$  için ışınlama ve ölçüm işlemleri ile ilgili bilgiler.

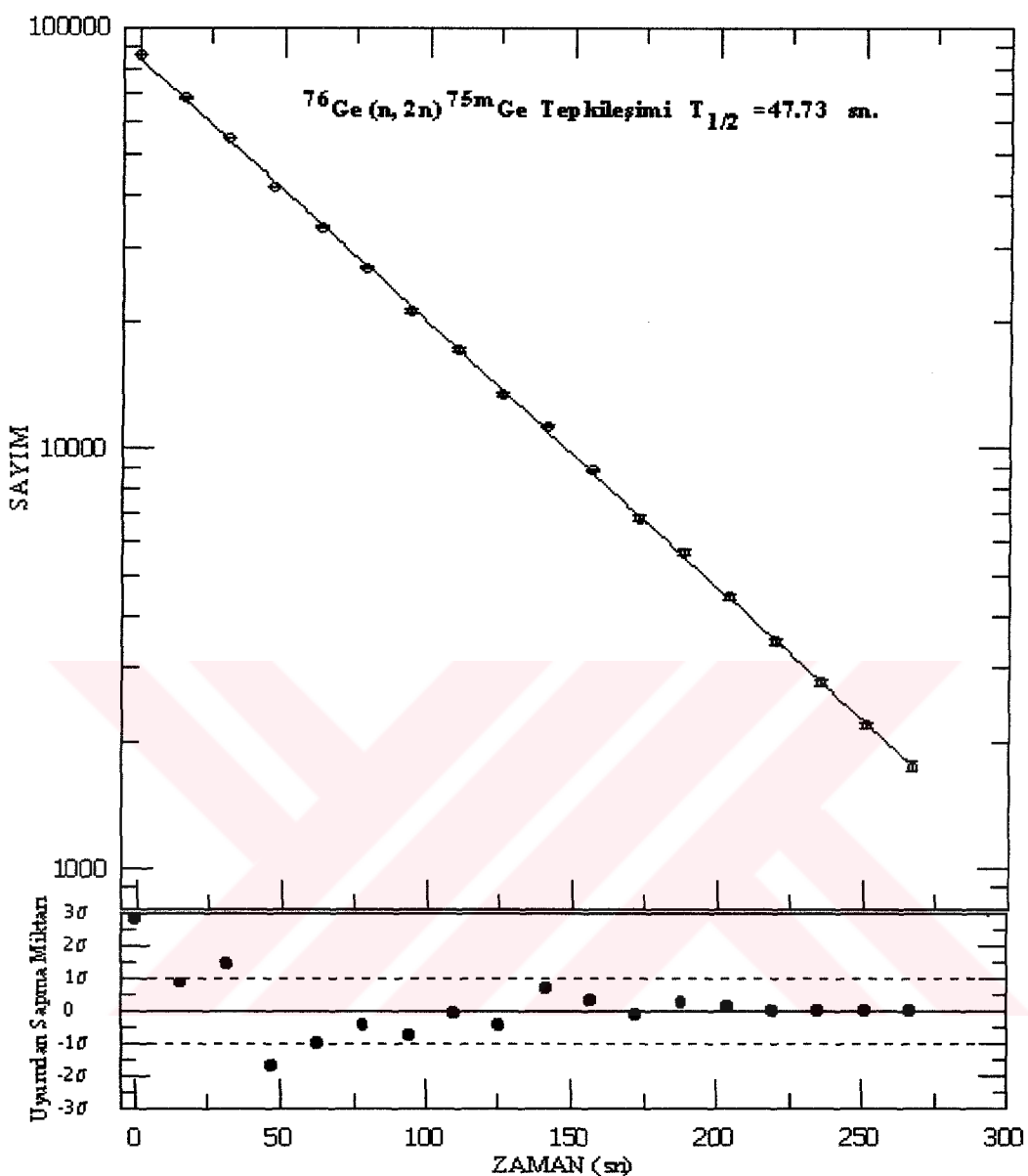
	Deney 1	Deney 2	Deney 3
Nötron akısı ( $\text{n/cm}^2 \text{ sn.}$ )	$1.879 \cdot 10^7$	$2.216 \cdot 10^7$	$2.182 \cdot 10^7$
İşinlama süresi (sn.)	240	240	240
Sayma süresi (sn.)	15.7	15.7	15.7
Alınan spektrum sayısı	22	22	22
Pulser ayarı (darbe/sn.)	50	50	50

Çizelge 5.5  $^{75m}\text{Ge}$  çekirdeğinin yarılanma süresi.

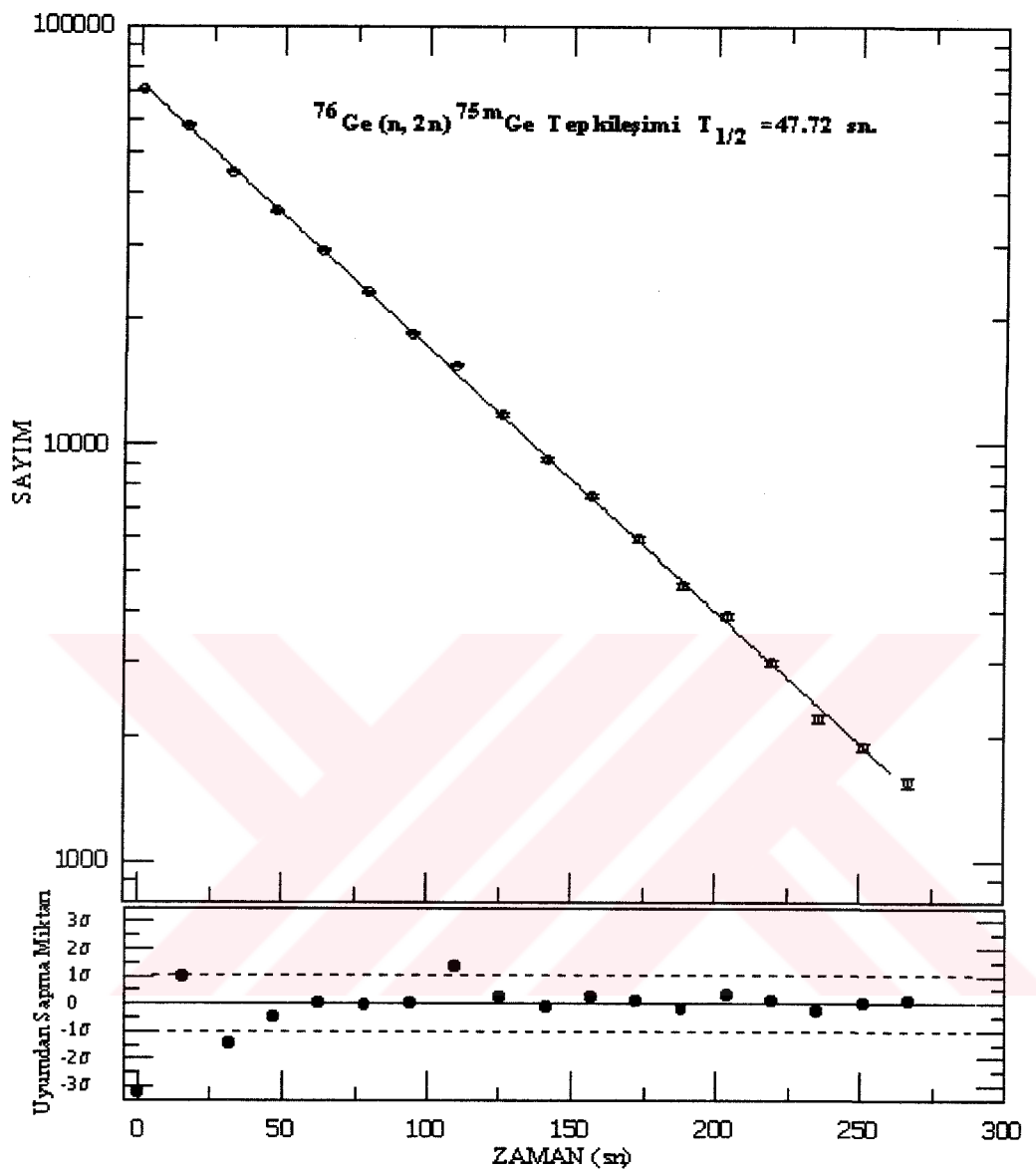
Deney No	Yarılanma Süresi	Referanslar
1	$47.68 \pm 0.08 \text{ sn}$	$47.7 \pm 0.50 \text{ sn}$ (Tuli,2000) $47.7 \pm 0.50 \text{ sn}$ (Firestone,1996)
2	$47.73 \pm 0.03 \text{ sn}$	$47.29 \pm 0.12 \text{ sn}$ (JAERI,1997) $47.7 \pm 0.7 \text{ sn}$ (Browne,1986)
3	$47.73 \pm 0.02 \text{ sn}$	
Ağırlıklı Ortalama :		$47.73 \pm 0.02 \text{ sn.}$



Şekil 5.8a Deney 1 :  $^{75\text{m}}\text{Ge}$  izotopunun yarılanma süresi ölçümlerinin grafik gösterimi.  
Uyum parametreleri:  $N_0=23412$ ,  $\lambda=0.014532$ , uyumun ortalama standart hatası  $\sigma = 133.22$ .



Şekil 5.8b Deney 3 :  ${}^{75\text{m}}\text{Ge}$  izotopunun yarılanma süresi ölçümlerinin grafik gösterimi.  
Uyum parametreleri :  $N_0=84976$ ,  $\lambda=0.0145181$ , uyumun ortalama standart hatası  $\sigma = 569.93$ .

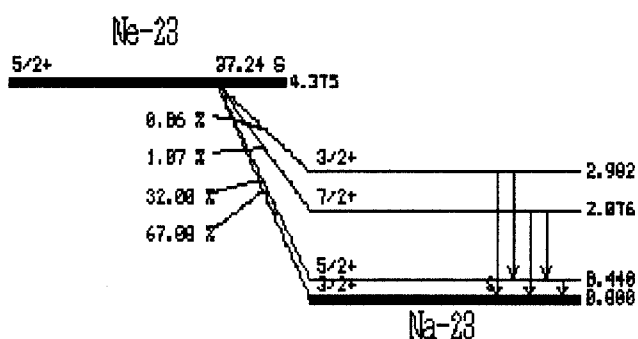


Şekil 5.8c Deney 3 :  $^{75m}\text{Ge}$  izotopunun yarılanma süresi ölçümlerinin grafik gösterimi  
Uyum parametreleri :  $N_0=72277$ ,  $\lambda=0.0145197$ , uyumun ortalama standart hatası  $\sigma = 563.51$

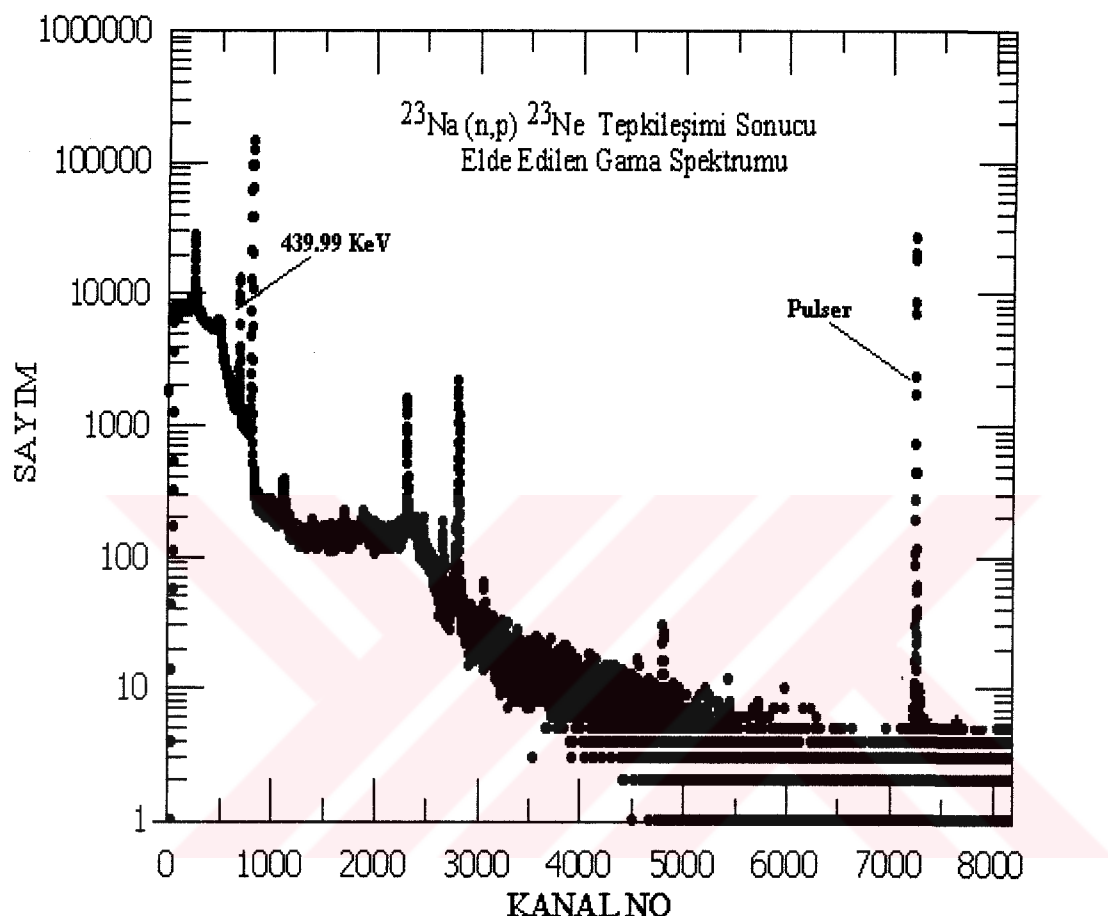
### 5.3 $^{23}\text{Ne}$ Çekirdeğinin Yarılanma Süresi

$^{23}\text{Na}(\text{n},\text{p})^{23}\text{Ne}$  tepkileşimi için kullanılan  $\text{NaF}$  (Çizelge 5.1) malzemesi içindeki  $^{23}\text{Na}$ 'nin izotopik bolluğu %100, tepkileşiminin Q-değeri 14 MeV nötronlar için 3.754 MeV ve tepkileşim tesir kesiti  $\sigma$  (14 MeV) = 34 mbarn dır. Örnek 240 sn ışınlandıktan hemen sonra pnömatik transfer sistemi ile 0.61 sn 'de HPGe dedektörünün önüne getirilmiş ve ölçüm işlemi başlatılmıştır. HPGe (82 cc) dedektörünün 439.99 KeV gama ışınları için TET verimi  $\varepsilon_{\text{eff}}$  (439.99) = 0.324 dır. Ölçüm sırasında örnek merkezi – dedektör kristal arasındaki mesafe 18.5 mm ve sayım katı açısı  $\Omega$  = 2.546 dır.

$^{23}\text{Ne}$  izotopunun yarılanma süresinin belirlenmesi için,  $^{23}\text{Ne}$ 'nin bozunumunda meydana gelen %32.9. bollukta 439.99 KeV'lik gama ışınlarına ait (Şekil 5.9) tüm enerji tepesi (Şekil 5.10) kullanılarak, sayım süresi 12.5 sn ( $\sim T_{1/2} / 3$ ) olan toplam 22 adet gama spektrumu ard arda alınmıştır. Ölü zaman ve darbe yığılımı düzeltmeleri için pulser tepesi 7196 nolu kanalda oluşacak şekilde pulser kazanç ayarı yapılmıştır. Sayım İşlem sonrası bilgisayar hafızasında toplanan gama ve pulser'e ait spektrumlar, Kontrol programı tarafından isimlendirilerek (dosya adı verilerek) bilgisayarın sabit diskine aktarılmıştır. Spektrumların Ortec 919 hafızasında bilgisayar hafızasına transfer süresi, kontrol programının oluşturduğu işlem dosyasından  $0.0297 \pm 0.001$  saniye olarak bulunmuştur.



Şekil 5.9  $^{23}\text{Na}(\text{n},\text{p})^{23}\text{Ne}$  tepkileşimi sonucu oluşan gama ışınları.



Şekil 5.10  $^{23}\text{Na}(\text{n},\text{p})^{23}\text{Ne}$  tepkileşimi sonucu elde edilen gama spektrumu.

Yapılan üç deney sonunda (Çizelge 5.6) bulunan yarılanma süreleri Çizelge 5.7’ de verilmektedir. Belirlediğimiz yarılanma sürelerinin ağırlıklı ortalaması alınarak ortalama yarılanma süresi bulunmuştur. Bulunan değer, önceki çalışmalar ve nükleer veri kaynaklarındaki değerler ile karşılaştırmak amacıyla ayrı sütunlar halinde verilmiştir.

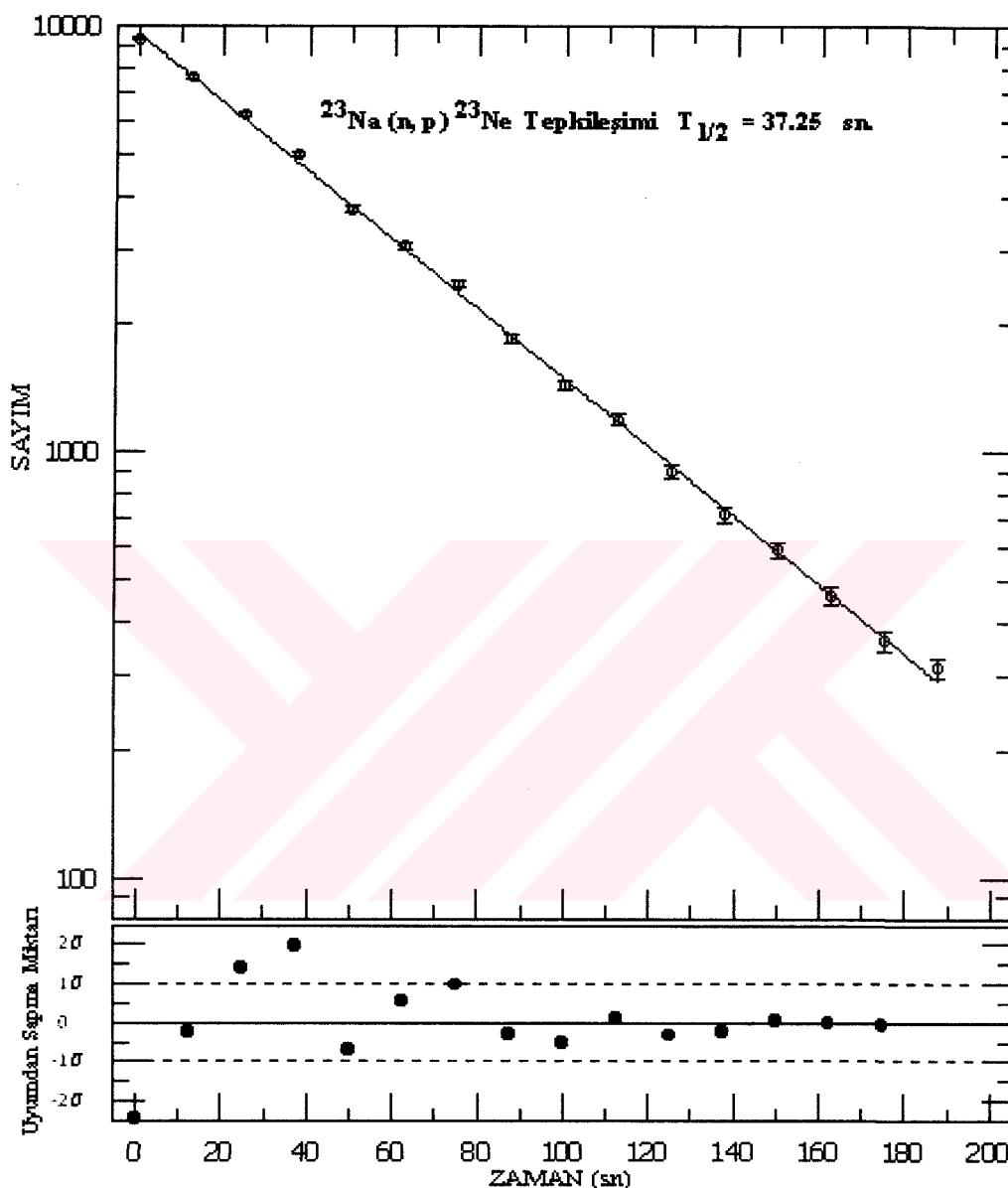
Şekil 5.11-a,b,c ‘de yarılanma sürelerinin belirlendiği bozunum eğrileri , eğriler üzerine yapılan uyumlamlar ve uyumdan sapma miktarları gösterilmektedir.

Çizelge 5.6  $^{23}\text{Na}(n,p)^{23}\text{Ne}$  tepkileşimi için ışınlama ve ölçüm işlemleri ile ilgili bilgiler.

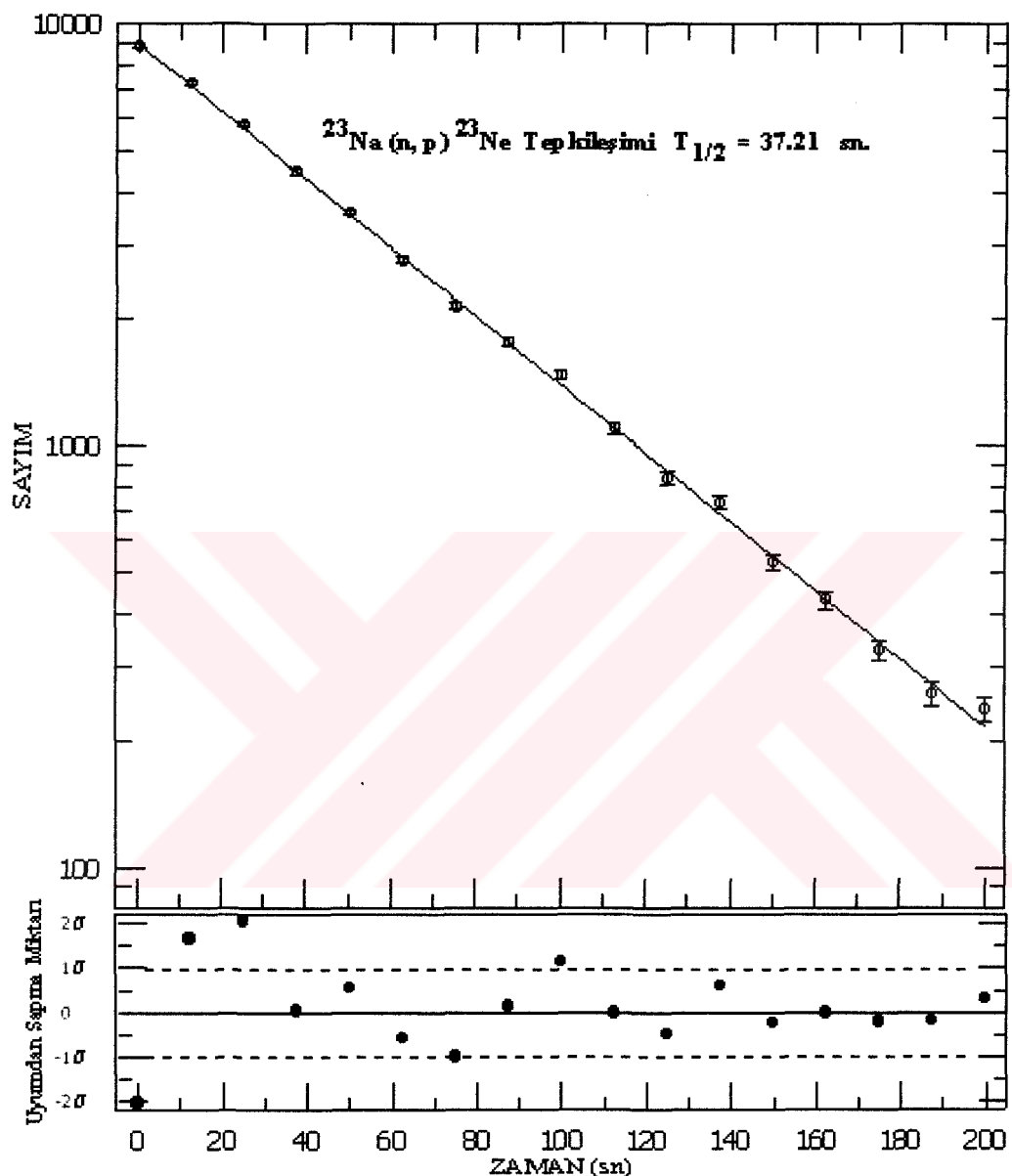
	<b>Deney 1</b>	<b>Deney 2</b>	<b>Deney 3</b>
<b>Nötron akısı (n/cm<sup>2</sup> sn.)</b>	2.230.10 <sup>7</sup>	2.100.10 <sup>7</sup>	2.212.10 <sup>7</sup>
<b>İşinlama süresi (sn.)</b>	240	240	240
<b>Sayma süresi (sn.)</b>	12.5	12.5	12.5
<b>Alınan spektrum sayısı</b>	22	22	22
<b>Pulser ayarı (darbe/sn.)</b>	50	50	50

Çizelge 5.7  $^{23}\text{Ne}$  çekirdeğinin yarılanma süresi.

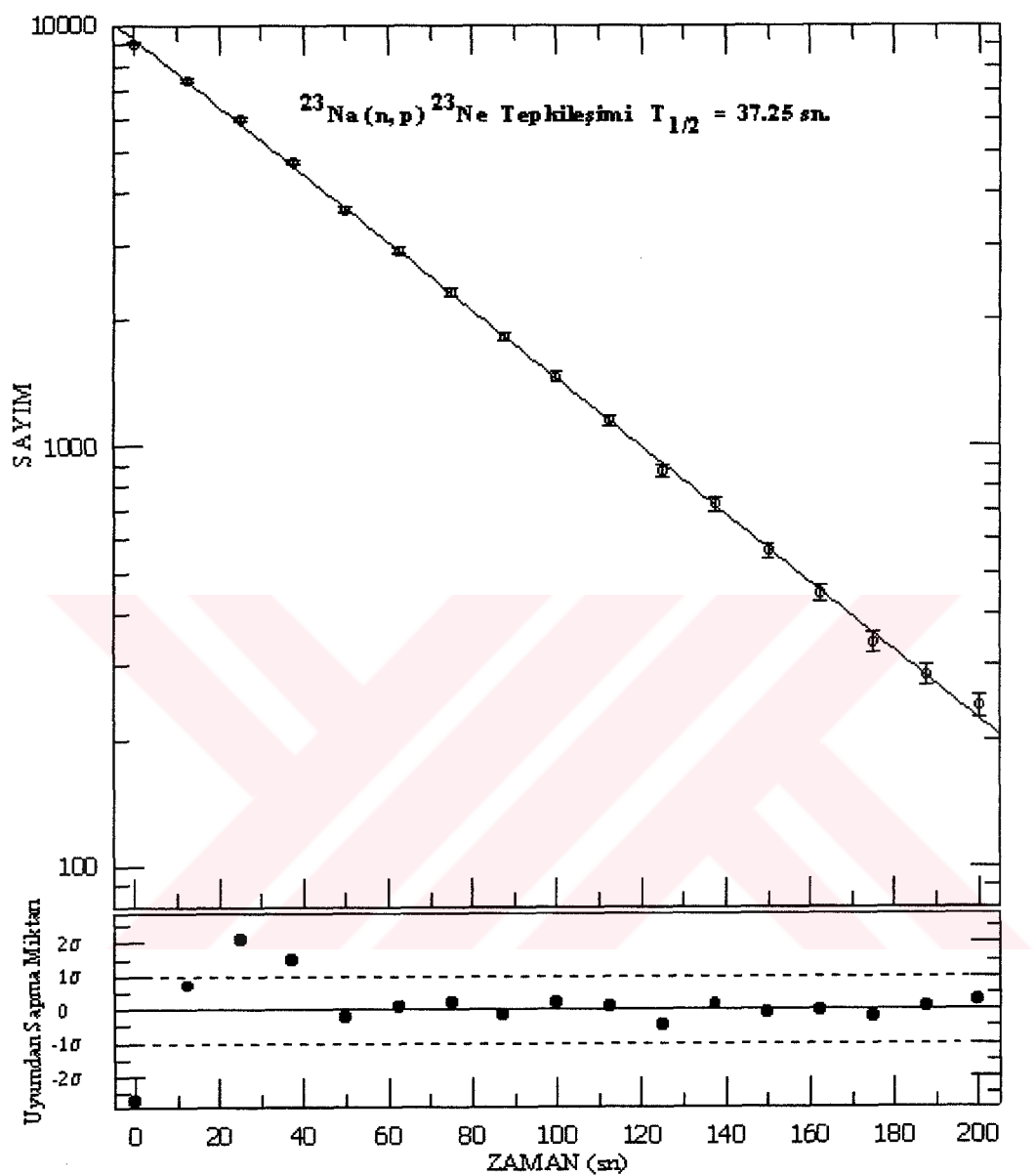
<b>Deney No</b>	<b>Yarılanma Süresi</b>	<b>Referanslar</b>
1	$37.25 \pm 0.09$ sn	$37.24 \pm 0.12$ sn. (JAERİ,1997) $37.24 \pm 0.12$ sn. (Tuli,2000)
2	$37.21 \pm 0.09$ sn	
3	$37.25 \pm 0.10$ sn	
<b>Ağırlıklı Ortalama :</b>		$37.24 \pm 0.05$ sn.



Şekil 5.11a Deney 1 :  $^{23}\text{Ne}$  izotopunun yarılanma süresi ölçümelerinin grafik gösterimi.  
Uyum parametreleri :  $N_0=9606$ ,  $\lambda=0.0186285$ , uyumun ortalama standart hattası  $\sigma = 106.05$



Şekil 5.11b Deney 2 :  $^{23}\text{Ne}$  izotopunun yarılanma süresi ölçümelerinin grafik gösterimi.  
Uyum parametreleri :  $N_0=8980$ ,  $\lambda=0.0186235$ , uyumun ortalama standart hatası  $\sigma = 73.94$

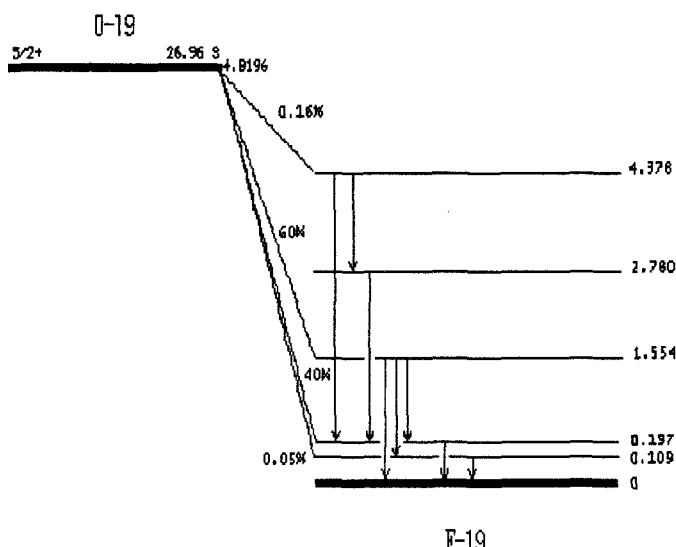


Şekil 5.11c Deney 3 :  $^{23}\text{Ne}$  izotopunun yarılanma süresi ölçümlerinin grafik gösterimi  
Uyum parametreleri :  $N_0=9288$ ,  $\lambda=0.0186275$ , uyumun ortalama standart hatası  $\sigma = 148.42$

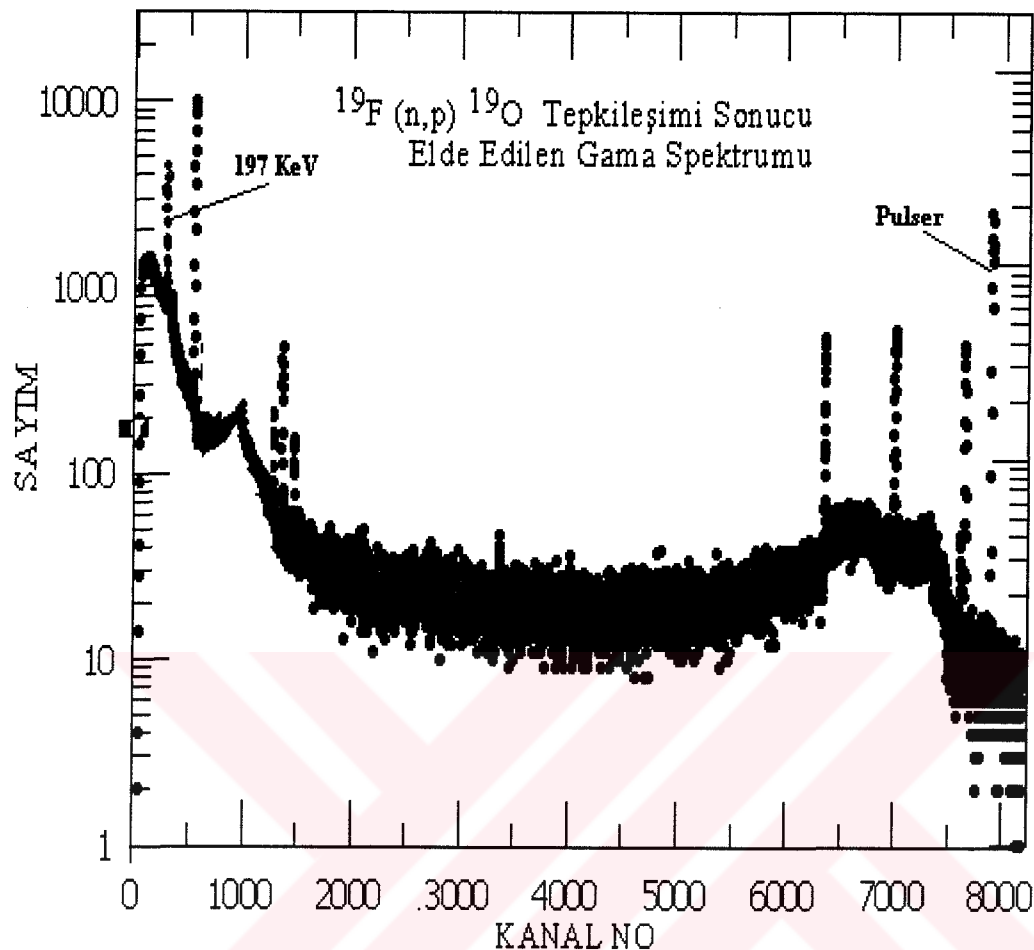
## 5.4 $^{19}\text{O}$ Çekirdeğinin Yarılanma Süresi

$^{19}\text{F}(\text{n},\text{p})^{19}\text{O}$  tepkileşimi için kullanılan  $\text{C}_2\text{F}_4$  (Çizelge 5.1) malzemesi içindeki  $^{19}\text{F}$ 'nin izotopik bolluğu %100, tepkileşiminin Q-değeri 14 MeV nötronlar için 4.25 MeV ve tepkileşim tesir kesiti  $\sigma$  (14 MeV) = 19 mbarn dir. Örnek 180 sn ışınlandıktan hemen sonra pnömatik transfer sistemi ile 0.57 sn 'de HPGe dedektörünün önüne getirilmiş ve ölçüm işlemi başlatılmıştır. HPGe (82 cc) dedektörünün 197.99 KeV gama ışınları için TET verimi  $\epsilon_{\text{eff}}$  (197) = 0.663 dür. Ölçüm sırasında örnek merkezi – dedektör kristal arasındaki mesafe 18.5 mm ve sayım katı açısı  $\Omega$  = 2.546 dir.

$^{19}\text{O}$  çekirdeğinin yarılanma süresinin belirlenmesi için,  $^{19}\text{O}$ 'nin bozunumunda meydana gelen %95.9. bollukta 197 KeV'lik gama ışınlarına ait (Şekil 5.12) tüm enerji tepesi (Şekil 5.13) kullanılarak, sayım süresi 9 sn ( $\sim T_{1/2} / 3$ ) olan toplam 22 adet gama spektrumu ard arda alınmıştır. Ölü zaman ve darbe yiğilimi düzeltmeleri için pulser tepesi 7851 nolu kanalda olusacak şekilde pulser kazanç ayarı yapılmıştır. Sayım İşlem sonrası bilgisayar hafızasında toplanan gama ve pulser'e ait spektrumlar, Kontrol programı tarafından isimlendirilerek (dosya adı verilerek) bilgisayarın sabit diskine aktarılmıştır. Spektrumların Ortec 919 hafızasında bilgisayar hafızasına transfer süresi, kontrol programının oluşturduğu işlem dosyasından  $0.0277 \pm 0.003$  saniye olarak bulunmuştur.



Şekil 5.12  $^{19}\text{F}(\text{n},\text{p})^{19}\text{O}$  tepkişelimi sonucu meydana gelen gama ışınları.



Şekil 5.13  $^{19}\text{F}(\text{n},\text{p})^{19}\text{O}$  tepkileşimi sonucu elde edilen gama spektrumu.

Yapılan üç deney sonunda (Çizelge 5.8) bulunan yarılanma süreleri Çizelge 5.9 de verilmektedir. Belirlediğimiz yarılanma sürelerinin ağırlıklı ortalaması alınarak ortalama yarılanma süresi bulunmuştur. Bulunan değer, önceki çalışmalar ve nükleer veri kaynaklarındaki değerler ile karşılaştırmak amacıyla ayrı sütunlar halinde verilmiştir.

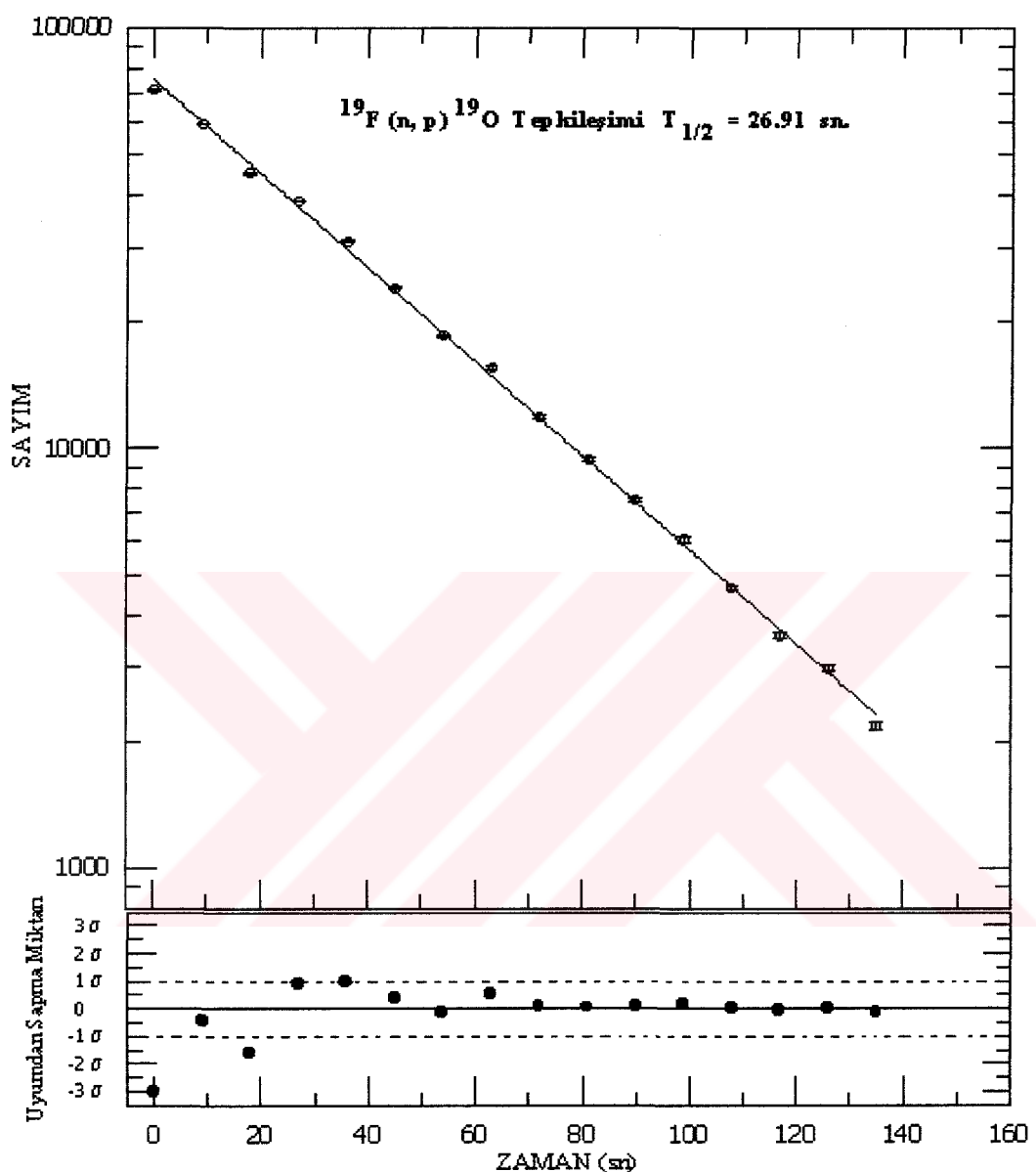
Şekil 5.14-a,b,c 'de yarılanma sürelerinin belirlendiği bozunum eğrileri , eğriler üzerine yapılan uyumlamlar ve uyumdan sapma miktarları gösterilmektedir.

Çizelge 5.8  $^{19}\text{F}(\text{n},\text{p})^{19}\text{O}$  tepkileşimi için ışınlama ve ölçüm işlemleri ile ilgili bilgiler.

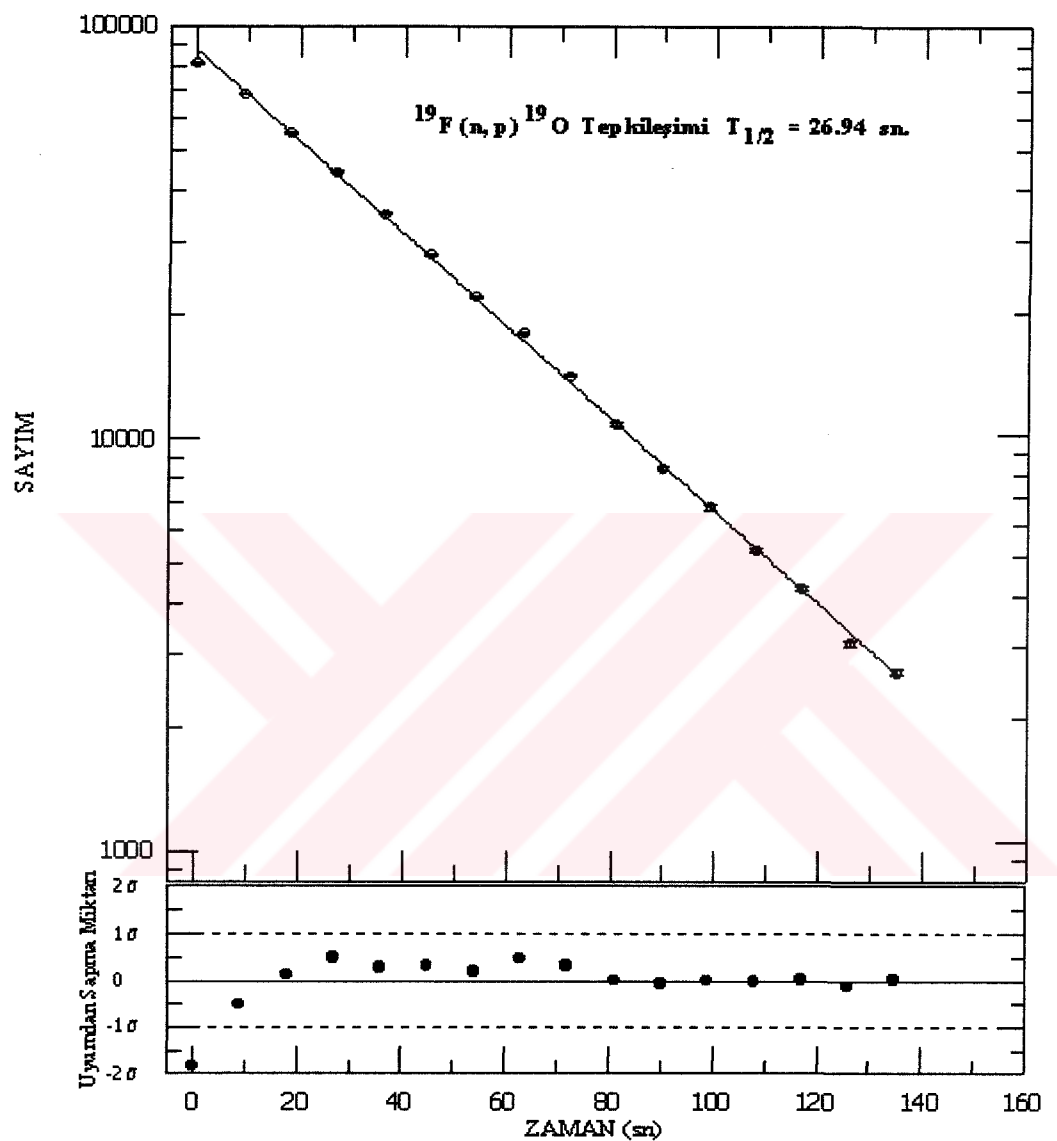
	Deney 1	Deney 2	Deney 3
Nötron akısı ( $\text{n}/\text{cm}^2 \text{ sn.}$ )	$1.890 \cdot 10^7$	$2.171 \cdot 10^7$	$2.105 \cdot 10^7$
İşinlama süresi (sn.)	180	180	180
Sayma süresi (sn.)	9	9	9
Alınan spektrum sayısı	22	22	22
Pulser ayarı (darbe/sn.)	50	50	50

Çizelge 5.9  $^{19}\text{O}$  çekirdeğinin yarılanma süresi.

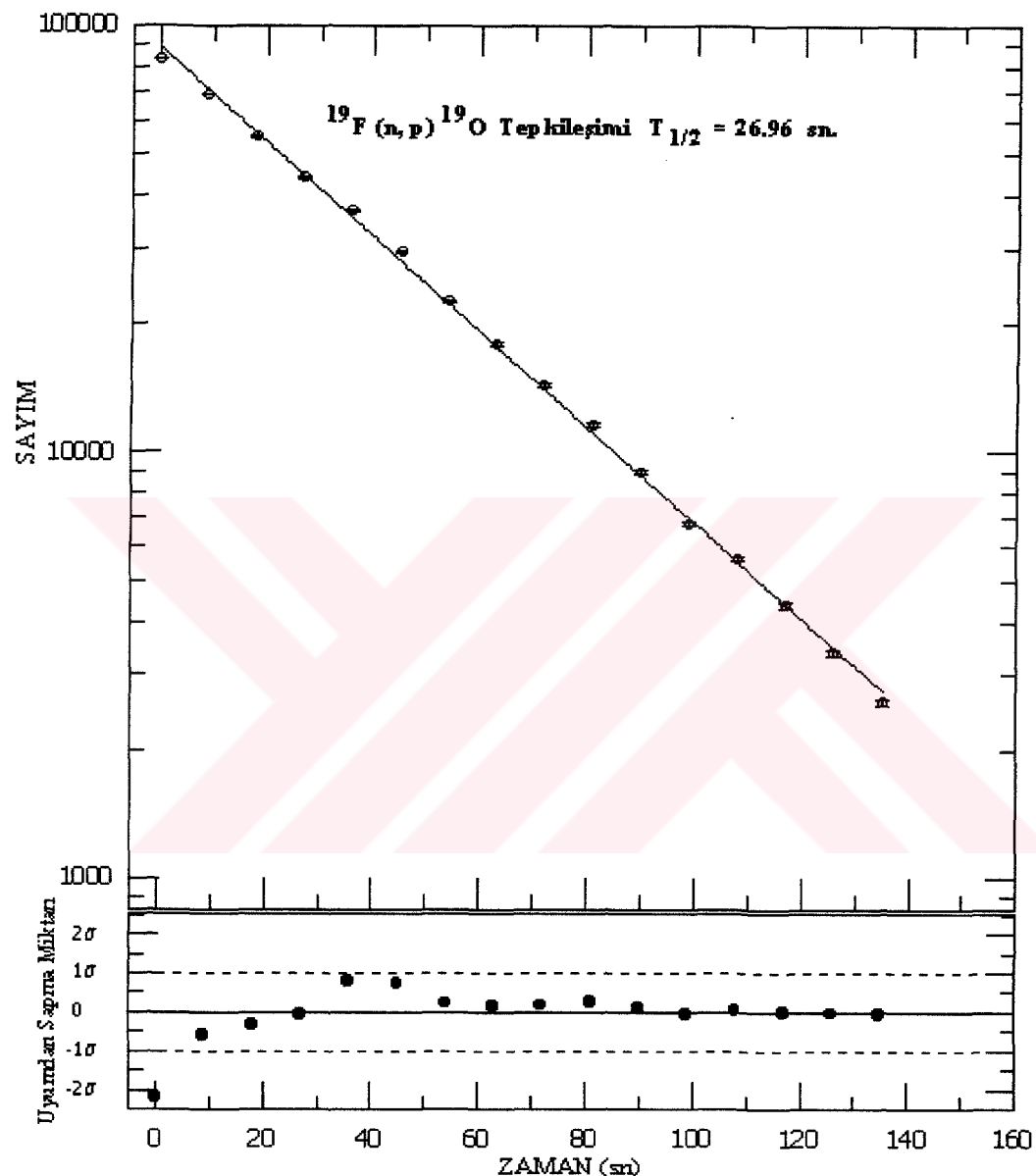
Deney No	Yarılanma Süresi	Referanslar
1	$26.91 \pm 0.026 \text{ sn}$	$26.464 \pm 0.009 \text{ sn}$ (JAERI,1995)
2	$26.94 \pm 0.019 \text{ sn}$	$26.76 \pm 0.08 \text{ sn}$ (Browne,1986)
3	$26.96 \pm 0.024 \text{ sn}$	$26.91 \pm 0.08 \text{ sn}$ (Tuli,2000)
<b>Ağırlıklı Ortalama :</b>		$26.94 \pm 0.01 \text{ sn.}$



Şekil 5.14a Deney 1 :  $^{19}\text{O}$  izotopunun yarılanma süresi ölçümelerinin grafik gösterimi.  
Uyum parametreleri :  $N_0=75240$ ,  $\lambda=0.0257482$ , uyumun ortalama standart hatası  $\sigma = 1331$ .



Şekil 5.14b Deney 2 :  $^{19}\text{O}$  izotopunun yarılanma süresi ölçümelerinin grafik gösterimi.  
Uyum parametreleri :  $N_0=87560$ ,  $\lambda=0.0257254$ , uyumun ortalama standart hatası  $\sigma = 964.82$

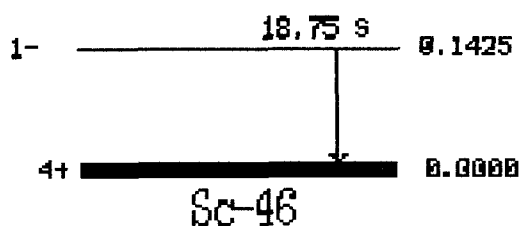


Şekil 5.14c Deney 3 :  $^{19}\text{O}$  izotopunun yarılanma süresi ölçümlerinin grafik gösterimi.  
Uyum parametreleri :  $N_0=88625$ ,  $\lambda=0.0256974$ , uyumun ortalama standart hatası  $\sigma = 1549$ .

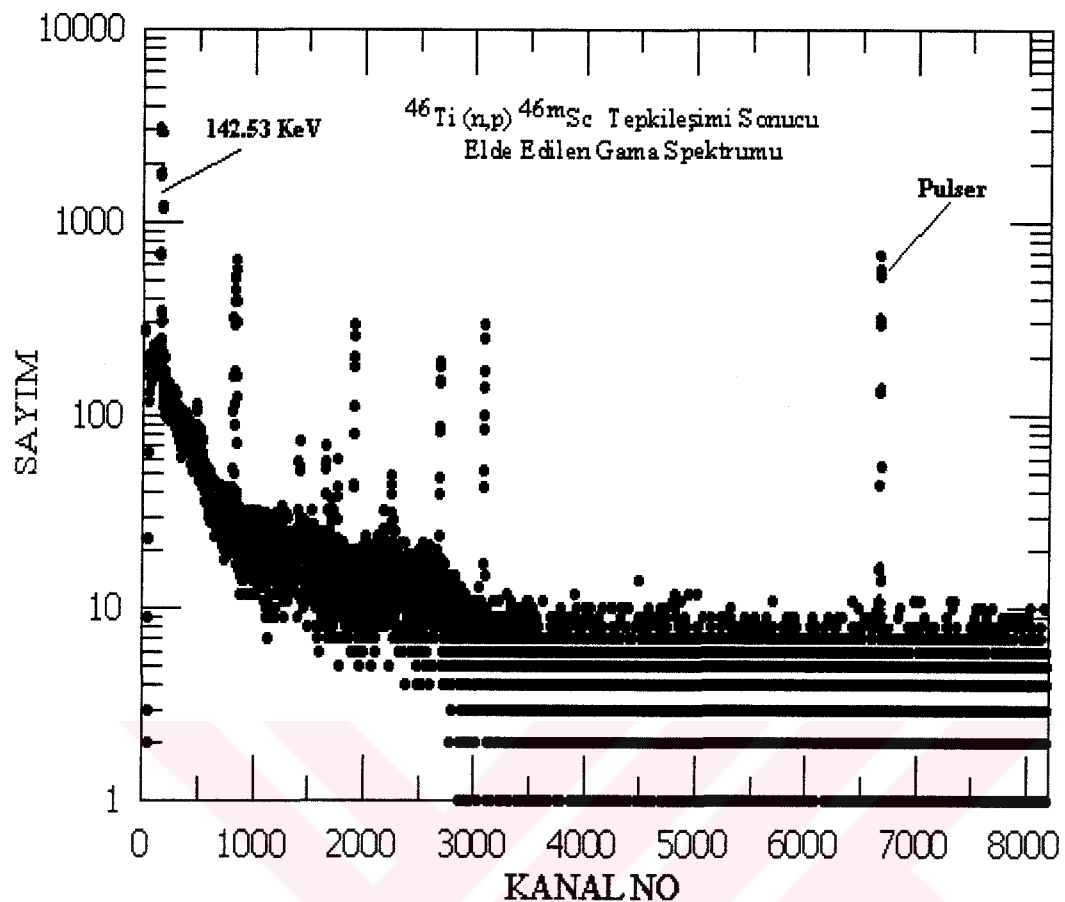
### 5.5 $^{46m}\text{Sc}$ Çekirdeğinin Yarılanma Süresi

$^{46}\text{Ti}(\text{n},\text{p})^{46m}\text{Sc}$  tepkileşimi için kullanılan  $\text{TiO}_2$  (Çizelge 5.1) malzemesi içindeki  $^{46}\text{Ti}$ 'nın izotopik bolluğu %8.25, tepkileşiminin Q-değeri 14 MeV nötronlar için 13.49 MeV ve tepkileşim tesir kesiti  $\sigma$  (14 MeV) = 48 mbarn dır. Örnek 180 sn ışınlandıktan hemen sonra pnömatik transfer sistemi ile 0.52 sn 'de HPGe dedektörünün önüne getirilmiş ve ölçüm işlemi başlatılmıştır. HPGe (82 cc) dedektörünün 142.53 KeV gama ışınları için TET verimi  $\epsilon_{eff}$  (142.53) = 0.777 dir. Ölçüm sırasında örnek merkezi – dedektör kristal arasındaki mesafe 18.5 mm ve sayım katı açısı  $\Omega$  = 2.546 dir.

$^{46m}\text{Sc}$  çekirdeğinin yarılanma süresinin belirlenmesi için,  $^{46m}\text{Sc}$ 'nin izomerik geçişten meydana gelen %62. bollukta 142.53 KeV'lik gama ışınlarına ait (Şekil 5.15) tüm enerji tepesi (Şekil 5.16) kullanılarak, sayım süresi 6.3 sn ( $\sim T_{1/2} / 3$ ) olan toplam 22 adet gama spektrumu ard arda alınmıştır. Ölü zaman ve darbe yığılımı düzeltmeleri için pulser tepesi 6706 nolu kanalda olacak şekilde pulser kazanç ayarı yapılmıştır. Sayım İşlem sonrası bilgisayar hafızasında toplanan gama ve pulser'e ait spektrumlar, Kontrol programı tarafından isimlendirilerek (dosya adı verilerek) bilgisayarın sabit diskine aktarılmıştır. Spektrumların Ortec 919 hafızasında bilgisayar hafızasına transfer süresi, kontrol programının oluşturduğu işlem dosyasından  $0.301 \pm 0.006$  olarak bulunmuştur.



Şekil 5.15  $^{46}\text{Ti}(\text{n},\text{p})^{46m}\text{Sc}$  tepkileşimi sonucu izomerik geçişinden meydana gelen 142.53 KeV gama ışınları.



Şekil 5.16  $^{46}\text{Ti}(\text{n},\text{p})^{46\text{m}}\text{Sc}$  tepkileşimi sonucu elde edilen gama spektrumu.

Yapılan üç deney sonunda (Çizelge 5.10) bulunan yarılanma süreleri Çizelge 5.11 'de verilmektedir. Belirlediğimiz yarılanma sürelerinin ağırlıklı ortalaması alınarak ortalama yarılanma süresi bulunmuştur. Bulunan değer, önceki çalışmalar ve nükleer veri kaynaklarındaki değerler ile karşılaştırmak amacıyla ayrı sütunlar halinde verilmiştir.

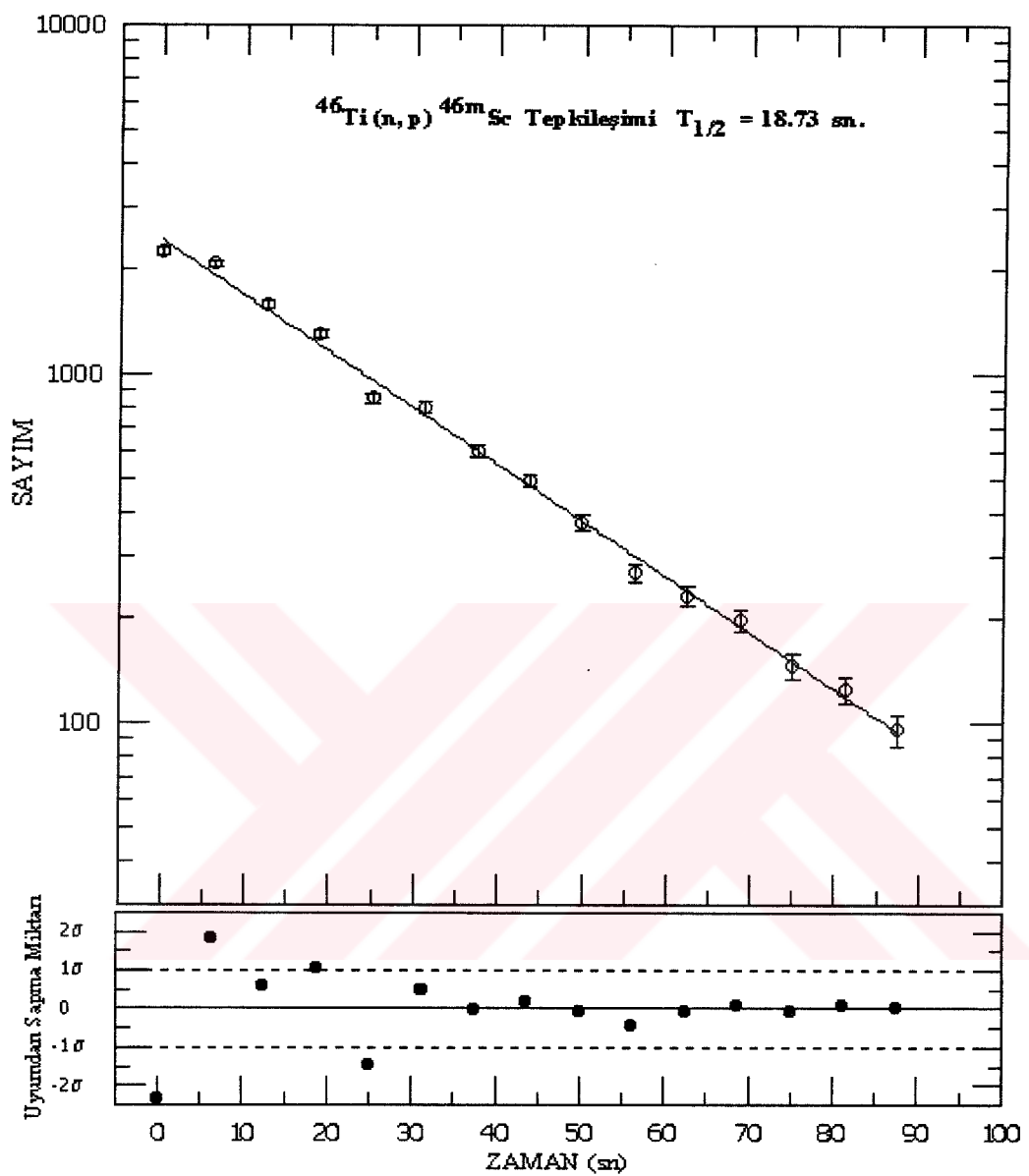
Şekil 5.17-a,b,c 'de yarılanma sürelerinin belirlendiği bozunum eğrileri , eğriler üzerine yapılan uyumlamlar ve uyumdan sapma miktarları gösterilmektedir.

Çizelge 5.10  $^{46}\text{Ti}(\text{n},\text{p})^{46m}\text{Sc}$  tepkileşimi için ışınlama ve ölçüm işlemleri ile ilgili bilgiler.

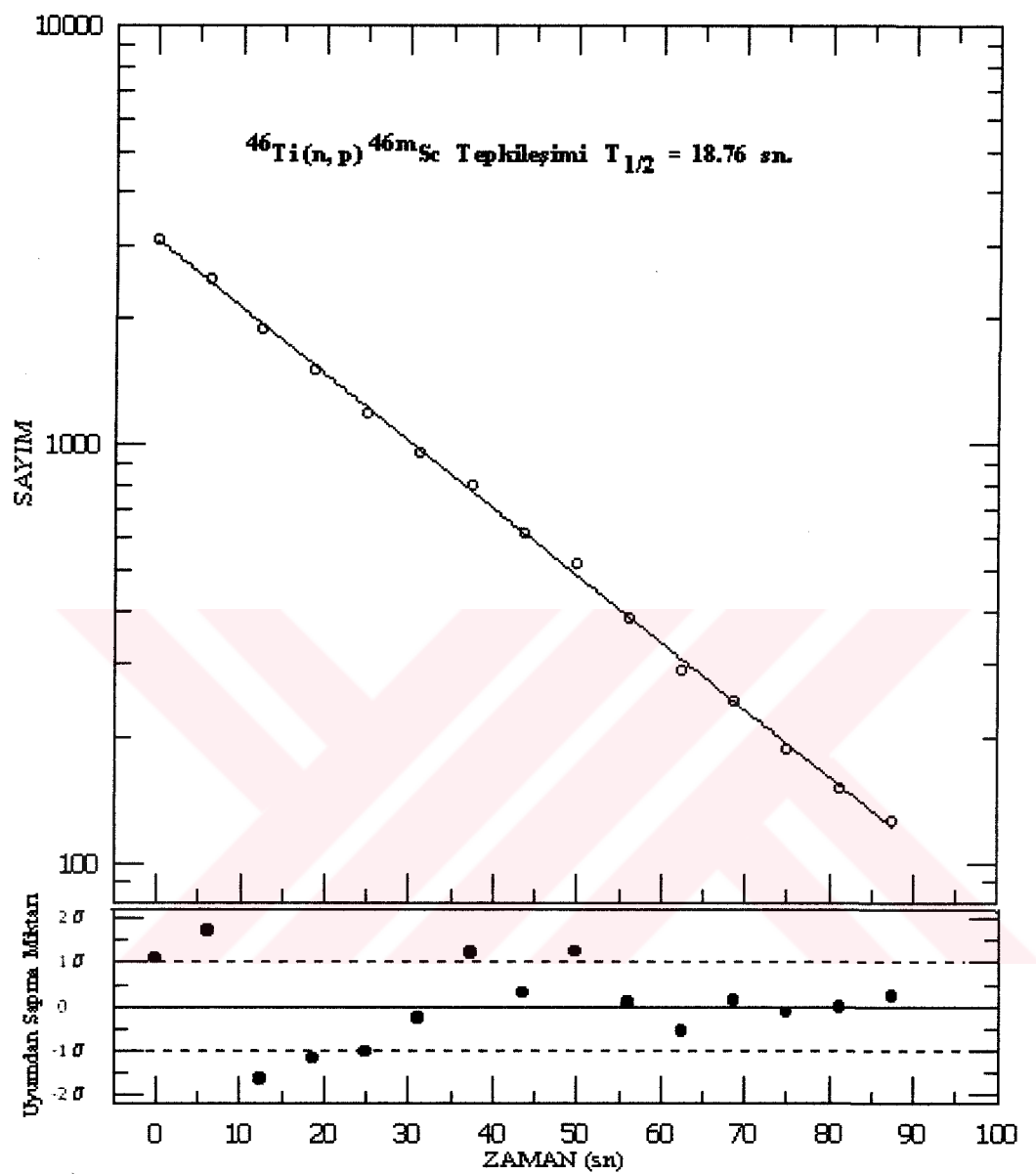
	Deney 1	Deney 2	Deney 3
Nötron akısı ( $\text{n}/\text{cm}^2 \text{ sn.}$ )	$2.135 \cdot 10^7$	$2.301 \cdot 10^7$	$2.237 \cdot 10^7$
İşinlama süresi (sn.)	180	180	180
Sayma süresi (sn.)	6.3	6.3	6.3
Alınan spektrum sayısı	22	22	22
Pulser ayarı (darbe/sn.)	50	50	50

Çizelge 5.11  $^{46m}\text{Sc}$  çekirdeğinin yarılanma süresi

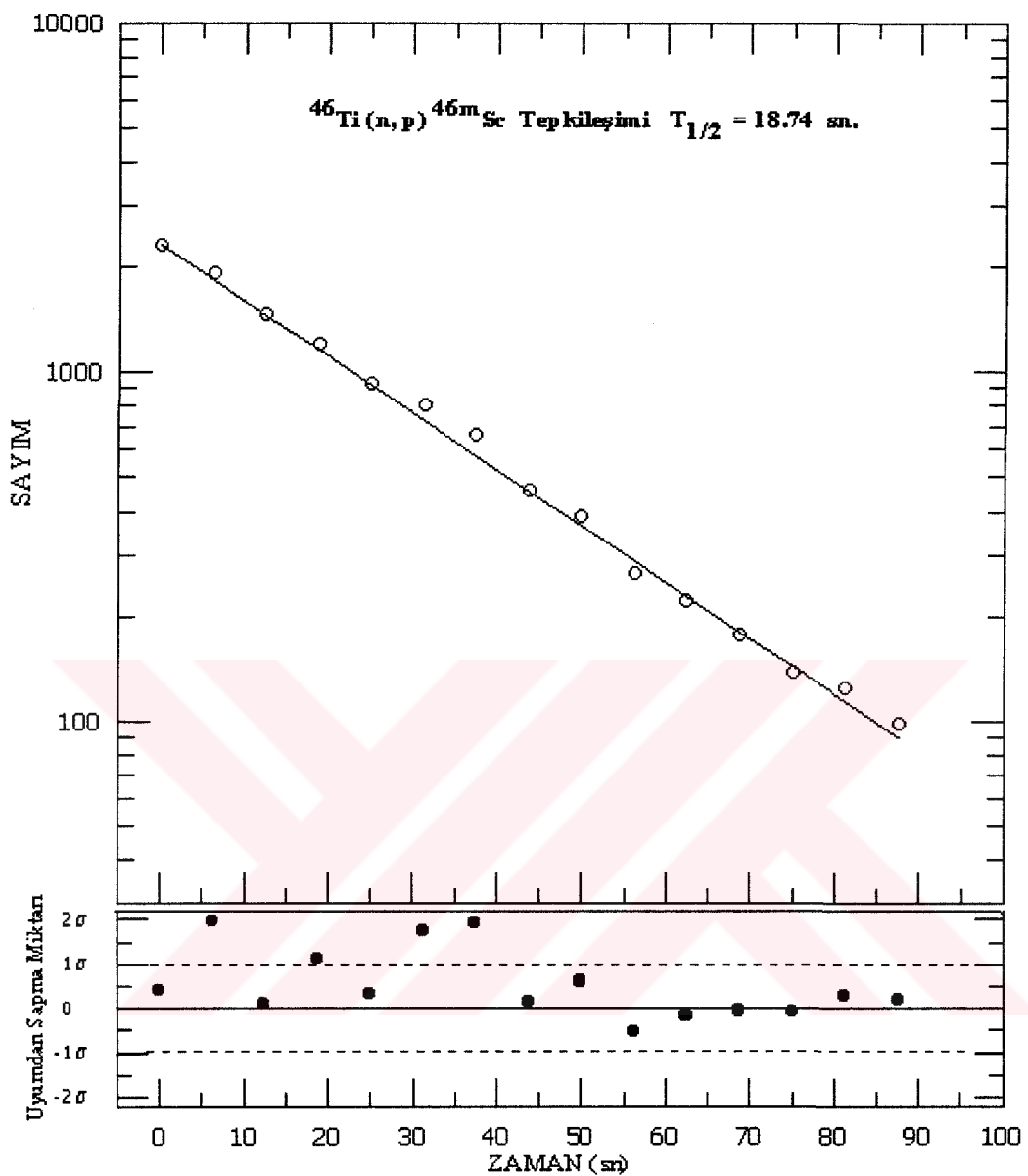
Deney No	Yarılanma Süresi	Referanslar
1	$18.73 \pm 0.10 \text{ sn}$	$18.70 \pm 0.05 \text{ sn}$ (Browne,1986) $18.75 \pm 0.04 \text{ sn}$ (Tuli,2000)
2	$18.76 \pm 0.09 \text{ sn}$	
3	$18.70 \pm 0.09 \text{ sn}$	
<b>Ağırlıklı Ortalama :</b>		$18.70 \pm 0.03 \text{ sn}$



Şekil 5.17a Deney 1 :  $^{46\text{m}}\text{Sc}$  izotopunun yarılanma süresi ölçümlerinin grafik gösterimi.  
Uyum parametreleri :  $N_0=2430$ ,  $\lambda=0.0370036$ , uyumun ortalama standart hatası  $\sigma = 76.5$ .



Şekil 5.17b Deney 2 :  $^{46\text{m}}\text{Sc}$  izotopunun yarılanma süresi ölçümlerinin grafik gösterimi.  
Uyum parametreleri :  $N_0=3076$ ,  $\lambda=0.0370481$ , uyumun ortalama standart hatası  $\sigma = 28.31$

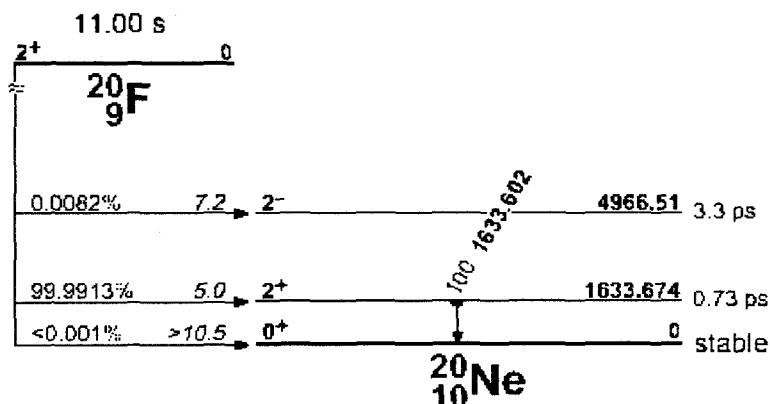


Şekil 5.17c Deney 3 :  $^{46\text{m}}\text{Sc}$  izotopunun yarılanma süresi ölçümlerinin grafik gösterimi.  
Uyum parametreleri :  $N_0=2310$ ,  $\lambda=0.0370776$ , uyumun ortalama standart hatası  $\sigma = 43.20$

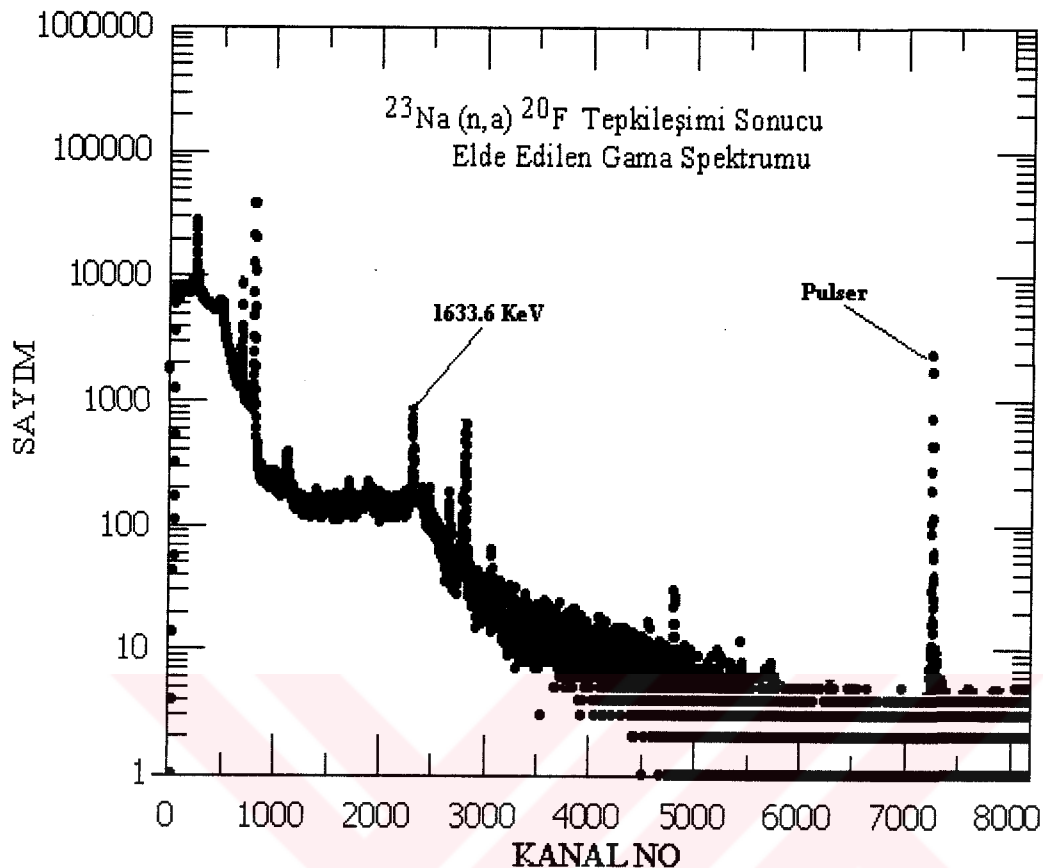
## 5.6 $^{20}\text{F}$ Çekirdeğinin Yarılanma Süresi

$^{23}\text{Na}(\text{n},\alpha)^{20}\text{F}$  tepkileşimi için kullanılan NaF (Çizelge 5.1) malzemesi içindeki  $^{23}\text{Na}$ 'nın izotopik bolluğu %100, tepkileşiminin Q-değeri 14 MeV nötronlar için 4.036 MeV ve tepkileşim tesir kesiti  $\sigma$  (14 MeV) = 150 mbarn dır. Örnek 120 sn ışınlandıktan hemen sonra pnömatik transfer sistemi ile 0.63 sn 'de HPGe dedektörünün önüne getirilmiş ve ölçüm işlemi başlatılmıştır. HPGe (82 cc) dedektörünün 1633.6 KeV gama ışınları için TET verimi  $\epsilon_{\text{eff}}$  (142.53) = 0.101 dir. Ölçüm sırasında örnek merkezi – dedektör kristal arasındaki mesafe 18.5 mm ve sayım katı açısı  $\Omega$  = 2.546 dir.

$^{20}\text{F}$  çekirdeğinin yarılanma süresinin belirlenmesi için,  $^{20}\text{F}$ 'nin bozunumundan meydana gelen % 67 bollukta 1633.6.53 KeV'lik gama ışınlarına ait (Şekil 5.18) tüm enerji tepesi (Şekil 5.19) kullanılarak, sayım süresi 4 sn ( $\sim T_{1/2} / 3$ ) olan toplam 22 adet gama spektrumu ard arda alınmıştır. Ölü zaman ve darbe yığılımı düzeltmeleri için pulser tepesi 7348 nolu kanalda olacak şekilde pulser kazanç ayarı yapılmıştır. Sayım İşlem sonrası bilgisayar hafızasında toplanan gama ve pulser'e ait spektrumlar, Kontrol programı tarafından isimlendirilerek (dosya adı verilerek) bilgisayarın sabit diskine aktarılmıştır. Spektrumların Ortec 919 hafızasında bilgisayar hafızasına transfer süresi, kontrol programının oluşturduğu işlem dosyasından  $0.346 \pm 0.009$  saniye olarak bulunmuştur.



Şekil 5.18  $^{23}\text{Na} (\text{n},\alpha)^{20}\text{F}$  tepkileşimi sonucu meydana gelen gama ışınları.



Şekil 5.19  $^{23}\text{Na}(\text{n},\alpha)^{20}\text{F}$  tepkileşimi sonucu elde edilen gama spektrumu.

Yapılan üç deney sonunda (Çizelge 5.12) bulunan yarılanma süreleri Çizelge 5.13' de verilmektedir. Belirlediğimiz yarılanma sürelerinin ağırlıklı ortalaması alınarak ortalama yarılanma süresi bulunmuştur. Bulunan değer, önceki çalışmalar ile birlikte tabloda verilmiştir.

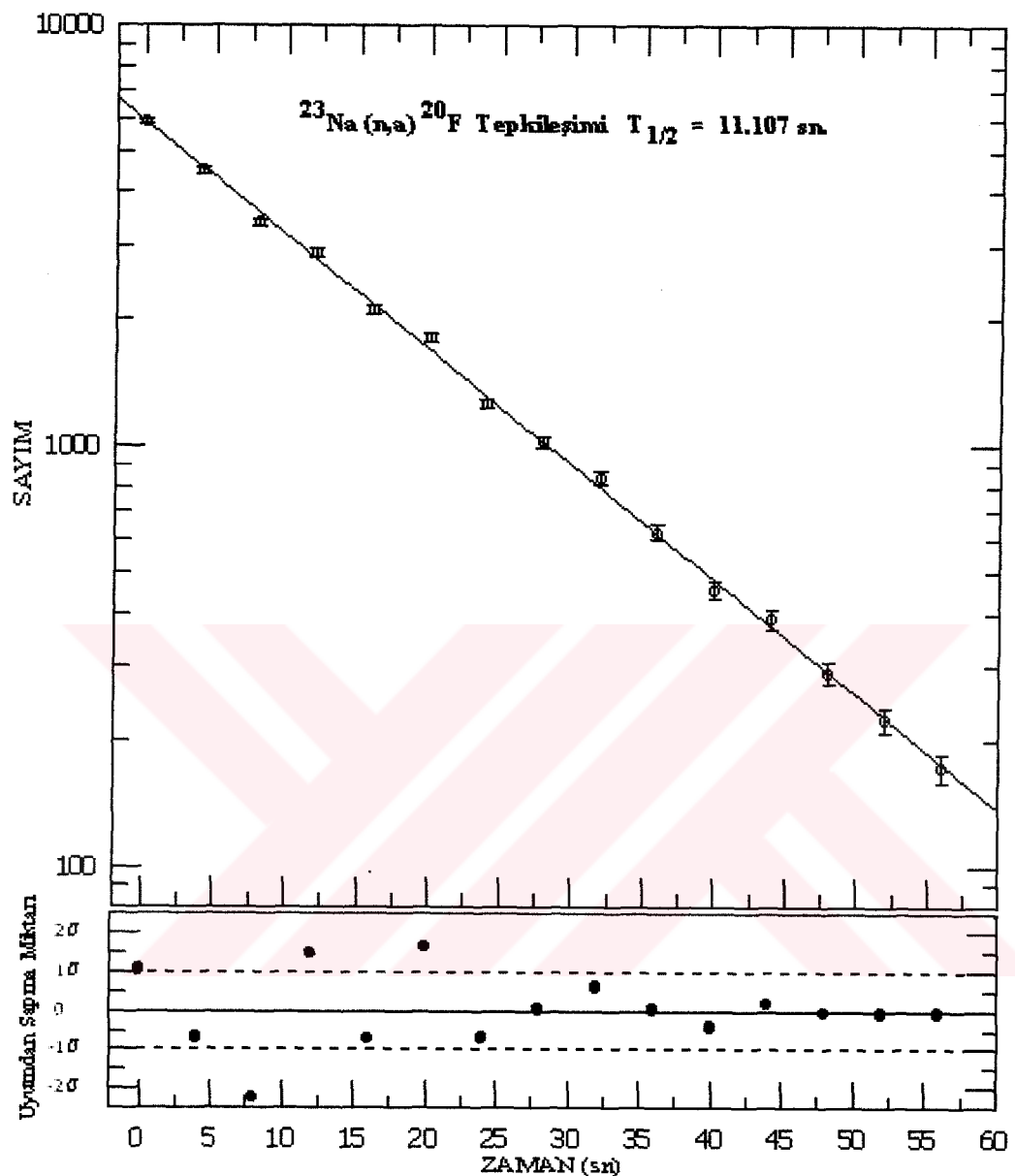
Şekil 5.20-a,b,c 'de yarılanma sürelerinin belirlendiği bozunum eğrileri , eğriler üzerine yapılan uyumlamlar ve uyumdan sapma miktarları gösterilmektedir.

Çizelge 5.12  $^{23}\text{Na}$  ( $n,\alpha$ ) $^{20}\text{F}$  tepkileşimi için ışınlama ve ölçüm işlemleri ile ilgili bilgiler.

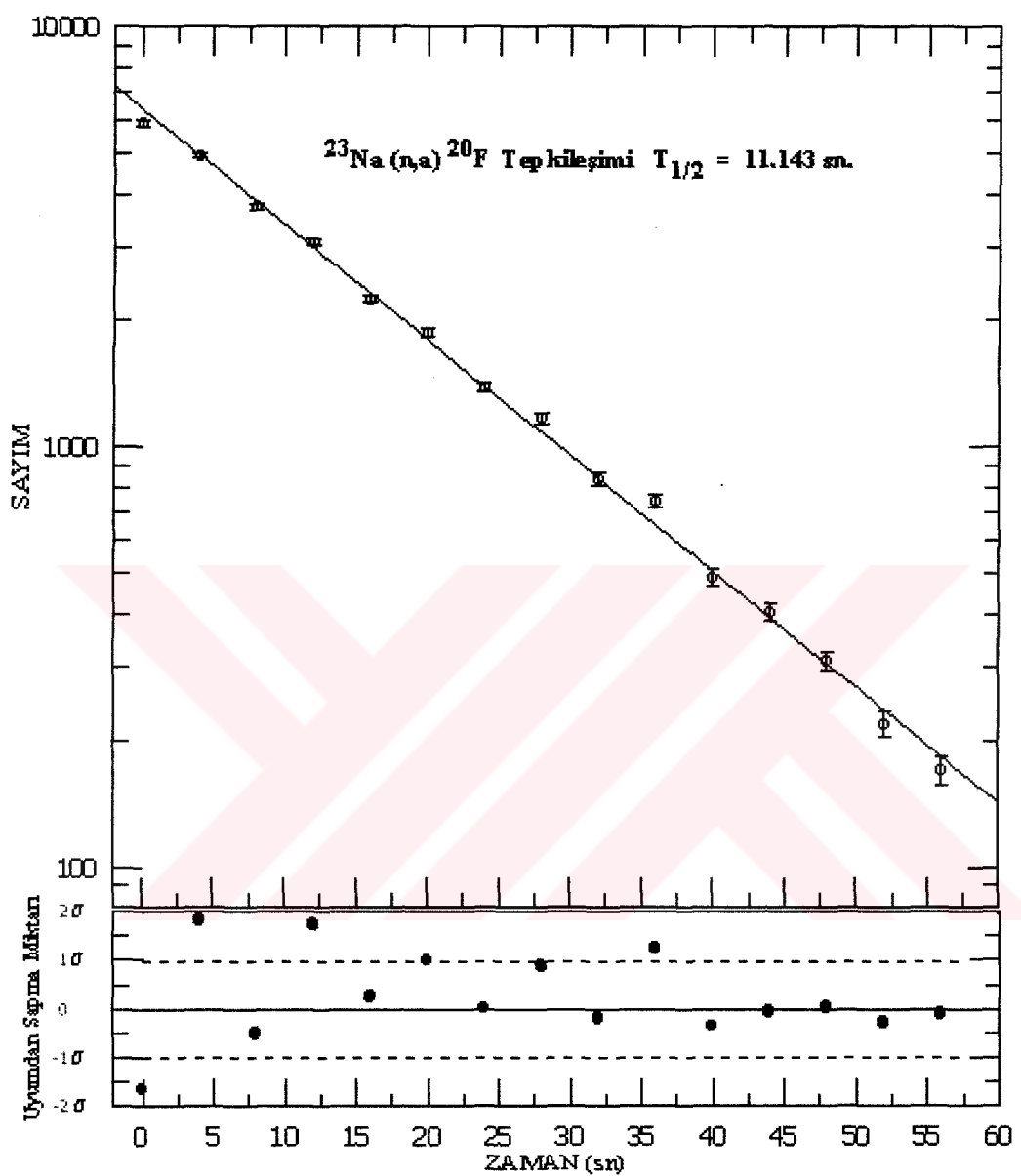
	Deney 1	Deney 2	Deney 3
Nötron akısı ( $\text{n/cm}^2 \text{ sn.}$ )	$2.191 \cdot 10^7$	$2.175 \cdot 10^7$	$2.101 \cdot 10^7$
İşinlama süresi (sn.)	120	120	120
Sayma süresi (sn.)	4	4	4
Alınan spektrum sayısı	22	22	22
Pulser ayarı (darbe/sn.)	50	50	50

Çizelge 5.13  $^{20}\text{F}$  çekirdeğinin yarılanma süresi.

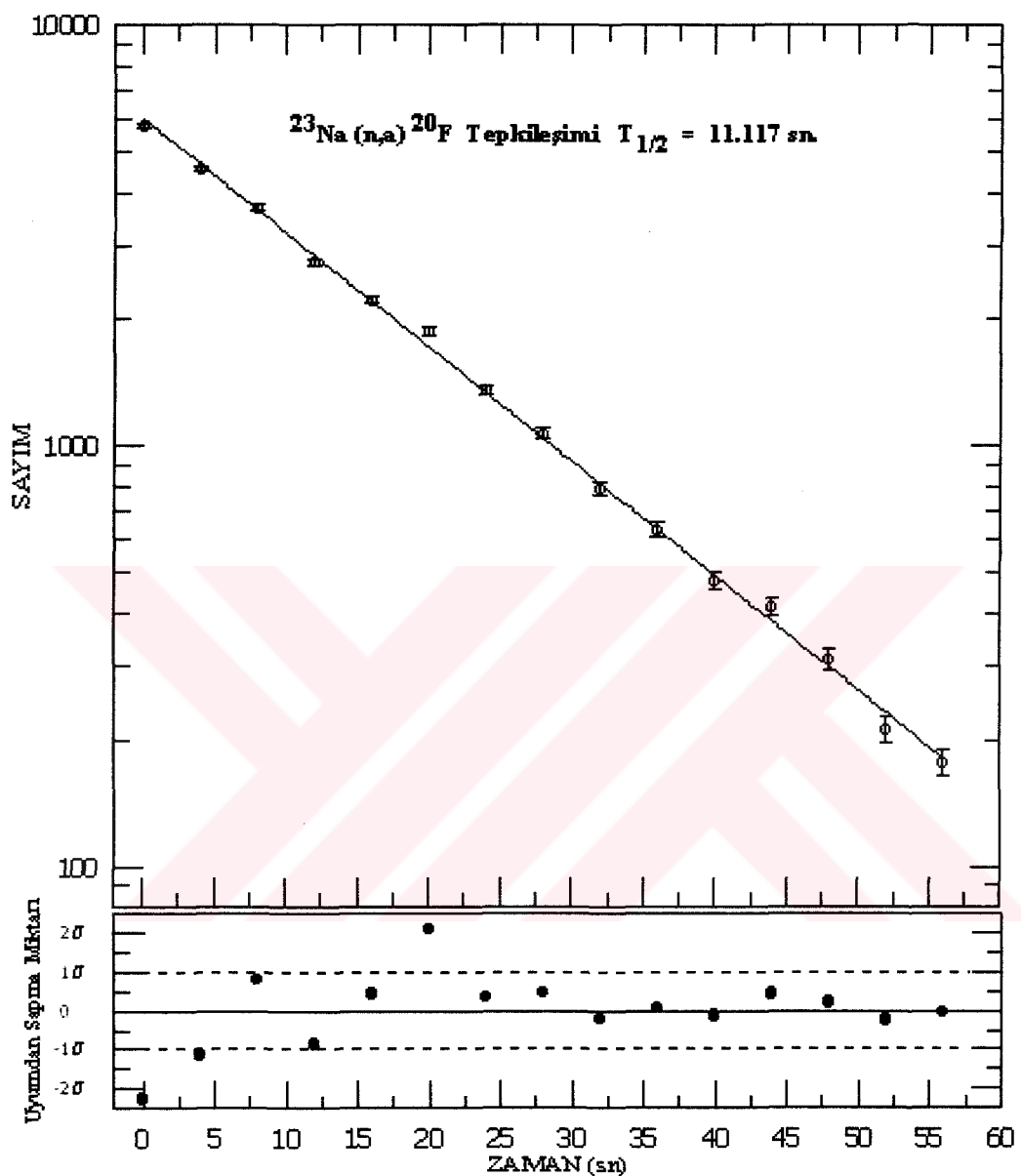
Deney No	Yarılanma Süresi	Referanslar
1	$11.107 \pm 0.059 \text{ sn}$	$11.01 \pm 0.04 \text{ sn. (JAERI,1995)}$
2	$11.143 \pm 0.055 \text{ sn}$	$11.163 \pm 0.008 \text{ sn. (Tuli,2000)}$
3	$11.117 \pm 0.042 \text{ sn}$	
<b>Ağırlık Ortalama :</b>		$11.122 \pm 0.032 \text{ sn.}$



Şekil 5.20a Deney 1 :  $^{20}\text{F}$  izotopunun yarılanma süresi ölçümlerinin grafik gösterimi.  
Uyun parametreleri :  $N_0=5860$ ,  $\lambda=0.0623769$ , uyumun ortalama standart hatası  $\sigma = 72.19$



Şekil 5.20b Deney 2 :  $^{20}\text{F}$  izotopunun yarılanma süresi ölçümelerinin grafik gösterimi.  
Uyum parametreleri :  $N_0=6554$ ,  $\lambda=0.0621137$ , uyumun ortalama standart hatası  $\sigma = 82.16$

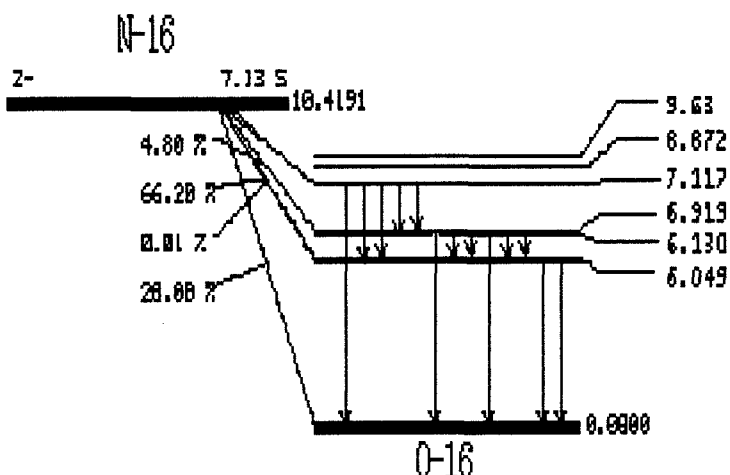


Şekil 5.20c Deney 3 :  $^{20}\text{F}$  izotopunun yarılanma süresi ölçümelerinin grafik gösterimi  
Uyum parametreleri :  $N_0=5944$ ,  $\lambda=0.0624498$ , uyumun ortalama standart hatası  $\sigma = 79.95$

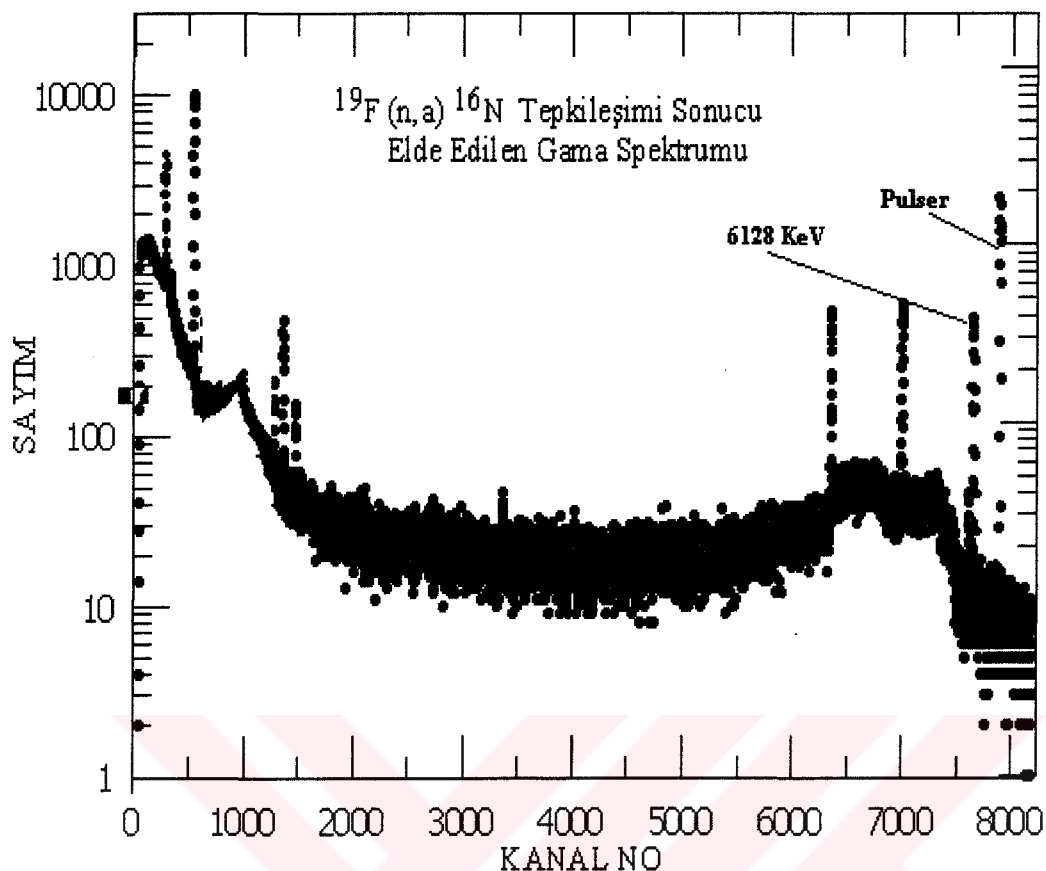
### 5.7 $^{16}\text{N}$ Çekirdeğinin Yarılanma Süresi.

$^{19}\text{F}(\text{n},\alpha)^{16}\text{N}$  tepkileşimi için kullanılan  $\text{C}_2\text{F}_4$  (Çizelge 5.1) malzemesi içindeki  $^{19}\text{F}$ 'nin izotopik bolluğu %100, tepkileşiminin Q-değeri 14 MeV nötronlar için 1.603 MeV ve tepkileşim tesir kesiti  $\sigma(14 \text{ MeV}) = 150 \text{ mbarn}$  dir. Örnek 120 sn ışınlandıktan hemen sonra pnömatik transfer sistemi ile 0.54 sn 'de HPGe dedektörünün önüne getirilmiş ve ölçüm işlemi başlatılmıştır. HPGe (82 cc) dedektörünün 6128 KeV gama ışınları için TET verimi  $\varepsilon_{\text{eff}}(142.53) = 0.005$  dir. Ölçüm sırasında örnek merkezi – dedektör kristal arasındaki mesafe 18.5 mm ve sayım katı açısı  $\Omega = 2.546$  dir.

$^{16}\text{N}$  çekirdeğinin yarılanma süresinin belirlenmesi için,  $^{16}\text{N}$ 'nin bozunumundan meydana gelen % 67 bollukta 6128 KeV'lik gama ışınlarına ait (Şekil 5.21) tüm enerji tepesi (Şekil 5.22) kullanılarak, sayım süresi 2.4 sn ( $\sim T_{1/2} / 3$ ) olan toplam 22 adet gama spektrumu ard arda alınmıştır. Ölü zaman ve darbe yiğilimi düzeltmeleri için pulser tepesi 7851 nolu kanalda oluşacak şekilde pulser kazanç ayarı yapılmıştır. Sayım İşlem sonrası bilgisayar hafızasında toplanan gama ve pulser'e ait spektrumlar, Kontrol programı tarafından isimlendirilerek (dosya adı verilerek) bilgisayarın sabit diskine aktarılmıştır. Spektrumların Ortec 919 hafızasında bilgisayar hafızasına transfer süresi, kontrol programının oluşturduğu işlem dosyasından  $0.298 \pm 0.004$  saniye olarak bulunmuştur.



Şekil 5.21  $^{19}\text{F}(\text{n},\alpha)^{16}\text{N}$  tepkileşimi sonucu oluşan gama ışınları.



Şekil 5.22  $^{19}\text{F}(\text{n},\alpha)^{16}\text{N}$  tepkileşimi sonucu elde edilen gama spektrumu.

Yapılan üç deney sonunda (Çizelge 5.14) bulunan yarılanma süreleri Çizelge 5.15' de verilmektedir. Belirlediğimiz yarılanma sürelerinin ağırlıklı ortalaması alınarak ortalama yarılanma süresi bulunmuştur. Bulunan değer, önceki çalışmalar ve nükleer veri kaynaklarındaki değerlerle oldukça iyi bir uyum içinde olduğu görülmüştür. Bunun sebebi olarak çalışılan gama enerjisinin büyük olması nedeniyle tüm enerji tepesinin altında compton bölgesi bulunmaması, gerek MCS ile yapılmış çalışmalarla bulunan değerlerle bizim yöntemimiz ile bulunan değerlerin çok uyumlu olmasını sağlamaktadır. Bunun da, sayım değerleri üzerindeki hataların GETAY yöntemi ile MCS yönteminden daha iyi belirlendiğini gösterdiğini düşünmekteyiz.

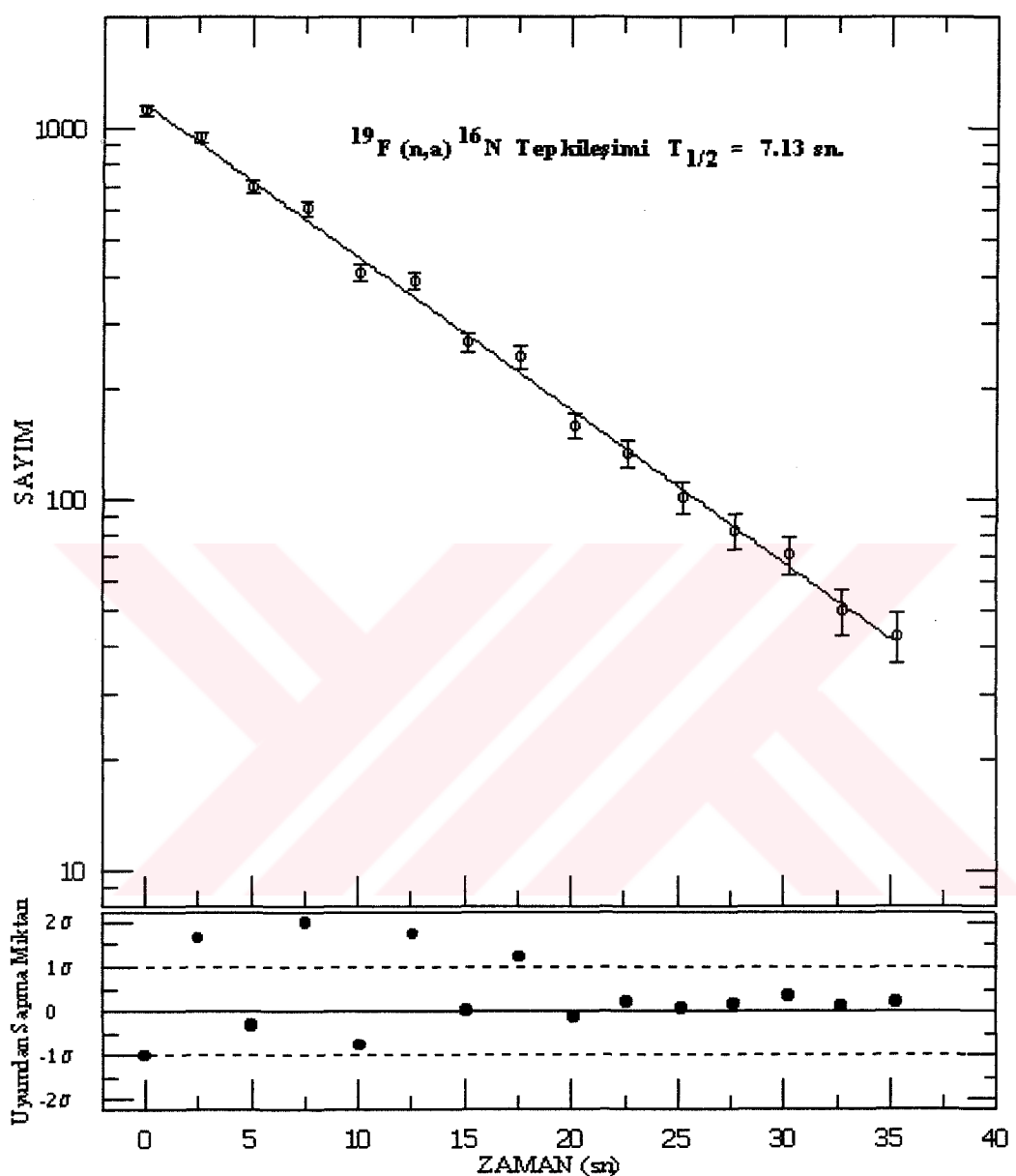
Şekil 5.23-a,b,c 'de yarılanma sürelerinin belirlendiği bozunum eğrileri , eğriler üzerine yapılan uyumlamlar ve uyumdan sapma miktarları gösterilmektedir.

Çizelge 5.14  $^{19}\text{F}$  ( $n,\alpha$ ) $^{16}\text{N}$  tepkileşimi için ışınlama ve ölçüm işlemleri ile ilgili bilgiler.

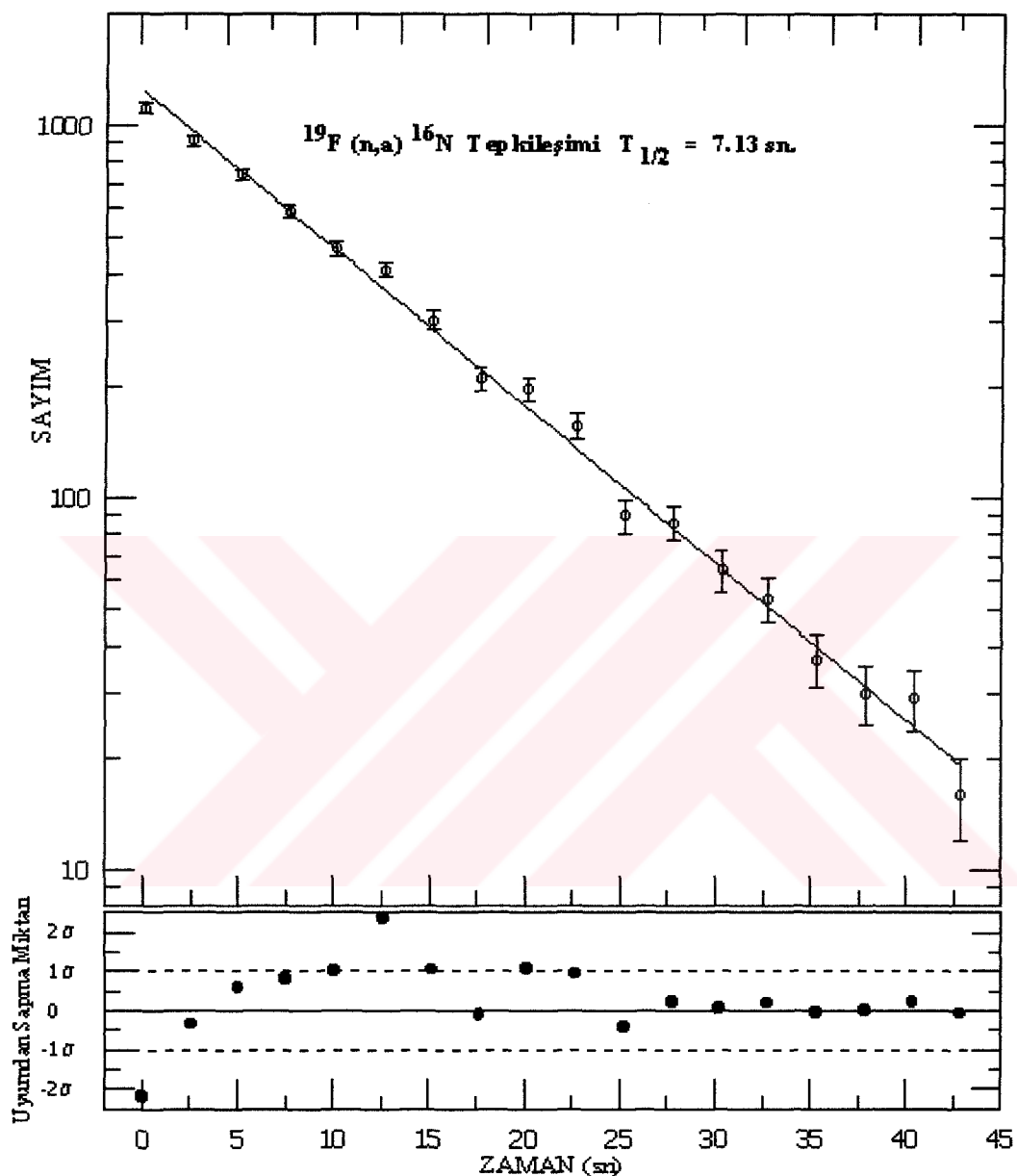
	<b>Deney 1</b>	<b>Deney 2</b>	<b>Deney 3</b>
<b>Nötron akısı (n/cm<sup>2</sup> sn.)</b>	$2.119 \cdot 10^7$	$1.980 \cdot 10^7$	$1.975 \cdot 10^7$
<b>İşinlama süresi (sn.)</b>	120	120	120
<b>Sayma süresi (sn.)</b>	2.5	2.5	2.5
<b>Aldınan spektrum sayısı</b>	22	22	22
<b>Pulser ayarı (darbe/sn.)</b>	50	50	50

Çizelge 5.15  $^{16}\text{N}$  çekirdeğinin yarılanma süresi

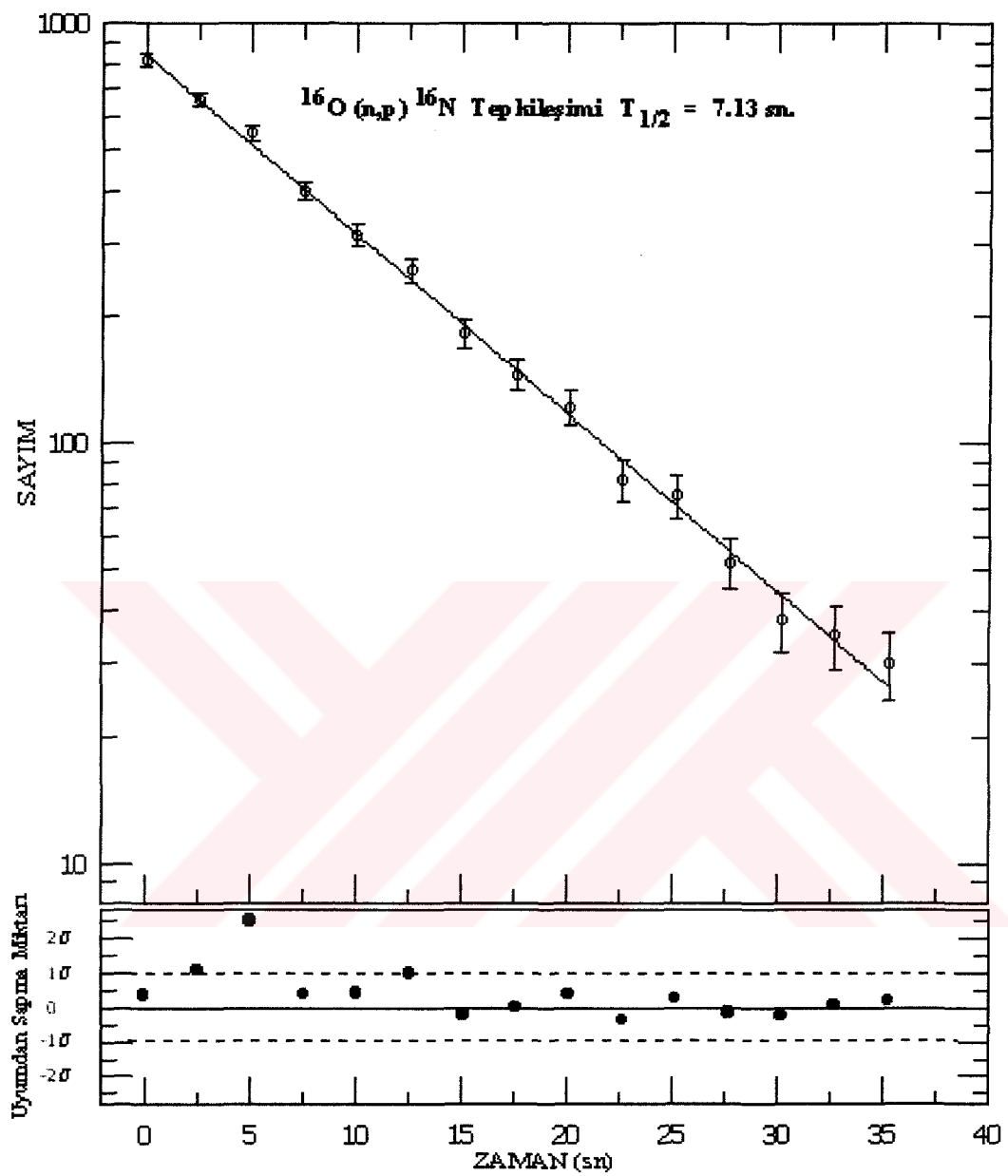
<b>Deney No</b>	<b>Yarılanma Süresi</b>	<b>Referanslar</b>
1	$7.133 \pm 0.035$ sn	$7.13 \pm 0.03$ sn. (JAERI ,1995)
2	$7.136 \pm 0.024$ sn	$7.13 \pm 0.02$ sn. (Tuli,2000)
3	$7.135 \pm 0.051$ sn	
<b>Ağırlıklı Ortalama :</b>		$7.13 \pm 0.02$ sn.



Şekil 5.23a Deney 1 :  $^{16}\text{N}$  izotopunun yarılanma süresi ölçümelerinin grafik gösterimi.  
Uyum parametreleri :  $N_0=1150$ ,  $\lambda=0.0971502$ , uyumun ortalama standart hatası  $\sigma = 28.71$



Şekil 5.23b Deney 2 :  $^{16}\text{N}$  izotopunun yarılanma süresi ölçümelerinin grafik gösterimi.  
Uyun parametreleri :  $N_0=1014$ ,  $\lambda=0.0971037$ , uyumun ortalama standart hatası  $\sigma = 27.41$



Şekil 5.23c Deney 3 :  $^{16}\text{N}$  izotopunun yarılanma süresi ölçümlerinin grafik gösterimi.  
Uyum parametreleri :  $N_0=812$ ,  $\lambda=0.0971195$ , uyumun ortalama standart hatası  $\sigma = 16.92$

## 5.8 $^{68}\text{Cu}$ Çekirdeğinin Yarılanma süresi

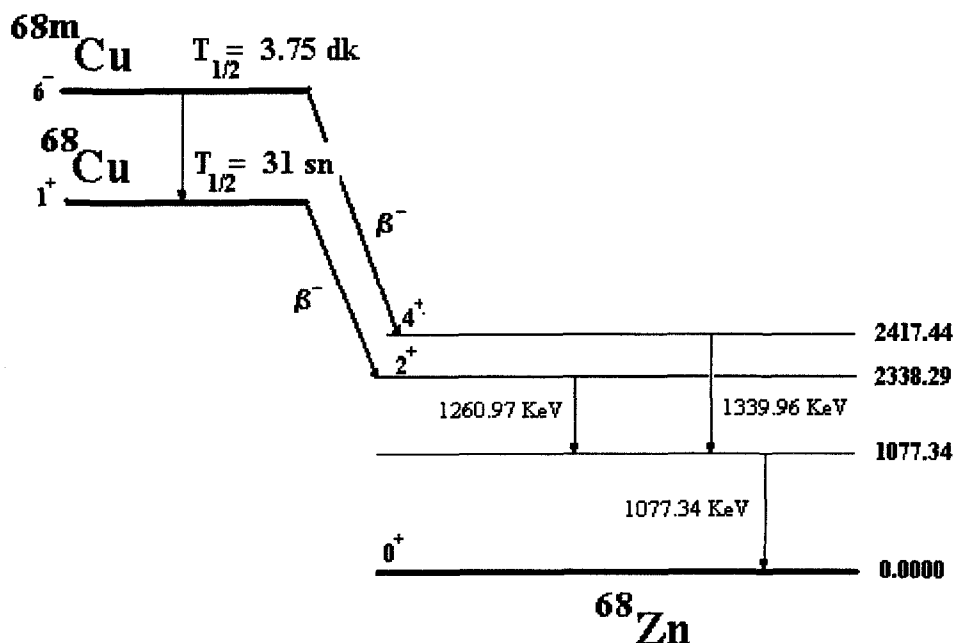
$^{68}\text{Zn}(\text{n},\text{p})^{68}\text{Cu}$  tepkileşimi için kullanılan Zn (Çizelge 5.1) örneği içindeki  $^{68}\text{Zn}$ 'nin izotopik bolluğu % 18.8 dir. Örneğin hızlı nötronlarla ışınlanması sonucu  $^{68}\text{Zn}(\text{n},\text{p})^{68}\text{gCu}$  ve  $^{68}\text{Zn}(\text{n},\text{p})^{68m}\text{Cu}$  tepkileşimleri meydana gelmiştir. Bu tepkileşimlere ait nükleer veriler Çizelge 5.16 de verilmektedir.

Çizelge 5.16  $^{68}\text{Zn}(\text{n},\text{p})^{68}\text{gCu}$  ve  $^{68}\text{Zn}(\text{n},\text{p})^{68m}\text{Cu}$  tepkileşimlerine ait nükleer veriler.

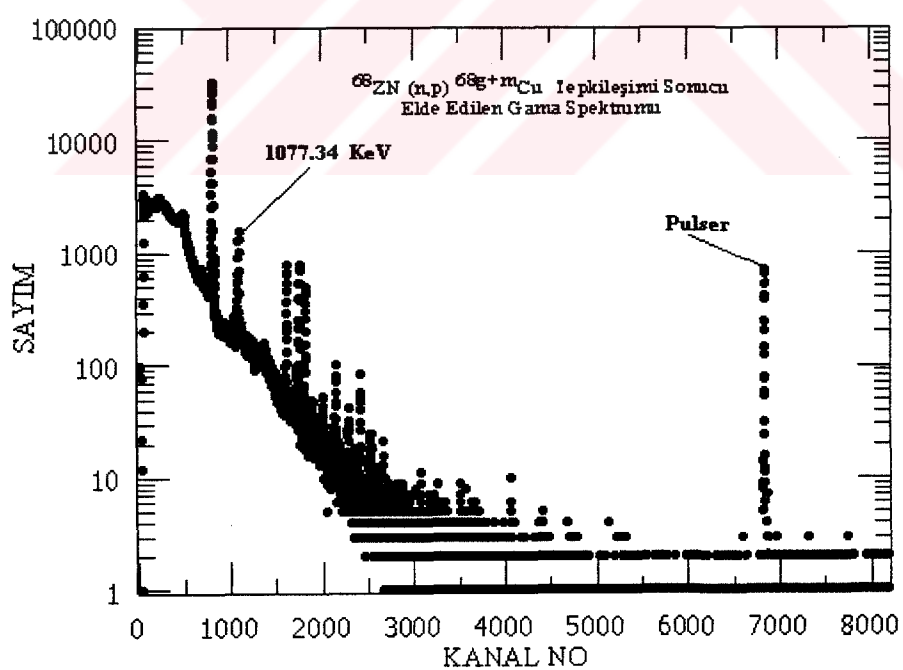
Tepkileşim	h (%)	$E_\gamma$ (KeV)	$f_\gamma$ (%)	$\sigma$ (mbarn)	$T_{1/2}$
$^{68}\text{Zn}(\text{n},\text{p})^{68}\text{gCu}$	18.8	1077.34	63.7	16.5	31 sn
$^{68}\text{Zn}(\text{n},\text{p})^{68m}\text{Cu}$	18.8	1077.34	12.9	8.9	3.75 dk

Zn örneği 240 sn ışınlandıktan hemen sonra pnömatik transfer sistemi ile 0.67 sn 'de HPGe dedektörünün önüne getirilmiş ve ölçüm işlemi başlatılmıştır.

$^{68}\text{gCu}$  çekirdeğinin yarılanma süresinin belirlenmesi için,  $^{68}\text{gCu}$  bozunumundan meydana gelen % 63.7 bollukta 1077.34 KeV'lik gama ışınlarına ait (Şekil 5.24) tüm enerji tepesi (Şekil 5.25), amplifikatör çevrim kazancı 8192 kanala ayarlanarak, kanal genişliği 60 ve sayım süresi 7.9 sn ( $\sim T_{1/2} / 4$ ) olan toplam 22 adet gama spektrumu ard arda alınmıştır. Ölü zaman ve darbe yüksılımı düzeltmeleri için pulser tepesi 7851 nolu kanalda olacak şekilde pulser kazanç ayarı yapılmıştır. Sayım işlemi sonunda bilgisayar hafızasında toplanan gama ve pulser'e ait spektrumlar, kontrol programı program tarafından isimlendirilerek (dosya adı verilerek) bilgisayarın sabit diskine aktarılmıştır. Spektrumların Ortec 919 hafızasında bilgisayar hafızasına transfer süresi, kontrol programının oluşturduğu işlem dosyasından  $0.381 \pm 0.005$  olarak bulunmuştur.



Şekil 5.24  $^{68}\text{Zn}(n,p)^{68}\text{gCu}$  ve  $^{68}\text{Zn}(n,p)^{68\text{mCu}}$  tepkileşimleri sonucu oluşan gama ışınları ( $f_\gamma > 2\%$  olanlar gösterilmiştir).



Şekil 5.25  $^{68}\text{Zn}(n,p)^{68\text{gCu}}$  ve  $^{68}\text{Zn}(n,p)^{68\text{mCu}}$  tepkileşimleri sonucu elde edilen gama spektrumu.

Şekil 5.24'de verilen bozunum şemasında görüldüğü gibi,  $^{68m}\text{Cu}$  izomer seviyesin 3.75 dk 'lik bozunma süresi ile  $^{68}\text{Zn}$  in temel seviyesine bozunurken, aynı anda  $^{68g}\text{Cu}$  in temel seviyesinden de gama bozunumu olmaktadır. Ölçümlerde elde edilen 1077.34 KeV' lik gama ışınlarına ait tüm enerji tepesi bu iki bozunumun toplamı olarak ortaya çıkmaktadır. Bu nedenle,  $^{68g}\text{Cu}$  izotopunun yarılanma süresini belirleyebilmek için,  $^{68m}\text{Cu}$  izotopunun tüm enerji tepesine olan katkısının çıkarılması gerekmektedir.  $^{68m}\text{Cu}$  izotopunun katkısını belirlemek üzere aşağıda anlatılan yol izlenmiştir.

Bölüm 2.5' de eşitlik (2.12) ile verilen tüm enerji tepesi altındaki alan ifadesi,  $^{68m}\text{Cu}$  ve  $^{68g}\text{Cu}$  izotoplari için aşağıdaki tanımlamalar kullanılarak belirlenmiştir.

- N : 1077.34 KeV 'lik gamalara ait toplam TET alanı,
- $N_g$  :  $^{68g}\text{Cu}$  izotopunun bozunumundan gelen 1077 KeV 'lik gamalara ait TET alanı,
- $N_m$  :  $^{68m}\text{Cu}$  izotopunun bozunumundan gelen 1077 KeV 'lik gamalara ait TET alanı,
- $\lambda_g$  ve  $\lambda_m$  : sırasıyla, :  $^{68g}\text{Cu}$  ve  $^{68m}\text{Cu}$  için bozunma sabiti,
- $\sigma_g$  ve  $\sigma_m$  : sırasıyla, :  $^{68g}\text{Cu}$  ve  $^{68m}\text{Cu}$  için tepkileşim tesir kesiti,
- $f_g$  ve  $f_m$  : sırasıyla, :  $^{68g}\text{Cu}$  ve  $^{68m}\text{Cu}$  için gama bolluğu (şiddeti),
- $\epsilon(1077.34)$  : HPGe (82 cc) dedektörünün 1077.34 KeV gamalara için TET verimi,
- $\Omega$  : Ölçüm sistemine, örnek merkezi – dedektör kristali arasındaki sayım katı açısı,
- $t_i, t_b, t_s$  : sırasıyla, ışınlama ,bekleme ve sayım süreleri,
- $\phi$  : ışınlama sırasındaki nötron akısı,
- n : Çinko örneğindeki  $^{68}\text{Zn}$  atom sayısı,

olmak üzere,

$$N_g = \frac{n\sigma_g \phi \epsilon(1077)f_g \Omega}{\lambda_g} \left[ \left(1 - e^{-\lambda_g t_i}\right) \cdot e^{-\lambda_g t_b} \cdot \left(1 - e^{-\lambda_g t_s}\right) \right] \quad (5.1)$$

ve,

$$N_m = \frac{n\sigma_m \phi \epsilon(1077)f_m \Omega}{\lambda_m} \left[ \left(1 - e^{-\lambda_m t_i}\right) \cdot e^{-\lambda_m t_b} \cdot \left(1 - e^{-\lambda_m t_s}\right) \right] \quad (5.2)$$

olur. Yukarıdaki denklemleri kısaltmak üzere  $Z_g$  ve  $Z_m$  zaman faktörleri tanımlanırsa;

$$Z_g = \frac{1}{\lambda_g} \left[ \left( 1 - e^{-\lambda_g t_i} \right) \cdot e^{-\lambda_g t_b} \cdot \left( 1 - e^{-\lambda_g t_s} \right) \right] \quad (5.3)$$

ve,

$$Z_m = \frac{1}{\lambda_m} \left[ \left( 1 - e^{-\lambda_m t_i} \right) \cdot e^{-\lambda_m t_b} \cdot \left( 1 - e^{-\lambda_m t_s} \right) \right] \quad (5.4)$$

değerleri yukarıdaki denklemlerde yerine yazılaraak,

$$N_g = n \sigma_g \phi \varepsilon(1077) f_g \Omega Z_g \quad (5.5)$$

ve,

$$N_m = n \sigma_m \phi \varepsilon(1077) f_m \Omega Z_m \quad (5.6)$$

olur. Her iki TET alanı  $^{68}\text{Zn}$  örneğinin işinlanması sonucu oluşmakta, aynı sayımla sisteminde ve aynı gama enerjisi için ölçümleri alınmaktadır. Bu sebeple,  $n$ ,  $\phi$ ,  $\Omega$  ve  $\varepsilon(1077.34)$  her iki TET alanı için aynı değeri almaktadır. Bu durum göz önüne alınarak, Bulunan iki TET alanı birbirine oranlanırsa;

$$\frac{N_g}{N_m} = \frac{f_g \sigma_g Z_g}{f_m \sigma_m Z_m} \quad (5.7)$$

olur. Bu ifade de  $f_g$ ,  $f_m$ ,  $\sigma_g$  ve  $\sigma_m$  sabit birer değer durumunda olduklarından;

$$\frac{f_g \sigma_g}{f_m \sigma_m} = C \quad C: \text{sabit} \quad (5.8)$$

olarak tanımlanarak eşitlik (5.7) yeniden yazılırsa,

$$\frac{N_g}{N_m} = \frac{Z_g}{Z_m} C$$

olur. Bu ifade  $N_m$  ye göre düzenlenirse,

$$N_m = N_g \frac{Z_m}{Z_g \cdot C} \quad (5.9)$$

olur. TET altındaki toplam alan  $N$ ;

$$N = N_g + N_m \quad (5.10)$$

olduğu bilindiğine göre , bu ifade de (5.9) eşitliğindeki  $N_m$  yerine yazılır ve  $N_g$  'ye göre düzenlenirse,

$$N_g = \frac{N}{\left(1 + \frac{Z_m}{Z_g \cdot C}\right)} \quad (5.11)$$

olarak,  $^{68g}\text{Cu}$  çekirdeğine ait TET alanı bulunur.

Eşitlik (5.11) deki  $Z_g$  ve  $Z_m$  zaman faktörleri;  $t_s$  sayım süresine,  $\lambda_g$  ve  $\lambda_m$  bozunma sabitlerine ve  $t_b$  bekleme süresine bağlı olarak, ard arda yapılacak sayımlarda farklı değerler alacaklardır. Bu olay  $^{68g}\text{Cu}$  ve  $^{68m}\text{Cu}$  çekirdeklerinin toplam TET alanındaki katkılarını belirleyecektir.

Yukarıda ayrıntılı olarak anlatılan işlem ile  $^{68g}\text{Cu}$  çekirdeğinin TET alanı, her bir ölçüm işlemi için,  $^{68m}\text{Cu}$  çekirdeğinin toplam TET alanına olan katkısı ayıklanarak bulunmuştur.

Ölçüm işlemlerinde kullanılan HPGe (82 cc) dedektörünün 1077.34 KeV gama ışınları için TET verimi  $\epsilon_{\text{eff}}(1077.34) = 0.147$ . dir. Ölçüm sırasında örnek merkezi – dedektör kristal arasındaki mesafe 22.5 mm ve sayım katı açısı  $\Omega = 2.051$  dir. Deney üç kez tekrar edilmiştir (Çizelge 5.17).

Çizelge 5.17  $^{68}\text{Zn}$  (n,p) $^{68\text{g}}\text{Cu}$  ve  $^{68}\text{Zn}$  (n,p) $^{68\text{m}}\text{Cu}$  tepkileşimleri için ışınlama ve ölçüm işlemleri ile ilgili bilgiler.

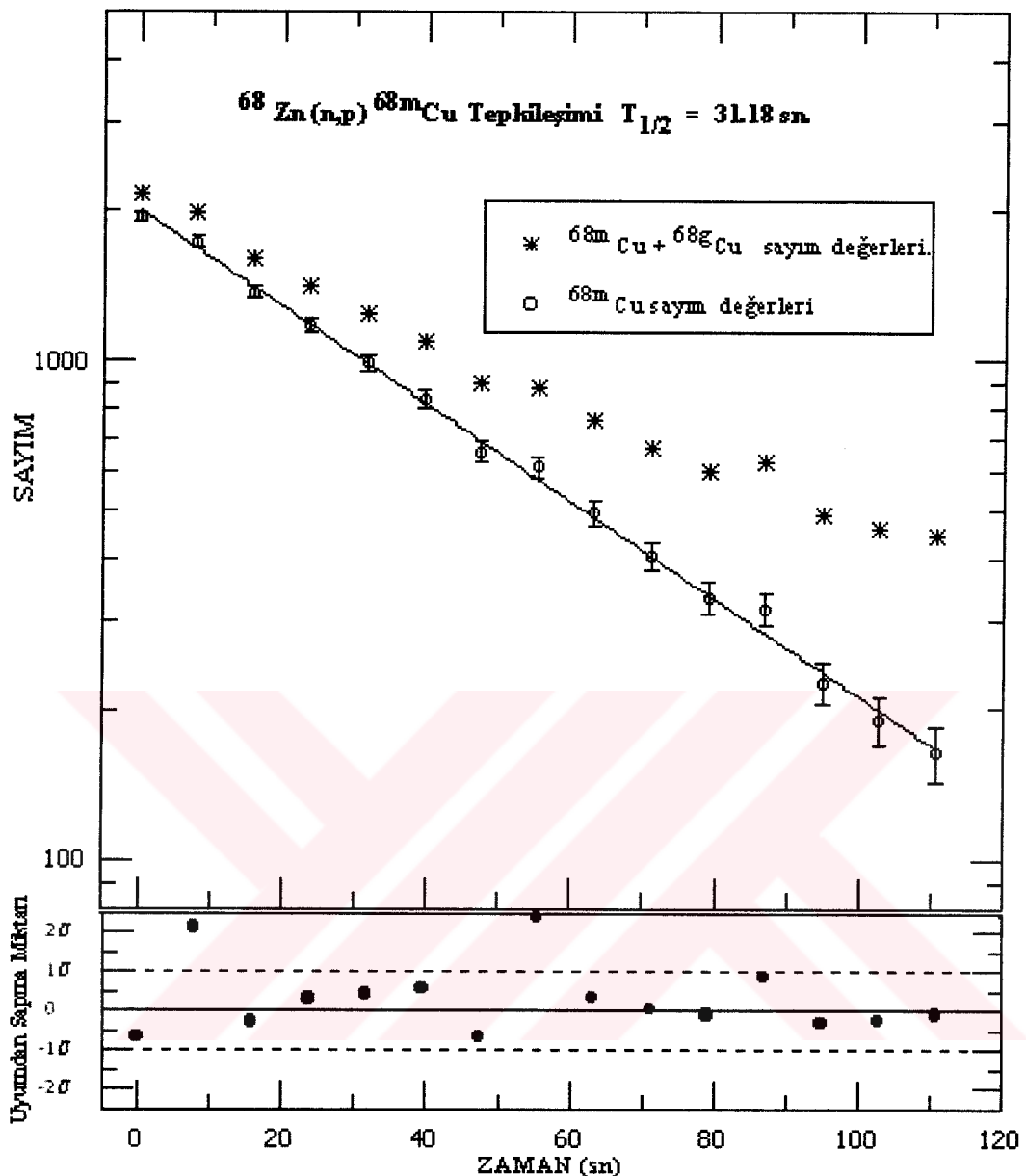
	Deney 1	Deney 2	Deney 3
Nötron akışı ( $\text{n}/\text{cm}^2 \text{ sn.}$ )	$2.182 \cdot 10^7$	$2.115 \cdot 10^7$	$1.975 \cdot 10^7$
İşinlama süresi (sn.)	240	240	240
Sayma süresi (sn.)	7.9	7.9	7.9
Alınan spektrum sayısı	22	22	22
Pulser ayarı (darbe/sn.)	50	50	50

Yapılan üç deney sonunda bulunan yarılanma süreleri Çizelge 5.18 da verilmektedir. Belirlediğimiz yarılanma sürelerinin ağırlıklı ortalaması alınarak ortalama yarılanma süresi bulunmuştur. Bulunan değer, önceki çalışmalar ve nükleer veri kaynaklarındaki değerle ile karşılaştırmak amacıyla ayı sütunlar halinde verilmiştir.

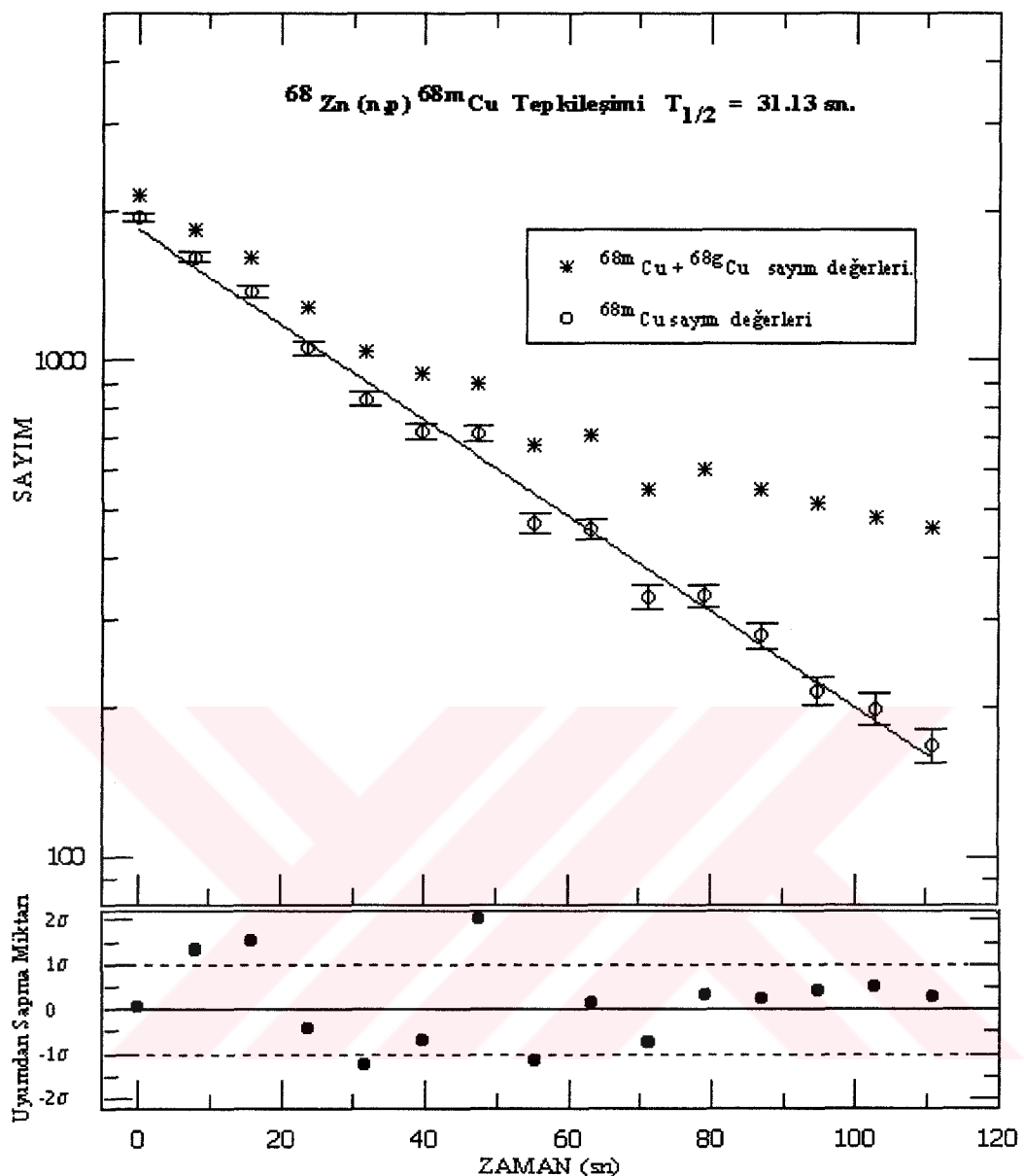
Şekil 5.26-a,b,c ‘de  $^{68\text{m}}\text{Cu}$  katkısı ayıklanmamış ( \* :  $^{68\text{m}}\text{Cu} + ^{68\text{g}}\text{Cu}$  ) ve  $^{68\text{m}}\text{Cu}$  katkısı ayıklanmış ( o ) bozunum eğrileri verilmektedir. Bu eğrilerden anlaşılabileceği gibi, bu tür bir ayıklanmanın yapılmaması durumunda yarılanma süresinin yanlış bulunacağı ( $T_{1/2} \sim 119$  sn) görülmektedir.

Çizelge 5.18  $^{68}\text{Cu}$  çekirdeğinin yarılanma süresi.

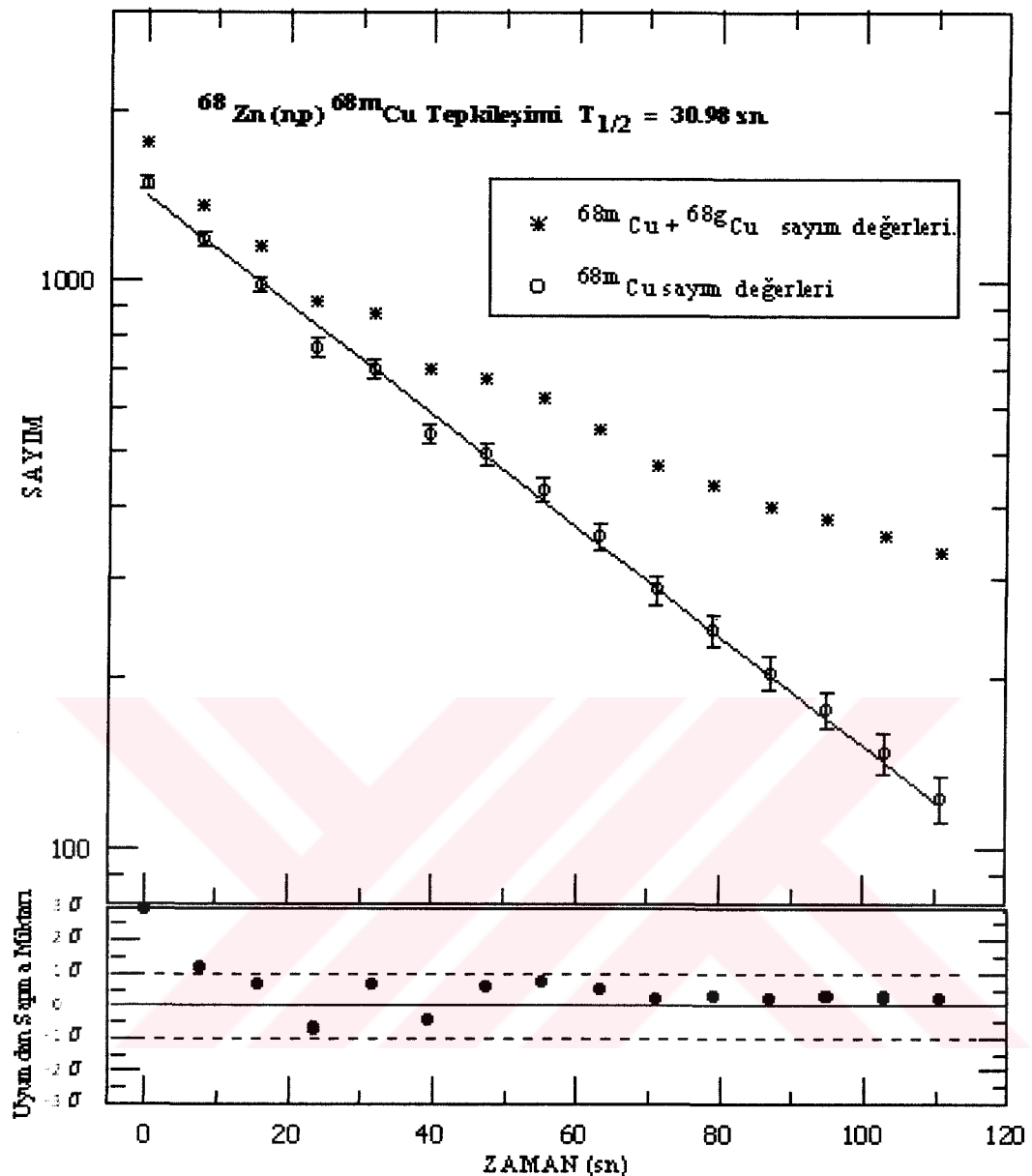
Deney No	Yarılanma Süresi	Referanslar
1	$31.183 \pm 0.090$ sn	$31 \pm 1$ sn (Browne,1986)
2	$31.129 \pm 0.097$ sn	$31.1 \pm 0.15$ sn (Tuli,2000)
3	$30.986 \pm 0.110$ sn	
<b>Ağırlıklı Ortalama :</b>		$31.11 \pm 0.05$ sn.



Şekil 5.26a Deney 2 :  $^{68}\text{Cu}$  izotopunun yarılanma süresi ölçümelerinin grafiksel gösterimi. Uyum parametreleri :  $N_0=1965$ ,  $\lambda=0.02222357$ , uyumun ortalama standart hatası  $\sigma = 39.83$



Şekil 5.26b Deney 2 :  ${}^{68}\text{gCu}$  izotopunun yarılanma süresi ölçümelerinin grafiksel gösterimi.Uyum parametreleri :  $N_0=1837$ ,  $\lambda=0.02226213$ , uyumun ortalama standart hatası  $\sigma = 57.21$



Şekil 5.26c Deney 2 :  $^{68g}\text{Cu}$  izotopunun yarılanma süresi ölçümelerinin grafiksel Gösterimi.Uyum parametreleri :  $N_0=1360$ ,  $\lambda=0.02236433$ , uyumun ortalama standart hatası  $\sigma = 46.95$

## 6. TARTIŞMA ve SONUÇLAR

Radyoaktif çekirdeklerin yarılanma sürelerinin belirlenmesi ile ilgili literatürler incelendiğinde, bu çalışmaların 1935 yılından günümüze kadar oldukça ilerlemiş olduğu görülmektedir. 1935 - 1960 yılları arasındaki deneysel çalışmalarında kullanılan dedektörlerin GM sayıcıları, iyonizasyon odaları, orantılı sayıcılar ve sintilasyon sayıcıları olduğu görülmektedir. Bu dedektörler ile elde edilen sonuçlar günümüz değerleri ile büyük farklılıklar göstermektedir (Şekil 6. 1-2-3). 1950'li yıllarda kullanılmaya başlayan NaI (Tl) dedektörleri ile daha önceki çalışmalarında elde edilen yarılanma süreleri üzerinde büyük iyileştirmeler sağlanmıştır (Elliot,1959). Günümüzde, sayım sistemlerinde NaI (Tl) dedektörlerinden daha iyi enerji ayırma gücüne ve daha düşük ölü zamana sahip HPGe dedektörlerinin kullanılmaya başlanması ile radyoaktif izotopların yarılanma süreleri daha doğru ve hassas olarak ölçülebilmektedir. Bu sebeple, teknolojinin gelişimine paralel olarak dedektör ve sayım sistemleri gelişikçe sonuçların daha da iyileşeceği anlaşılmaktadır.

Yukarıda anlatılan tüm bu gelişmelere nazaran, radyoaktif çekirdeklerin yarılanma sürelerinin belirlenmesinde kullanılan elektronik yöntemde önemli bir değişiklik olmadığı görülmektedir. Literatürler incelendiğinde, ölçümleme Bolum 4.6.1 ' de anlattığımız MCS yönteminin kullanıldığı görülmektedir. Değişiklik sadece zamanın teknolojisine uygun elektronik aletlerin (zamanlayıcı devreler, sayıcı devreleri , tek kanallı analizörler, pulserler) kullanılmasındadır.

MCS yönteminin sahip olduğu avantajların yanında bazı dezavantajları da vardır. Avantajları, radyoaktif bozunum takip sırasında alınan sayım değerleri arasında zaman kaybı (transfer süresi ) oldukça düşüktür. Bu özellik, yarılanma süreleri ~3 saniyenin altındaki izotoplarda büyük avantaj sağlamaktadır. MCS yöntemini avantajlı kıلان diğer bir husus, ışınlamaların reaktör havuzlarında veya yüksek nötron akısına sahip ( $\sim 10^{11}$  nötron/cm<sup>2</sup> sn ) nötron jeneratörlerinde yapılmasıdır. Bu sayede, elde edilen yüksek sayım değerleri yanında, diğer katkılardan (compton bölgesi katkısı , pile up katkısı ve rastgele sayım katkısı vs gibi) küçük kalması sağlanmaktadır. Oysa düşük sayım değerlerinde ( bu çalışmada olduğu gibi düşük nötron akısı ile yapılan çalışmalarda) bu tür katkılardan daha

da önem kazandığı görülmüştür. MCS yönteminin dezavantajları arasında en önemli olanı, sayımların değerlerinin, ilgilenilen gama ışınlarına ait TET spektrumlarından değil, tek kanallı analizör (SCA) ile belirlenen çerçeveye aralığına gelen darbelerin sayılması ile elde edilmektedir. Bu şekilde elde edilen sayımların değerlerinin doğruluğu tam olarak bilinmemekte ve gerekli düzeltmeler yeterince yapılamamaktadır. Literatürlerde, sayımlar sisteminden kaynaklanan ölü zaman ve darbe yığılımı düzeltmelerinde Pulser ve Kaynak yönteminin, bazen her ikisinin aynı anda kullanıldığı görülmektedir. Ancak, sayımların değerlerinin düzeltmelerinde kullanılan pulser veya kaynak verilerinin de MCS yöntemi ile alındığı göz önüne alınırsa, bu verilerde de yapılması gereken düzeltmelerin yapılmadığı (yapılamadığı) görülmektedir. Literatürlerde göze çarpan diğer bir husus da, sayımların alınması esnasında TET altındaki compton bölgesinin sabit kabul edilerek işlem yapılmasıdır (JAERI, 97-005). Oysa, Bölüm 4.6.2' de Şekil 4.9 ile verdigimiz  $^{46}\text{Ti}(\text{n},\text{p})^{46\text{m}}\text{Sc}$  tepkileşiminde,  $^{46\text{m}}\text{Sc}$  izotopunun bozunumu sırasında TET altındaki compton bölgesinin hızla azaldığı, sabit kalmadığı görülmektedir.

Çalışmamızda, MCS ve Gama Spektroskopı yöntemlerinin özellikleri birleştirilerek geliştirilen GETAY (Gama Enerji Tepesini Ayırma Yöntemi ) adını verdigimiz yöntem kullanılmıştır. Bu yöntem ile, ilgilenilen enerjideki gama ışınlarına ait tüm enerji tepesi (TET) 60 kanal genişliğinde spektrumlar olarak kaydedilmekte ve TET altındaki alan bu spektrumlardan bulunmaktadır. Ard arda alınan spektrumlardan TET altındaki compton bölgesi takip edilerek, gerekli background düzeltmesi de yapılmaktadır. Ayrıca, gama spektrumlari ile aynı anda alınan pulser spektrumlari kullanılarak ölü zaman ve darbe yığılimından kaynaklanan sayımları da TET alanına ilave edilmektedir. Bu şekilde MCS yönteminde sayımların değerlerinde oluşabilecek hatalar GETAY yöntemi kullanılarak daha iyi elimine edilmiştir. Yöntemimizin MCS yöntemine göre bir çok avantajı yanında tek dezavantajı, elde edilen spektrumların bilgisayar hafızasına transfer sırasında geçen süre nedeniyle, 4 saniyenin altında yarılanma süresine sahip izotoplar için istenilen hassasiyette çalışmamasıdır. Bunun nedeni, sayımlar sistemimizde kullanılan elektronik aletlerin hızlı veri işleme özelliğine sahip olmamasıdır. Ancak, CNAEM Fizik bölümünde yeni alınan CAMAC sisteminin çalıştırılmaya başlanması ile bu sorunun da çözüleceğini beklemekteyiz.

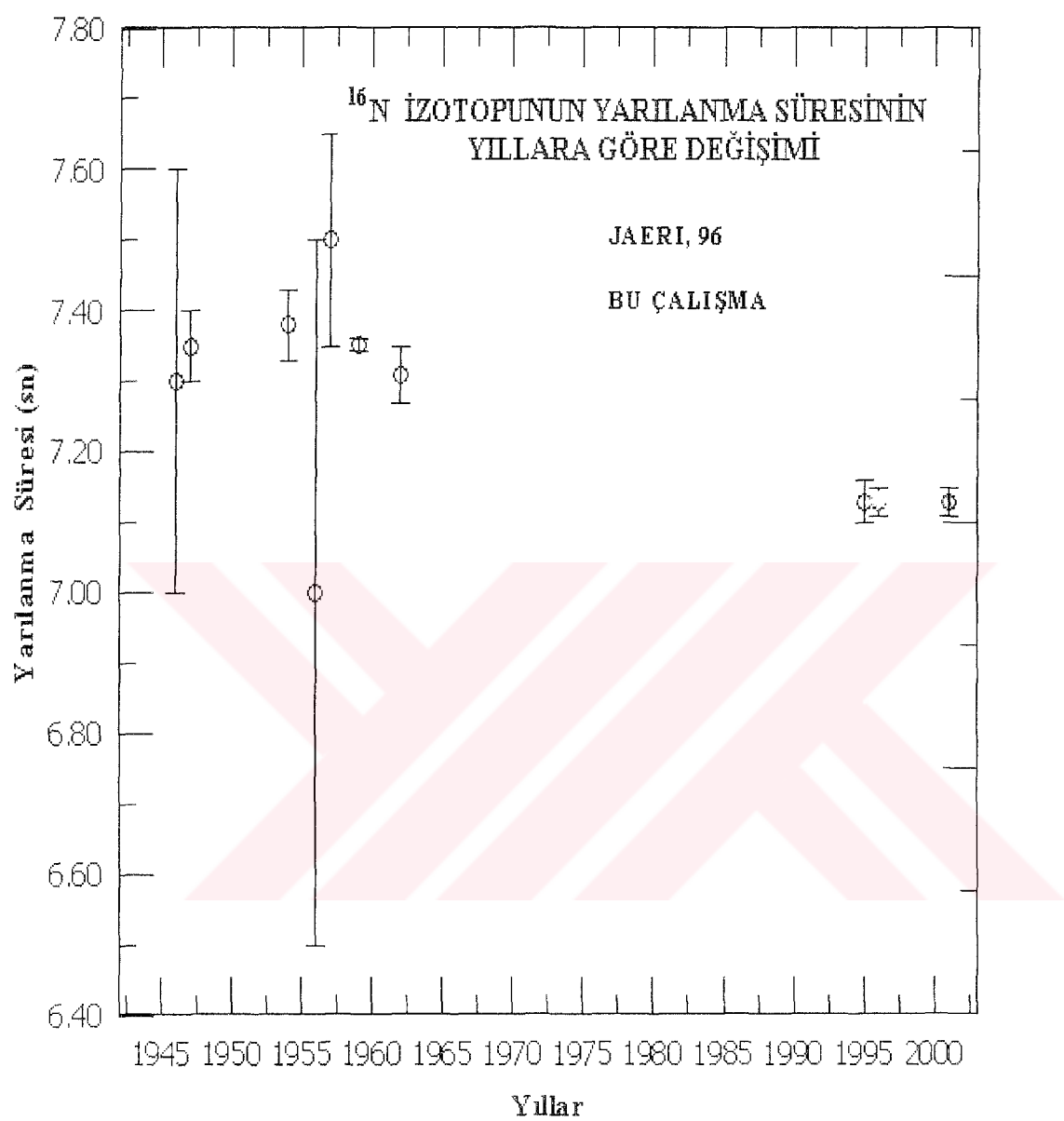
Kullandığımız bu yöntem ile belirlediğimiz  $^{91m}$ Mo,  $^{75m}$ Ge,  $^{68}$ Cu,  $^{46m}$ Sc,  $^{23}$ Ne,  $^{20}$ F,  $^{19}$ O ve  $^{16}$ N izotoplarına ait yarılanma süreleri Çizelge 6.1 de verilmektedir. Belirlediğimiz yarılanma süreleri diğer çalışmalar ve literatür değerler ile karşılaştırıldığında değerlerin son zamanlarda bulunan değerler ile uyum içinde olduğu görülmektedir. 1990 yılında beri bu konudaki çalışmalarını yoğunlaştıran ve her yıl periyodik olarak ölçümler yapan JAERI ( Japon Atom Enerjisi Enstitüsü) ile de değerlerimizin uyum içindedir. Sadece  $^{91m}$ Mo ve  $^{19}$ O izotoplarının yarılanma sürelerinde JAERI sonuçları ile iyi bir uyum görülmemiştir. Bu ayrılık, çalışmamızda uygulanan düzeltmeler nedeniyle bu yarılanma süreleri için bir iyileştirme olarak kabul edilebilir. Ancak, bu çalışmada belirlenen yarılanma süreleri arasında  $^{68g}$ Cu izotopu için bulunan değeri de farklı değerlendirmek yerinde olur. Çünkü, tezde ayrıntılı olarak açıklandığı üzere (sayfa 88-98),  $^{68m}$ Cu izomer durumunun  $^{68g}$ Cu izotopunun 1077.34 KeV gama geçişine katkısı, literatürden alınan  $\lambda_g$  ve  $\lambda_m$  bozunma sabitleri kullanılarak ayıklanmıştır( Denklem 5.7) . Her ne kadar,  $\lambda_g / \lambda_m$  oran şeklinde hesaplamalara girdiği için sonuca yansiyacak hata küçük olacaksa da, elde edilen yarılanma süresi, bağımsız bir ölçüm sonucu olarak değerlendirilmeyebilir.

BNL tarafından hazırlanan Nuclear Wallet Card 2000 'de verilen yarılanma süreleri incelendiği zaman, bu verilerin birçoğunun hala 1986 ve daha önceki yıllara ait olduğu görülmekte ve son zamanlardaki çalışmalarında belirlenen değerler ile farklılıklar görülmektedir (özellikle değerler üzerindeki belirsizliklerde). Bu konudaki çalışmaların 1980 yılından sonra giderek azalması sonucu, literatür değerlerinin günümüzde ölçülen değerleri yansıtmasına neden olmuştur. Birçok çalışma ve hesaplamalarda (Aktivite ,tesir kesiti vs. gibi) büyük bir öneme sahip olan yarılanma süresinin, bu değerler ile yapılması, bulunacak değerlerdeki hataların büyümESİSE nedEN olmaktadır ( kısa yarı ömürlü çekirdeklerin tesir kesiti hesapları , reaktör malzemesi hesaplamaları vs. gibi).

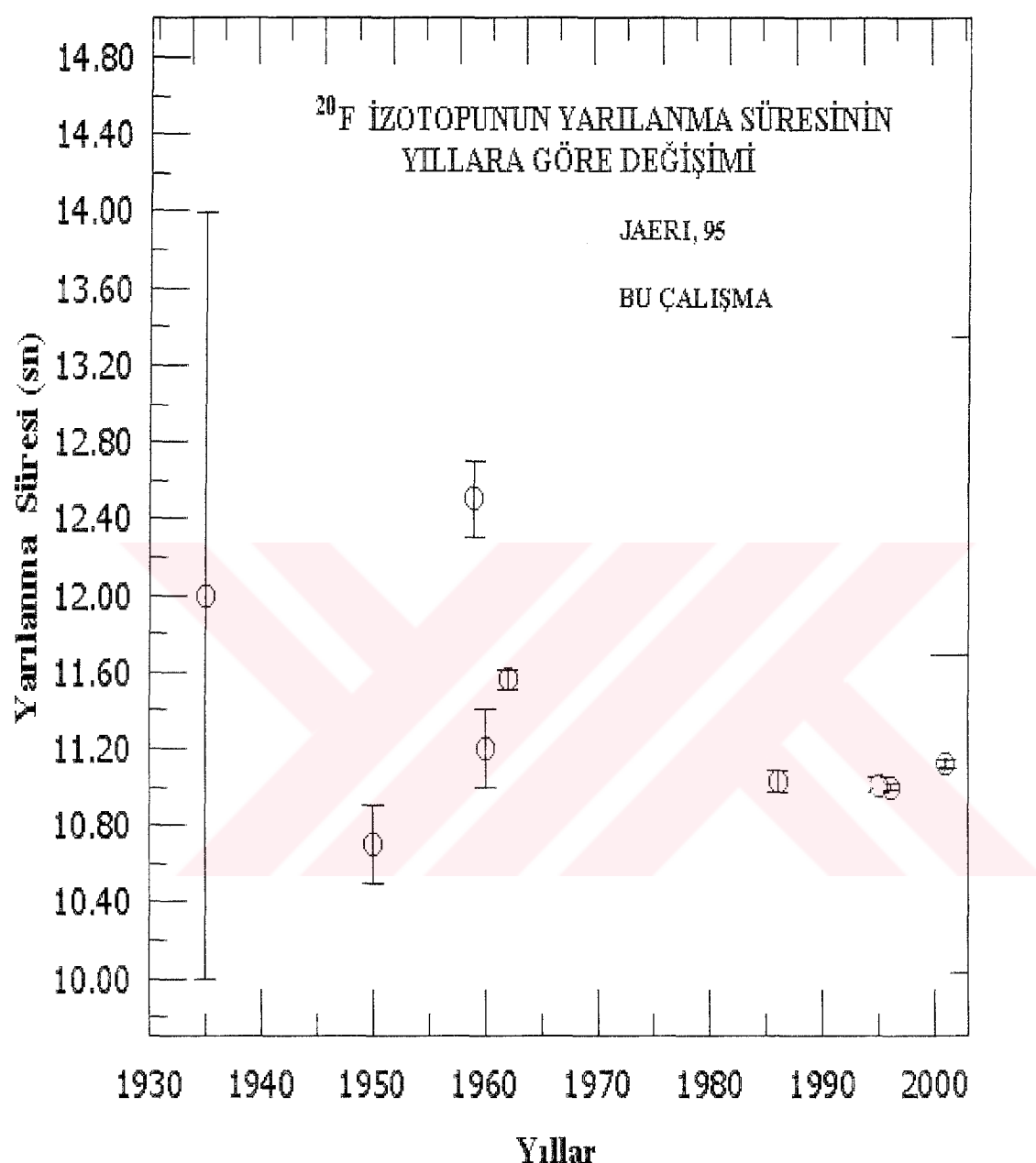
Sonuç olarak, bu tez çalışmasında, özellikle gelecekteki füzyon reaktörleri tasarımları ve yapımında kullanılma olasılıkları yüksek malzemelerden (Mo, Cu, Teflon (F), Oksijen.....) , reaktörün (D-T) çalışması ve sonrasında oluşacak radyoaktivitenin hesaplanması gerekli yarılanma süreleri, eski literatür değerlerine kıyasla, daha doğru ve duyarlı bir şekilde ölçülmüştür.

Çizelge 6.1 Bu çalışmada yarılanma süreleri ölçülen çekirdekler.

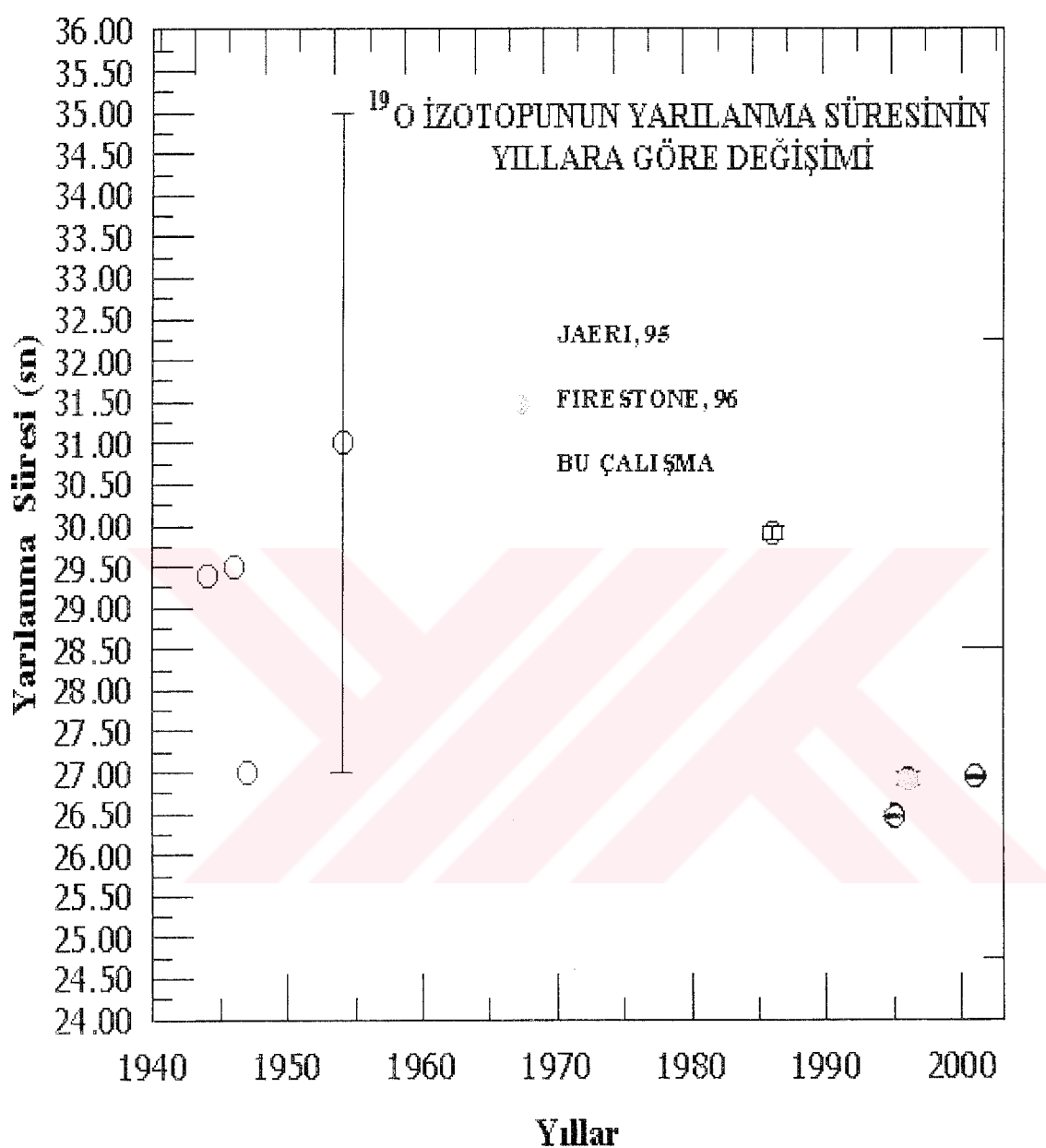
<b>İZOTOP</b>	<b>TEPKİLEŞİM</b>	<b>E<sub>γ</sub> (KeV)</b>	<b>DENEY SAYISI</b>	<b>YARILANMA SÜRESİ (sn)</b>	<b>REF. (Tuli,2000)</b>
<sup>91m</sup> Mo	<sup>92</sup> Mo(n,2n)	652.9	3	$65.40 \pm 0.32$	$64.6 \pm 0.32$
<sup>75m</sup> Ge	<sup>76</sup> Ge(n,2n)	139.68	3	$47.73 \pm 0.02$	$47.7 \pm 0.5$
<sup>68g</sup> Cu	<sup>68</sup> Zn(n,p)	1077.7	3	$31.11 \pm 0.05$	$31.1 \pm 0.15$
<sup>23</sup> Ne	<sup>23</sup> Na(n,p)	439.99	3	$37.24 \pm 0.05$	$37.24 \pm 0.12$
<sup>19</sup> O	<sup>19</sup> F(n,p)	197	3	$26.94 \pm 0.01$	$26.91 \pm 0.08$
<sup>46m</sup> Sc	<sup>46</sup> Ti(n,p)	142.53	3	$18.70 \pm 0.03$	$18.75 \pm 0.04$
<sup>20</sup> F	<sup>23</sup> Na(n, α)	1633.6	3	$11.122 \pm 0.032$	$11.163 \pm 0.008$
<sup>16</sup> N	<sup>19</sup> F(n, α)	6128	3	$7.13 \pm 0.02$	$7.13 \pm 0.02$



Şekil 6.1 <sup>16</sup>N çekirdeğinin yıllara göre yarılanma süresinin değişimi.



Şekil 6.2  $^{20}\text{F}$  çekirdeğinin yıllara göre yarılanma süresinin değişimi.



Şekil 6.3 <sup>19</sup>O çekirdeğinin yıllara göre yarılanma süresinin değişimi.

## KAYNAKLAR

- Bevington, P.R., (1969) , “Data Reduction and Error Analysis for the Physical Sciences”,McGraw-Hill Book Company, New York .
- Bostan,M., Erduran, N. ve Ercan,A.,(1988), “Silindir Şeklindeki Örneklerin Gama-Aktivitelerinin Belirlenmesinde Öz Soğurma ve Katı Açı Etkenlerinin İncelenmesi”, Ç.N.A.E.M. AR-250.
- Bödy,Z. ve Csikai, J., (1987), “ Data for 14 MeV Neutron Activation Analysis”, Handbook of Nuclear Activation Data, Vol 273, Brookhaven National Data Laboratory,USA.
- Brownw, E. ve Firestone,R.B.,(1986), “Table of Radyoactive İsotopes”, V.S. Shirley Ed., John Wiley and Sons Ltd., London.
- Canberra Inc., Analog to Digital Converter, Model 8075, Operator’s Manual, Canberra Industries, USA.
- Canberra Inc., Coaxial Ge Detector System, GC 2019, Instruction Manual, Canberra Industries, USA.
- Canberra Inc., High Voltage Power Supply, Model 3105, Operator’s Manual, Canberra Industries, USA.
- Canberra Inc., Multi Channel Analyser, Series 85 MCA, Operator’s Manual, Canberra Industries, USA.
- Canberra Inc., Multi Channel Scanning, Model 8082, Operator’s Manual, Canberra Industries, USA.
- Canberra Inc., Single Channel Analyser, Model 2035A, İnstruction Manual, Canberra Industries, USA.
- Canberra Inc., Spectroscopy Amplifier, Model 2020, Operator’s Manual, Canberra Industries, USA.
- Canberra Inc., Spectroscopy Preamplifier, Model 2001, Operator’s Manual, Canberra Industries, USA.
- Çetiner, M.A., Demirel. H., Demirbaş, A., Yücel, H. ve Çelenk, İ., (1997), “ Automation of Pneumatic System by Controlling a Microcomputer Equipped with a Custom Add on Board for Neutron Activation Analysis”, Applied Radiation İsotopes 48(3):397-402.
- Debertin, K. ve Schötzip, U., (1979), “ Coincidence Summing Corrections in Ge(Li)-Spectrometry at Low Sourse to detector Distances”, Nuclear Instruments and Methods, (158) 471-477.

Durusoy,A.Ş.,(2000)," Çok Kısa-Ömürlü çekirdeklerin oluşumuna neden olan 14 MeV Nötron Tepkileşimlerinin İncelenmesi", Doktora Tezi.

Elliot, J.O. ve Young, F.C., (1959), "Half Lives of  $^{16}\text{N}$ ,  $^{27}\text{Mg}$ ,  $^{28}\text{Al}$ ,  $^{37}\text{S}$  and  $^{104\text{m}^2}\text{Rh}$ ", Nuclear Science and Engineering, 5. 55 – 56.

Ercan. A., Erduran,N.,Gültekin, E. ve Bostan, M., (1990), " Gama Dedektör Veriminin Belirlenmesi ve Yakın Sayım Geometrisinde Büyük Hacimli Örneklerin Aktivitelerinin Ölçülmesi", ÇNAEM A.R.-281.

Ercan, A., (1995), "Nükleer Ölçümlerde İstatistik Uygulamalar", TAEK –TR –95 –2.

Erduran, M.N., Subaşı, M. ve Akkuş, B.,(1996), " Measurement of  $^3\text{H(d,n)}^4\text{He}$  Neutron Spectrum by Means of Time-of-Flight Technique for Fast Neutron Generator", Application of Accelerator in Research and Industry Conference, Denton, Texas- USA.

Filatenkov, A.A., Chuvaev, S.V., Jakovlev, V.A., Malyshenkov, A.V. ve Vasilyev, S.K., (1997), "Systematic Measurement of Cross Sections at Neutron Energies of 13,4-14,9 MeV", Conference Proceeding, Vol 59, "Nuclear Data for Science and Technology"

Firestone, R.B., (1996), "Table of Isotopes", V.S. Shirley Ed., Lawrence Berkeley National Lab., University of California.

Givens, W.W., Mills, W.R. ve Caldwell, R.L., (1970), " Cyclic Activation Analysis", Nuclear Instruments and Methods, 80:95-103.

Hirose,T., Yamamoto, H., Lida,T., Takahashi, A., Kasugai, Y., Ikeda,Y. and Kawade, K.,(1997), " Systematic Measurement of Beta-decay Half-Lives of Short-Lived Isotopes",JAERI-Conf, 97-005.

Itoh,s., Yasuda,M., Yamamoto, H., Lida, T., Takahashi, A. and Kawade, K., (1995), "Measurement of Beta-decay Half-lives of Short-lived Nuclei by Using High-rate Spectroscopy Amplifier", JAERI Conf., 95-008.

Ila, P., Jagam, P. ve Muecke, G.K., (1979), " Cyclic Activation with Flux Corrections", Nuclear Instruments and Methods, 159:145-151.

Kawade, K., Yamamoto, H., Tanaka, A., Hosoya, A., Katoh,T., Lida, T., Takahashi,A.,(1992), " Measurement of Beta-Decay Half-Lives of Short-Lived Nuclei, JAERI-M,92-027.

Knoll, G., (1979), Radiation Detection and Measurements, John Willey and Sons, New York.

Krane, K., (1988),"Introductory in Nuclear Physics", J.V. and Sons.

Malmskog, S. ve Konijn, J., "Half Live Measurement of  ${}^6\text{He}$ ,  ${}^{16}\text{N}$ ,  ${}^{19}\text{O}$ ,  ${}^{20}\text{F}$ ,  ${}^{28}\text{Al}$ ,  ${}^{77m}\text{Se}$  and  ${}^{110}\text{Ag}$ ", (1962), Nuclear Physics 38 196-210.

Meggitt,G.C.,(1976), "Cyclic Activation Flux Manitor", Nuclear Instruments and Methods, (134)257-259.

Nieuwendijk, B.J.T., Woittiez, J.R.W, Das, H.A., (1983), " Correction For Residual Dead-Time Losses in INAA Based on Short-Lived Radyonuclides", Journal of Radyoanalytical and Nuclear Chemistry,Articles, (89/2) 465-472.

Özbir, Y.,Gültekin, E.,Erduran, N.,Subaşı,M. ve Tarcan, G., (1998), " Bir Nötron Üreteci için Döngülü Çalışan Hızlı Örnek Taşıma Sistemi Geliştirilmesi ve Yapımı", ÇNAEM T.R.-999.

Reyhancan, A.İ.,Erduran, M.N. ve Subaşı, M., (1996), "Foil Aktivasyon Yöntemi ile Sames T-400 Nötron Üreticinin ve TR-2 Reaktörünün Nötron Akı Spektrumunun Belirlenmesi", VII. Ulusal Nükleer Bilimler ve Teknoloji Kongresi, 3-6 Eylül 1996, İTÜ,Nükleer Enerji Enstitüsü, İstanbul.

Subaşı, M., (1988), "Absolute Neutron Yield Determination of an Accelerator Neutron Source by Using The Associated Particle Method", ÇNAEM A.R.-247.

Subaşı, M., Erduran,N., Tarcan, G., Özbir,Y., Baykal, A., Gültekin, E. ve ercan, A., (1996), " Alçak Enerjili Bir İyon Hızlandırıcısında Mutlak Nötron Akışının Aktivasyon Yöntemi ile Belirlenmesi", ÇNAEM A.R.-249.

Tarcan, G., Gültekin, E., Özbir,Y., Baykal, A.,Subaşı, M., Atasoy, H. ve İpekçi, E., (1989), " Hızlı Nötron İşınlama Ünitesi Sames T-400 Tanıtımı ve Karakteristiklerin Tayini", ÇNAEM A.R.-262.

Tsoulfanidis, N., (1983), Measurement and Detection of Radiation, McGraw-Hill Company, New York, USA.

Tuli, J.K., (2000), " Nuclear Wallet Card ,6<sup>th</sup> ed. 2000" , Naitonal Nuclear Data Center Department of Energy Science and Technology, Brookhaven Naitional Laboratory.

Ward, R.C., Gomes, I.C. ve Smith,D.L.,(1994), " A Survey Selected Neutron Activation Reactions with Short Lived Products of Importance to Fusion Reactor Technology", INDC (USA)-106.

Wille,R.G. ve Fink,R.N.,(1960),Phys. Rev. 118 242.

Yoshida,T., (1983), "Theoretical Calculation of Decay Data of Short-Lived Nuclides for JNDC FP Decay Data File", JAERI-M,83-127.

## EK 1

### En Küçük Kareler Yöntemi

Ölçülen değişkenler arasında, genelde bir kuramsal ilişki olması beklenilir. Bu ilişkinin analitik ifadesinin katsayılarını belirleme işlemeye “uyumlama” (fitting) adı verilir.

Deneysel bir çalışmada ölçülen  $(x_i, y_i)$  çiftleri için mümkün eğriler arasında  $y_i - f(x_i, a_j)$  değerini minimum yapan eğriye “uyum eğrisi” adı verilir.  $(x_i, y_i)$  çiftleri için  $y_i$  değerlerinin  $\sigma_i$  ( $i=1, \dots, n$ ) hata ile ölçüldüğü bir deney göz önüne alalım. Bu ölçüm değerleri için aradığımız uyum fonksiyonu  $f(x, a_1, a_2, \dots, a_m)$  ve  $a_1, a_2, \dots, a_m$  belirlenecek katsayılar olsun. En küçük kareler yöntemi ile en iyi  $a_j$  değerlerini belirlemek için,

$$S = \sum_{i=1}^n \left[ \frac{y_i - f(x_i; a_j)}{\sigma_i} \right]^2 \quad (1.1)$$

toplamını minimum yapan  $x_i$  ve  $a_j$  değerleri belirlenmelidir. Böylece ölçüm noktalarını en iyi temsil eden uyum fonksiyonunun parametre değerleri bulunabilir. Zira ölçüm noktaları ile uyum fonksiyonu bire bir örtüşlüğü zaman  $y_i - f(x_i, a_j) = 0$  değerini olacaktır. Bu şekilde ölçüm noktalarını en iyi temsil eden uyum fonksiyonunun parametrelerinin belirleme işlemeye  $\chi^2$  - Minimizasyonu (Chi-square minimization) denilmektedir. Bununla beraber bu işlem tamamıyla geneldir ve asıl dağılım hakkında bilgi gerekli değildir.  $a_j$  değerlerini belirlemek için denklem sistemlerinin çözülmesi gereklidir. Denklem sistemi ve çözümü işlemi aşağıda anlatıldığı gibi yapılabilir.

$$\frac{\partial S}{\partial a_j} = 0 \quad (1.2)$$

ifadesi  $f(x)$  fonksiyonuna bağlıdır ve bir analitik çözüm verir veya vermez. Genel olarak  $S$  değerini minimize etmek için bilgisayar kullanarak nümerik çözümleme yapılır. En iyi  $a_j$  değerleri bulunduktan sonra katsayıların hataları hesaplanmalıdır. Bu işlem için kovaryans veya hata matrisi (error matrix)  $V_{ij}$  bulunmalıdır.

$$\left( \tilde{V}^{-1} \right)_{ij} = \frac{1}{2} \frac{\partial^2 S}{\partial a_i \partial a_j} \quad (1.3)$$

$$\left( \tilde{V} \right) = \begin{pmatrix} \sigma_1^2 & \text{cov}(1,2) & \text{cov}(1,3) & \dots \\ \cdot & \sigma_2^2 & \text{cov}(2,3) & \dots \\ \cdot & \cdot & \sigma_3^2 & \dots \\ \cdot & \cdot & \cdot & \dots \end{pmatrix} \quad (1.4)$$

$V_{ij}$  matrisinin diagonal elemanları  $a_i$  değerlerinin varyanslarını ve diagonal olmayan elemanlar ise  $a_i$  ile  $a_j$  arasındaki kovaryansları göstermektedir.

$a_j$  katsayıları bakımından doğrusal olan fonksiyonlarda,  $a_j$  değerlerinin sonucu veya ürünü olan terimler yoktur ve analitik olarak çözülebilirler. Bu durumda  $a_j$  değişkenlerine bağımsız değişkenler denir.

Yukarıdaki tanımlamalara uyan doğrusal denklem

$$y = f(x) = ax + b \quad (1.5)$$

şeklinde tanımlansın.  $S$  ifadesini yeniden düzenleyerek,

$$S = \sum_{i=1}^n \left[ \frac{y_i - ax_i - b}{\sigma_i} \right]^2 \quad (1.6)$$

olarak ifade edebiliriz. Belirlenmek istenen a ve b katsayılarına göre kısmi türevler alınırsa, S ifadesinden,

$$\frac{\partial S}{\partial a} = -2 \sum \frac{(y_i - ax_i - b)x_i}{\sigma_i^2} = 0 \quad (1.7)$$

$$\frac{\partial S}{\partial b} = -2 \sum \frac{(y_i - ax_i - b)}{\sigma_i^2} = 0 \quad (1.8)$$

olarak tanımlanır. Notasyonu basitleştirmek için,

$$\begin{aligned} A &= \sum \frac{x_i}{\sigma_i^2} & B &= \sum \frac{1}{\sigma_i^2} \\ C &= \sum \frac{y_i}{\sigma_i^2} & D &= \sum \frac{x_i^2}{\sigma_i^2} \\ E &= \sum \frac{x_i \cdot y_i}{\sigma_i^2} & F &= \sum \frac{y_i^2}{\sigma_i^2} \end{aligned} \quad (1.9)$$

kısaltmalar yapılarak Denklem (1.7) ve Denklem (1.8)

$$2(-E + aD + bA) = 0 \quad (1.9)$$

$$2(-C + aA + bB) = 0 \quad (1.10)$$

şeklinde ifade edilebilir ve buradan sonuç olarak a ve b katsayıları ,

$$a = \frac{EB - CA}{DB - A^2} \quad (1.12)$$

$$b = \frac{DC - EA}{DB - A^2} \quad (1.13)$$

olarak bulunur. Bu katsayıların hatalarını belirlemek için ters hata matrisi (Inverse Error Matrix) oluşturularak,

$$V^{-1} = \begin{pmatrix} A_{11} & A_{12} \\ A_{21} & A_{22} \end{pmatrix} \quad (1.13)$$

$$A_{11} = \frac{1}{2} \frac{\partial^2 S}{\partial a^2}, \quad A_{22} = \frac{1}{2} \frac{\partial^2 S}{\partial b^2}, \quad A_{12} = A_{21} = \frac{1}{2} \frac{\partial^2 S}{\partial a \partial b} \quad (1.13)$$

$V^{-1}$  in tersi alınarak,

$$V^{-1} = \frac{1}{A_{11}A_{22} - A_{12}^2} \begin{pmatrix} A_{22} & -A_{12} \\ -A_{12} & A_{11} \end{pmatrix} \quad (1.14)$$

ve buradan a ve b katsayılarının hataları

$$\sigma^2(a) = \frac{A_{22}}{A_{11}A_{22} - A_{12}^2} = \frac{B}{BD - A^2} \quad (1.15)$$

$$\sigma^2(b) = \frac{A_{11}}{A_{11}A_{22} - A_{12}^2} = \frac{D}{BD - A^2} \quad (1.16)$$

$$\text{cov}(a,b) = \frac{-A_{12}}{A_{11}A_{22} - A_{12}^2} = \frac{-A}{BD - A^2} \quad (1.17)$$

alarak belirlenir. Son işlem olarak uyumun kalitesi hakkında bilgi sahibi olmak için  $\chi^2$  (Chi-square) ile uyumun kalitesi kontrol edilmelidir.

**EK 2****YARILANMA SÜRESİ ÖLÇÜMLERİ İÇİN YAZILMIŞ KONTROL PROGRAMI**

```

REM *** BU PROGRAM ORTEC MODEL 919 İÇİN YAZILMIŞTIR ***
OPEN "KONTROL.DAT" FOR OUTPUT AS #5
5 COLOR 0,1: cls
DIM SPEK(50,100):DIM PULS(50,50):DIM SKANAL(50,100)
DIM PKANAL(50,50)
REM ***** MENU EKRANI *****
FOR X=1 TO 20
LOCATE X,34:? CHR$(179):
LOCATE X,1:? CHR$(179):
NEXT X
LOCATE 2,2:?"ORTEC AYARLARI";"*****"
LOCATE 8,2:?"SİSTEM AYARLARI";"*****"
LOCATE 14,2:?"GÖREV DOSYASI";"*****"
LOCATE 19,2:?"*****"
COLOR 0
LOCATE 3,2:?"(A) DEVICE NO :""
LOCATE 4,2:?"(B) GAIN CONV. :"
LOCATE 5,2:?"(C) WINDOW :"
LOCATE 6,2:?"(D) CH.WITH. :"
LOCATE 7,2:?"(E) ENERJI KLB. :"
LOCATE 9,2:?"(F) DETECTOR HV :"
LOCATE 10,2:?"(G) COARSE GAIN :"
LOCATE 11,2:?"(H) FINE GAIN :"
LOCATE 12,2:?"(I) SHAPING TIME :"
LOCATE 13,2:?"(J) GOREV DOSYASI :"
LOCATE 15,2:?"(K) ORNEK ADI :"
LOCATE 16,2:?"(L) GAMA ENJ(KeV) :"
LOCATE 17,2:?"(M) DONGU SAYISI :"
LOCATE 18,2:?"(N) SAYMA SÜRESİ :"
LOCATE 19,2:?"(O) PULSER ENJ :"
REM *****SETUP DOSYASI DOSYA ÇAĞIRMA *****
OPEN "SETUP.TXT" FOR INPUT AS #1
INPUT #1,DVN$,GC$,ST$,GEN$,CHW$,KA,KB,DHV$,
COG$,FIN$,SHT$,JOB$,ORN$,KEV,DONS,SAYS,PULE
CLOSE #1

REM ***** *VERİLERİN YERLEŞTİRİLMESİ* *****
COLOR 0
LOCATE 3,21 :? DVN$

```

LOCATE 4,21:? GC\$  
 LOCATE 5,21 :? ST\$;",";GEN\$  
 LOCATE 6,21 :? CHW\$  
 LOCATE 7,21 :? USING"A:#.## B:#.##";KA;KB  
 LOCATE 9,21 :? DHV\$;" VOLT"  
 LOCATE 10,21:? COG\$  
 LOCATE 11,21:? FIN\$  
 LOCATE 12,21:? SHT\$;" M~KRO SN"  
 LOCATE 13,21:? JOB\$  
 LOCATE 15,22:? ORN\$  
 LOCATE 16,21:? KEV;" KeV"  
 LOCATE 17,21:? DONS  
 LOCATE 18,21:? SAYS;" SN."  
 LOCATE 19,21:? PULE;" Kev."

REM \*\*\*\*\*

50 LOCATE 1,40:" AYAR DEĞİŞTİRME"  
 LOCATE 2,35:PRINT"A,B,C,D,E,F,G,H,I,J,K,L,M,N (ÇIKIŞ=Z)"  
 LOCATE 3,35:PRINT "JOP DOSYASINI DÜZENLEME (W)":AYAR\$=INPUT\$(1)  
 IF AYAR\$="A"THEN GOTO 100  
 IF AYAR\$="B"THEN GOTO 200  
 IF AYAR\$="C"THEN GOTO 300  
 IF AYAR\$="D"THEN GOTO 400  
 IF AYAR\$="E"THEN GOTO 500  
 IF AYAR\$="F"THEN GOTO 600  
 IF AYAR\$="G"THEN GOTO 700  
 IF AYAR\$="H"THEN GOTO 800  
 IF AYAR\$="I"THEN GOTO 900  
 IF AYAR\$="J"THEN GOTO 1000  
 IF AYAR\$="K"THEN GOTO 1100  
 IF AYAR\$="L"THEN GOTO 1200  
 IF AYAR\$="M"THEN GOTO 1300  
 IF AYAR\$="N"THEN GOTO 1400  
 IF AYAR\$="O"THEN GOTO 1410  
 IF AYAR\$="Z"THEN GOTO 1500  
 IF AYAR\$="W"THEN GOTO 1450  
 GOTO 50  
 100 LOCATE 3,21:INPUT DVN\$:LOCATE 3,21:" "  
     LOCATE 3,21:PRINT DVN\$:GOTO 50  
 200 LOCATE 4,21:INPUT GC\$:LOCATE 4,21:" "  
     LOCATE 4,21:PRINT GC\$:GOTO 50  
 300 LOCATE 4,35:INPUT "KANAL BAŞLAMA ":";ST\$  
     LOCATE 5,35:INPUT "KANAL GENİŞLİĞİ ":";GEN\$  
     LOCATE 5,21:" ":"LOCATE 5,21:PRINT ST\$;",";GEN\$  
     LOCATE 4,35:PRINT " "  
         LOCATE 5,35:PRINT " ":GOTO 50  
 400 LOCATE 6,21:INPUT CHW\$:LOCATE 6,21:" "

```

LOCATE 6,21:PRINT CHW$:GOTO 50
500 LOCATE 4,35:PRINT "KANAL=ENERJI*(A)+(B)"
    LOCATE 5,35:INPUT "{A} KATSAYISI ":";KA
    LOCATE 6,35:INPUT "{B} KATSAYISI ":";KB
    LOCATE 7,21:?" ":"LOCATE 7,21:PRINT USING"A:#.## B:#.##";KA;KB
    LOCATE 4,35:PRINT " "
    LOCATE 5,35:PRINT " "
    LOCATE 6,35:PRINT " "":GOTO 50
600 LOCATE 9,21:INPUT DHV$:LOCATE 9,21:?" "
    LOCATE 9,21:PRINT DHV$;" VOLT":GOTO 50
700 LOCATE 10,21:INPUT COG$:LOCATE 10,21:?" "
    LOCATE 10,21:PRINT COG$:GOTO 50
800 LOCATE 11,21:INPUT FIN$:LOCATE 11,21:?" "
    LOCATE 11,21:PRINT FIN$:GOTO 50
900 LOCATE 12,21:INPUT SHT$:LOCATE 12,21:?" "
    LOCATE 12,21:PRINT SHT$;" MIKRO SN.":GOTO 50
1000 LOCATE 13,21:INPUT JOB$:LOCATE 13,21:?" "
    LOCATE 13,21:PRINT JOB$:GOTO 50
1100 LOCATE 15,21:INPUT ORN$:LOCATE 15,21:?" "
    LOCATE 15,21:PRINT ORN$:GOTO 50
1200 LOCATE 16,21:INPUT KEV:LOCATE 16,21:?" "
    LOCATE 16,21:PRINT KEV;" KeV":GOTO 50
1300 LOCATE 17,21:INPUT DONS:LOCATE 17,21:?" "
    LOCATE 17,21:PRINT DONS:GOTO 50
1400 LOCATE 18,21:INPUT SAYS:LOCATE 18,21:?" "
    LOCATE 18,21:PRINT SAYS;" SN.":GOTO 50
1410 LOCATE 19,21:INPUT PULE:LOCATE 19,21:?" "
    LOCATE 19,21:PRINT PULE;" SN.":GOTO 50
1450 SHELL "EDIT ":GOTO 50
1500 OPEN "SETUP.TXT" FOR OUTPUT AS #1
    WRITE #1,DVN$,GC$,ST$,GEN$,CHW$,KA,KB,DHV$,
          COG$,FIN$,SHT$,JOB$,ORN$,KEV,DONS,SAYS,PULE
    CLOSE #1

```

1505 REM \*\*\*\*\* ANA PROGRAM HAZIRLIKLARI \*\*\*\*\*

```

REM ***** OTOMATİK DONGU İSİMLENDİRME *****
DIM ORN$(DONS)
FOR XX=48 TO 56
FOR XY=48 TO 57
IF XX=48 AND XY=48 THEN XY=49
KONTROL1=KONTROL1+1: IF KONTROL1>DONS THEN GOTO 1600
IS$=CHR$(XX)+CHR$(XY)
ORN$(KONTROL1)=IS$
PRINT ORN$
NEXT XY:NEXT XX
A$=INPUT$(1)
REM *****

```

600 REM \*\*\*\*\* TANIMLAMALAR\*\*\*\*\*

```

REM ***** ENERJİ KALİBRASYONU
CLS
REM ***** PULSER İÇİN *****
KANAL=(PULE-KB)/KA
REM ARALIK=VAL(GEN$): PRINT "ARALIK=";ARALIK:STOP
ARALIK=30
PBAS=INT(KANAL-(ARALIK/2)): REM PEEK'İN SOL TARAFI
PBIT=INT(KANAL+(ARALIK/2)): REM PEEK'İN SAĞ TARAFI
REM ***** PEEK İÇİN *****
KANAL=(KEV-KB)/KA
REM ARALIK=VAL(GEN$): PRINT "ARALIK=";ARALIK:STOP
ARALIK=60
KBAS=INT(KANAL-(ARALIK/2)): REM PEEK'İN SOL TARAFI
KBIT=INT(KANAL+(ARALIK/2)): REM PEEK'İN SAĞ TARAFI

```

REM \*\*\*\*\* ORTEC 919 AYARLAMALARI

```

FLAGUP =&HFF
FLAGDOWN=0
SENDFLAG=0
RECVFLAG=&H3E0
SENDBOX =&H20
RECVBOX =&H400
SENDLEN =&H1C
RECVLEN =&H3FC
MCB=1
LOCATE 1,1 :PRINT "PEEK KANAL NO =",KANAL;"BASLAMA,B~T~□=";"{
";KBAS; " };"{ " ;KBIT;" }"

```

REM \*\*\*\*\*

REM \*\*\*\*\* KOMUT GİRME RUTİNİ \*\*\*\*\*
REM \*\*\*\*\* AYARLARIN İCRASI \*\*\*

```

ISLEM$="SET_DEVICE "+DVN$:CMD$=ISLEM$:GOSUB 9000
PRINT "SET DEVICE OK"
ISLEM$="SET_GAIN_CONVERSION "+GC$:CMD$=ISLEM$:GOSUB 9000
PRINT "SET GAIN CONVERS~ON OK"
ISLEM$="SET_WINDOW "+STS+", "+GEN$":CMD$=ISLEM$:GOSUB 9000
PRINT "SET WINDOW OK"
ISLEM$="SET_WITDH "+CHW$:CMD$=ISLEM$:GOSUB 9000
PRINT " SET WITDH OK"

```

```

REM ***** JOB DOSYASININ İCRASI
FOR DONO=1 TO DONS
REM CMD$="SHOW_LIVE":GOSUB 9000
CMD$="CLEAR":GOSUB 9000

```

```

CMD$="START":GOSUB 9000
REM ****ZAMAN KONTROL *****
SAYBAS=(TIMER):SAYBS=TIMER
SAYBIT=SAYBAS+SAYS
2650 C=(TIMER):SAYBT=TIMER
REM LOCATE 10,30:PRINT SAYBAS,SAYBIT,C
IF C>=SAYBIT THEN GOTO 2700
GOTO 2650
2700 REM ***** ALINAN SAYIMIN KAYDEDİLMESİ ****
REM CMD$="STOP":GOSUB 9000
REM CMD$="SHOW_TRUE":GOSUB 9000

REM OPEN ORN$+ORN$(DONO) FOR OUTPUT AS #3
REM OPEN "KONTROL.DAT" FOR OUTPUT AS #4
REM C=(TIMER):SAYBT=TIMER
OUT &H292,0
DEF SEG=&HD000
LL=0:FOR U=KBAS TO KBIT:LL=LL+1
BILGI!=PEEK(4*U+2)+256*(PEEK(4*U+3) AND &H7F)
BILGI!=BILGI!*65536!+PEEK(4*U)+256*PEEK(4*U+1)
SPEK(DONO,LL)=ABS(BILGI!):SKANAL(DONO,LL)=U
NEXT U
LL=0:FOR U=PBAS TO PBIT:LL=LL+1
BILGI!=PEEK(4*U+2)+256*(PEEK(4*U+3) AND &H7F)
BILGI!=BILGI!*65536!+PEEK(4*U)+256*PEEK(4*U+1)
REM PRINT #3,U,ABS(BILGI!)
PULS(DONO,LL)=ABS(BILGI!):PKANAL(DONO,LL)=U
NEXT U
PRINT ORN$;ORN$(DONO);;"OK";SAYBS;SAYBT;"SŞRE=";SAYBT-
SAYBS;RESP$
PRINT #5,ORN$;ORN$(DONO);;"OK";SAYBS;SAYBT;"SŞRE=";SAYBT-
SAYBS;RESP$
NEXT DONO
CLOSE #4
CMD$="STOP"
LOCATE 10,30:PRINT SAYBAS,SAYBIT,C
GOSUB 9000
FOR DONO=1 TO DONS
OPEN ORN$+ORN$(DONO) FOR OUTPUT AS #3
FOR KNL=1 TO 60
PRINT #3,SKANAL(DONO,KNL),SPEK(DONO,KNL)
NEXT KNL
CLOSE #3
OPEN ORN$+"P"+ORN$(DONO) FOR OUTPUT AS #4
FOR KNL=1 TO 30
PRINT #4,PKANAL(DONO,KNL),PULS(DONO,KNL)
NEXT KNL
CLOSE #4

```

NEXT DONO  
 BEEP:PRINT " PROGRAM SONLANDIRILDI...."

```
3000 CMD$="STOP":GOSUB 9000
CLOSE #5
END
```

REM \*\*\*\* ALT RUTİNLER \*\*\*\*\*

```
9000 REM **** KONUTU ~□LEME GTMNDER
GOSUB 10000
IF COMERR<-1 THEN PRINT
10000 REM ***** KOMUTLARIN İCRA VE KONTROL RUTİNİ *****
DEF SEG=&HD000
COMERR=-1
OUT &H292,(MCB-1) OR 8
POKE &H800,&HAA
IF PEEK(&H800)<&HAA THEN RETURN
POKE SENDLEN,0
POKE SENDLEN+2,0
POKE SENDFLAG,FLAGUP
LOP=0
POKE RECVFLAG,FLAGDOWN
WHILE ((PEEK(SENDFLAG)=FLAGUP) AND (LOP<1000))
POKE RECVFLAG,FLAGDOWN
LOP=LOP+1
WEND
IF LOP=1000 THEN :RETURN
FOR CNTR=0 TO LEN(CMD$)-1
POKE SENDBOX+2*CNTR,ASC(MID$(CMD$,CNTR+1,1))
NEXT CNTR
POKE SENDLEN,LEN(CMD$) MOD 256
POKE SENDLEN+2,LEN(CMD$)\256
POKE SENDFLAG,FLAGUP
GOSUB 20000: REM MCB YANITINI AL VE DTMN.
IF RSP$="ERR" THEN RETURN
IF LEFT$(RSP$,1)="%" THEN RSP$=""
PERRSP$=RSP$:COMERR=0:RETURN
RSP$=RSP$
GOSUB 20000
IF RSP$="ERR" THEN RETURN
PERRSP$=RSP$
COMERR=0
RETURN
20000 DEF SEG=&HD000
LOP=0
```

```
WHILE((PEEK(RECVFLAG)=FLAGDOWN) AND (LOP<1000))
  LOP=LOP+1
  WEND
  IF LOP=1000 THEN RETURN
  NUMCHARS=PEEK(RECVLEN)+256*PEEK(RECVLEN+2)
  RSP$=""
  FOR CNTR=0 TO NUMCHARS-1
    RSP$=RSP$+CHR$(PEEK(RECVBOX+2*CNTR))
  NEXT CNTR
  POKE RECVFLAG,FLAGDOWN
  RETURN
END
REM *****
PRINT " PROGRAM SONLANDIRILDI...."
END
REM ***** İŞLEM HATALI YÜRÜTÜLÜRSE SAYIMI DURDUR *****
25000 BEEP:BEEP:PRINT " PROGRAMDA HATA VAR"
END
```

**EK 3****IŞINLAMA SIRASINDAKİ NÖTRON AKISININ DENEY ŞARTLARI VE  
DENEYSEL VERİLER İLE HESAPLAYAN PROGRAM**

4000 REM \*\*\*\*\* TMRNEK İNŁAMA SİMÜLASYONU \*\*\*\*\*

4005 COLOR 0,3: cls

```

REM ***** MENU EKRANI *****
Locate 2,1: ?"ÖRNEK ISINLAMA SIMULASYONU"; *****
LOCATE 19,2:*****"
COLOR 3
LOCATE 5,2: ?"(A) NÖTRON ENJ      :"
LOCATE 6,2: ?"(B) TESİR KESETİ SIGMA(MBARN) :"
LOCATE 7,2: ?"(C) f(E gama)   :"
LOCATE 8,2: ?"(D) SAYIM KATI AÇISI   :"
LOCATE 9,2: ?"(E) ÖRNEK ATOM NO    :"
LOCATE 10,2:?"(F) ÖRNEK AĞIRLIĞI (N=>den) :"
LOCATE 11,2:?"(G) ÖRNEGİN % SAFLIĞI (N=>den):"
LOCATE 12,2:?"(H) İŞINLAMA SÜRESİ   :"
LOCATE 13,2:?"(I) BEKLEME SÜRESİ   :"
LOCATE 14,2:?"(J) SAYMA SÜRESİ    :"
LOCATE 15,2:?"(K) YARI ÖMRÜ (SEC)   :"
LOCATE 16,2:?"(L) NÖTRON AKISI    :"
LOCATE 17,2:?"(M) eff(E gama)   :"
LOCATE 21,2:?"(N) ÖRNEK AGIRLIĞI HESAPLAMALARI "
REM *****SETUP DOSYASI DOSYA ÇAĞIRMA*****
OPEN "SIMIN.TXT" FOR INPUT AS #1
IF EOF(1) THEN GOTO 4050
INPUT #1,NENJ,SIGMA,FGAMA,KATI,ATOMNO,AGIR,OBOL
, TI,TB,TS,YARI,NAK,EFFG,BMIK:CLOSE #1
REM ***** *VERİLERİN YERLEŞTİRİLMESİ* *****
COLOR 9
LOCATE 5,35 :? NENJ
LOCATE 6,35:? SIGMA
LOCATE 7,35 :? FGAMA
LOCATE 8,35 :? KATI
LOCATE 9,35 :? ATOMNO
LOCATE 10,35 :? AGIR;"//";BMIK;"GRAM"
LOCATE 11,35:? OBOL

```

```

LOCATE 12,35:? TI
LOCATE 13,35:? TB
LOCATE 14,35:? TS
LOCATE 15,35:? YARI
LOCATE 16,35:? NAK,"N/SEC"
LOCATE 17,35:? EFG
REM ***** * * * * *
4050 LOCATE 1,40:" AYAR DEĞİŞTİRME"
LOCATE 2,38:PRINT"A,B,C,D,E,(F),(G),H,I,J,K,L,M,N (HESAPLA=Z)"
AYAR$=INPUT$(1)
IF AYAR$="A"THEN GOTO 4100
IF AYAR$="B"THEN GOTO 4110
IF AYAR$="C"THEN GOTO 4120
IF AYAR$="D"THEN GOTO 4130
IF AYAR$="E"THEN GOTO 4140
REM IF AYAR$="F"THEN GOTO 4150
REM IF AYAR$="G"THEN GOTO 4160
IF AYAR$="H"THEN GOTO 4170
IF AYAR$="I"THEN GOTO 4180
IF AYAR$="J"THEN GOTO 4190
IF AYAR$="K"THEN GOTO 4200
IF AYAR$="L"THEN GOTO 4210
IF AYAR$="M"THEN GOTO 4220
IF AYAR$="N"THEN GOTO 4500
IF AYAR$="Z"THEN GOTO 4230
REM IF AYAR$="W"THEN GOTO 4240
GOTO 4050
4100 LOCATE 5,35:INPUT NENJ:LOCATE 5,35:" "
LOCATE 5,35:PRINT NENJ:GOTO 4050
4110 LOCATE 6,35:INPUT SIGMA:LOCATE 6,35:" "
LOCATE 6,35:PRINT SIGMA:GOTO 4050
4120 LOCATE 7,35:INPUT FGAMA:LOCATE 7,35:" "
LOCATE 7,35:PRINT FGAMA:GOTO 4050
4130 LOCATE 8,35:INPUT KATI:LOCATE 8,35:" "
LOCATE 8,35:PRINT KATI:GOTO 4050
4140 LOCATE 9,35:INPUT ATOMNO:LOCATE 9,35:" "
LOCATE 9,35:PRINT ATOMNO:GOTO 4050
4150 LOCATE 10,35:INPUT AGIR:LOCATE 10,35:" "
LOCATE 10,35:PRINT AGIR,"GRAM":GOTO 4050
4160 LOCATE 11,35:INPUT OBOL:LOCATE 11,35:" "
LOCATE 11,35:PRINT OBOL:GOTO 4050
4170 LOCATE 12,35:INPUT TI:LOCATE 12,35:" "
LOCATE 12,35:PRINT TI:GOTO 4050
4180 LOCATE 13,35:INPUT TB:LOCATE 13,35:" "
LOCATE 13,35:PRINT TB:GOTO 4050
4190 LOCATE 14,35:INPUT TS:LOCATE 14,35:" "
LOCATE 14,35:PRINT TS:GOTO 4050
4200 LOCATE 15,35:INPUT YARI:LOCATE 15,35:" "

```

```

LOCATE 15,35:PRINT YARI:GOTO 4050
4210 LOCATE 16,35:INPUT NAK:LOCATE 16,35:""
    LOCATE 16,35:PRINT NAK,"N/SEC":GOTO 4050
4220 LOCATE 17,35:INPUT EFFG:LOCATE 17,35:""
    LOCATE 17,35:PRINT EFFG:GOTO 4050
1450 SHELL "EDIT ":GOTO 4050
4230 OPEN "SIMIN.TXT" FOR OUTPUT AS #1
    WRITE #1,NENJ,SIGMA,FGAMA,KATI,ATOMNO,AGIR,OBOL,TI,TB,TS
        ,YARI,NAK,EFFG,BMIK:CLOSE #1
    LAMDA=0.693/YARI
    Z=((1-EXP(-LAMDA*TI))*EXP(-LAMDA*TB)*(1-EXP(-LAMDA*TS)))/LAMDA
    ATSAY=6.022E+23/ATOMNO
    ALAN=NAK*AGIR*ATSAY*Z*EFFG*KATI*(FGAMA/100)*SIGMA*1E-27
    X=LOG(ALAN/10)/LOG(2)
    LOCATE 3,2
    PRINT "ALAN=";INT(ALAN),"SH:";INT(ALAN/TS);";cps"
        ,"YRO:";INT(X),"SPEK:";INT(X*YARI/TS),"HATA:","%"
        ;INT(100*SQR(ALAN)/ALAN)
    A$=INPUT$(1)
    GOTO 4005
4500 REM ***** ÖRNEK AĞRLIĞI HESAPLAMA *****
    CLS
4505 INPUT "ÖRNEK VEYA BİLEŞİKDEKİ ATOM ÇEŞİDİ SAYISI (MAX:4):",CES
    IF CES=1 THEN GOTO 4510
    IF CES=2 THEN GOTO 4520
    IF CES=3 THEN GOTO 4530
    IF CES=4 THEN GOTO 4540
    IF CES<>1 OR CES<>2 OR CES<>3 OR CES<>4 THEN GOTO 4505
    REM *****
4510 INPUT "ÖRNEĞİN ATOM AGIRLIĞI :",OBMIK
    INPUT "ÖRNEK SAFLIĞI (%) :",OBOL
    INPUT "ÖRNEK AGIRLIĞI :",BMIK
    AGIR=BMIK*OBOL/100
    PRINT "M^KTAR=";AGIR,"GRAM"
    PRINT "ATOM SAYISI=",AGIR*6.022E+23/OBMIK
    ATOMNO=OBMIK
    OPEN "SIMIN.TXT" FOR OUTPUT AS #1
    WRITE #1,NENJ,SIGMA,FGAMA,KATI,ATOMNO,AGIR,
        OBOL,TI,TB,TS,YARI,NAK,EFFG,BMIK:CLOSE #1
    A$=INPUT$(1)
    GOTO 4005

4520 INPUT "BİLEŞİKTEKİ 1.ATOMUN AGIRLIGI,ATOM SAYISI
    (İSTENİLENİN )=";O1,S1
    INPUT "BİLEŞİKTEKİ 2.ATOMUN AGIRLIGI,ATOM SAYISI =",O2,S2
    INPUT "BİLEĞİN % SAFLIĞI =",OBOL
    INPUT "BİLEŞİĞİN MİKTARI (GR) =",BMIK
    MAG=(O1*S1)+(O2*S2)

```

```

PRINT "MOLEKÜL AĞIRLIĞI=";MAG
AGIR=BMIK*(O1*S1)*100/(MAG*OBOL)
PRINT "MİKTAR=";AGIR,"GRAM      = G*h"
PRINT "ATOM SAYISI=",AGIR*6.022E+23/O1
ATOMNO=O1
OPEN "SIMIN.TXT" FOR OUTPUT AS #1
WRITE #1,NENJ,SIGMA,FGAMA,KATI,ATOMNO,AGIR
,OBOL,Tİ,TB,TS,YARI,NAK,EFFG,BMIK:CLOSE #1
A$=INPUT$(1)
GOTO 4005
4530 INPUT "BİLEŞİKTEKİ 1.ATOMUN AGIRLIĞI,ATOM SAYISI
(İSTENİLENİN )=",O1,S1
INPUT "BİLEŞİKTEKİ 2.ATOMUN AGIRLIĞI,ATOM SAYISI =",O2,S2
INPUT "BİLEŞİKTEKİ 3.ATOMUN AGIRLIĞI,ATOM SAYISI =",O3,S3
INPUT "BİLEŞİĞİN % SAFLIĞI =",OBOL
INPUT "BİLEŞİĞİN MİKTARI (GR) =",BMIK
MAG=(O1*S1)+(O2*S2)+(O3*S3)
PRINT "MOLEKÜL AĞIRLIĞI=";MAG
AGIR=BMIK*(O1*S1)*100/(MAG*OBOL)
PRINT "MİKTAR=";AGIR,"GRAM      = G*h"
PRINT "ATOM SAYISI=",AGIR*6.022E+23/O1
ATOMNO=O1
OPEN "SIMIN.TXT" FOR OUTPUT AS #1
WRITE #1,NENJ,SIGMA,FGAMA,KATI,ATOMNO,AGIR
,OBOL,Tİ,TB,TS,YARI,NAK,EFFG,BMIK:CLOSE #1
A$=INPUT$(1)
GOTO 4005
4540 INPUT "BİLEŞİKTEKİ 1.ATOMUN AGIRLIĞI,ATOM SAYISI
(İSTENİLENİN )=",O1,S1
INPUT "BİLEŞİKTEKİ 2.ATOMUN AGIRLIĞI,ATOM SAYISI =",O2,S2
INPUT "BİLEŞİKTEKİ 3.ATOMUN AGIRLIĞI,ATOM SAYISI =",O3,S3
INPUT "BİLEŞİKTEKİ 4.ATOMUN AGIRLIĞI,ATOM SAYISI =",O4,S4
INPUT "BİLEŞİĞİN % SAFLIĞI =",OBOL
INPUT "BİLEŞİĞİN MİKTARI (GR) =",BMIK
MAG=(O1*S1)+(O2*S2)+(O3*S3)+(O4*S4)
PRINT "MOLEKÜL AĞIRLIĞI=";MAG
AGIR=BMIK*(O1*S1)*100/(MAG*OBOL)
PRINT "MİKTAR=";AGIR,"GRAM      = G*h"
ATOMNO=O1
PRINT "ATOM SAYISI=",AGIR*6.022E+23/O1
OPEN "SIMIN.TXT" FOR OUTPUT AS #1
WRITE #1,NENJ,SIGMA,FGAMA,KATI,ATOMNO,AGIR
,OBOL,Tİ,TB,TS,YARI,NAK,EFFG,BMIK:CLOSE #1
A$=INPUT$(1)
GOTO 4005
4590 CLS
PRINT " BİR HATA OLUŞTU YENİDEN DENEYİN": GOTO 4005

```

**EK 4****EN KÜÇÜK KARELER X<sup>2</sup> YÖNTEMİ İLE UYUM PARAMETRELERİNİN BELİRLENMESİ**

```

REM ***** LEAST SQUARE FİT YÖNTEMİ İLE *****
REM ***** Y=A*EXP(-BX) DENKLEMİNİN,A VE B KATSAYILARI VE ***
REM ***** STANDART SAPMALARININ BELİRLENMESİ *****
REM ***** CHI-SQUARE FİT YÖNTEMİ İLE *****
REM ***** UYUM DENKLEMİNİN OPTİMİZE EDİLMESİ *****
REM ***** VE EĞRİYİ EN İYİ TEMSİL EDEN *****
REM ***** A VE B KATSAYILARININ BULUNMASI *****
REM ***** Y=A*EXP(-BX) DENKLEMİ, LN(Y)=LN(A)-BX DOĞRU *****
REM ***** DENKLEMİNE DÖNÜŞTÜREREK LEAST SQUARE FİT YÖNTEMİ
REM ***** KULLANILMIŞTIR *****
5 CLS
DIM X(50):DIM Y(50):DIM SIGMA(50):DIM YFI(50):DIM YFIO(50)
DIM SIGMAFI(50)

REM *****VERİLERİN DOSYADAN OKUNMASI
INPUT "DOSYA ISMI=".;AD$
ADI$=AD$+".TXT"
OPEN ADI$ FOR INPUT AS #1
OPEN AD$+"FIT.DAT" FOR OUTPUT AS #2
INPUT "VER~ SAYISI=".VERI
PAR=2: REM *****PARAMETRE SAYISI
SER=(VERI-1)-PAR :REM *****SERBESTLIK DERECESI
FOR I=1 TO VERI
INPUT #1,X,Y,S
REM IF EOF(1) THEN GOTO 1000
X(I)=X:Y(I)=Y:SIGMA(I)=S
PRINT X(I),Y(I),SIGMA(I)
NEXT I
A$=INPUT$(1)
10 REM ***** İŞLEMLER

```

```

SUM=0:SUMX=0:SUMY=0:SUMX2=0:SUMXY=0:SUMY2=0
FOR I=1 TO VERI
WEIGHT=Y(I)*Y(I)/(SIGMA(I)*SIGMA(I))
rem ****
REM WEIGHT=1/(SIGMA(I)*SIGMA(I))
rem ****

```

```

SUMX=SUMX+X(I)
SUMC=SUMC+WEIGHT
SUMY=SUMY+LOG(Y(I))
SUMWX=SUMWX+(WEIGHT*X(I))
SUMWX2=SUMWX2+(WEIGHT*X(I)*X(I))
SUMWXY=SUMWXY+(WEIGHT*X(I)*LOG(Y(I)))
SUMWY=SUMWY+(WEIGHT*LOG(Y(I)))
NEXT I
REM ***** KATSAYILAR VE STANDART SAPMALAR *****

```

```

DELTA=(SUMWX2*SUMC)-(SUMWX*SUMWX)
PRINT "DELTA=";DELTA
AA=((SUMWX2*SUMWY)-(SUMWX*SUMWXY))/DELTA
A=EXP(AA)
PRINT "AA=";AA,"A=";A
BB=((SUMC*SUMWXY)-(SUMWX*SUMWY))/DELTA
T=-0.693/BB
rem T=-1/BB

```

```

PRINT"BB=";BB,"T=";T
VARNCE=1
SIGMAA=SQR(SUMWX2/DELTA)
SIGMABB=SQR(SUMC/DELTA)
SIGMAB=(T*T*SIGMABB)
rem SIGMAB=(SIGMABB)

```

```

REM RR=(SUM*SUMXY-SUMX*SUMY)/(SQR(DELTA*(SUM*SUMY2-
SUMY*SUMY)))

```

```

PRINT "SIGMA A=";SIGMAA
PRINT "SIGMA B=";SIGMAB
PRINT "R=";RR

```

```
1000 REM END
```

```
1010 FOR X=1 TO VERI
```

```

YFI(X)=A*EXP(BB*X(X))
X2=X2+(1/SER)*((Y(X)-YFI(X))^2/SIGMA(X)^2)
PRINT YFI(X);
NEXT X
PRINT "X2=";X2

```

```
REM ***** OPTİMİZASYON *****
```

```
1020 IF KONT=1 THEN GOTO 2000
```

```

INPUT "A KATSAYISI İÇİN BASLAMA,BITIS,STEP
      ARALIĞI=";ABAS,ABIT,ASTEP
INPUT "B KATSAYISI İÇİN BASLAMA,BİTİŞ,STEP
      ARALIĞI=";BBAS,BBIT,BSTEP

```

```

LOCATE 2,2
FOR OA=ABAS TO ABIT STEP+ASTEP
FOR OB=BBAS TO BBIT STEP+BSTEP
X2O=0
FOR X=1 TO VERI
YFIO(X)=OA*EXP(OB*X(X))
SIGMAFI(X)=SQR(YFIO(X))
PRINT YFIO(X),SIGMAFI(X)
X2O=X2O+(1/SER)*((Y(X)-YFIO(X))^2/SIGMAFI(X)^2)
NEXT X

LOCATE 2,3:PRINT "X2 YEN^=";X2O,"X2 eski=";X2

IF X2O<X2 THEN GOSUB 3000

2000      NEXT OB
          NEXT OA
PRINT "BITTI":BEEP
REM ****
CLS
SUM=0:SUMX=0:SUMY=0:SUMX2=0:SUMXY=0:SUMY2=0
FOR I=1 TO VERI

WEIGHT=YFI(I)*YFI(I)/(SIGMAFI(I)*SIGMAFI(I))
rem ****
REM WEIGHT=1/(SIGMAFI(I)*SIGMAFI(I))
rem ****

SUMX=SUMX+X(I)
SUMC=SUMC+WEIGHT
SUMY=SUMY+LOG(YFI(I))
SUMWX=SUMWX+(WEIGHT*X(I))
SUMWX2=SUMWX2+(WEIGHT*X(I)*X(I))
SUMWXY=SUMWXY+(WEIGHT*X(I)*LOG(YFI(I)))
SUMWY=SUMWY+(WEIGHT*LOG(YFI(I)))
NEXT I
REM ***** YENİ KATSAYILAR VE STANDART SAPMALAR *****
DELTA=(SUMWX2*SUMC)-(SUMWX*SUMWX)
PRINT "DELTA=";DELTA
AA=((SUMWX2*SUMWY)-(SUMWX*SUMWXY))/DELTA
A=EXP(AA)
PRINT "AA=";AA,"A=";A
BB=((SUMC*SUMWXY)-(SUMWX*SUMWY))/DELTA
T=-0.693/BB
rem T=-1/BB

PRINT"BB=";BB,"T=";T

```

```
VARNCE=1
SIGMAA=SQR(SUMWX2/DELTA)
SIGMABB=SQR(SUMC/DELTA)
SIGMAB=(T*T*SIGMABB)
rem SIGMAB=(SIGMABB)

PRINT "SIGMA A=";SIGMAA
PRINT "SIGMA B=";SIGMAB
PRINT "R=";RR
PRINT #2, "SON~LK:A,B,CH~";OA;A,OB;BB,X2O,SIGMAA,SIGMAB
END
3000 CLS:
PRINT "A,B =";OA,OB,A,BB
PRINT #2, "A,B SON~LK,CH~";OA;A,OB;BB,X2O,SIGMAA,SIGMAB
X2=X2O
REM FOR X=1 TO VERI
REM Y(X)=YFIO(X)
REM SIGMA(X)=SIGMAFI(X)
REM NEXT X
REM A$=INPUT$(1)
RETURN
```

## ÖZGEÇMİŞ

Doğum Tarihi	17.04.1965	
Doğum Yeri	İstanbul	
Ortaöğretim	1972-1981	Almanya
Lise	1981-1984	Yeşilköy 50.Yıl Lisesi
Lisans	1985-1990	İ.Ü. Fen Edebiyat Fak. Fizik Bölümü.
Yüksek Lisans	1992-1995	İstanbul Üniversitesi Fen Bilimleri Enst. Fizik Anabilim Dalı.
Doktora	1995-2001	Yıldız Teknik Üniversitesi Fen Bilimleri Enst. Fizik Anabilim Dalı.
Çalıştığı Kurum	1995-2000	Y.T.Ü. Fen-Edebiyat Fakültesi Fizik Bölümü, Araş. Gör.
	2000-Devam ediyor	Çekmece Nükleer Araştırma ve Eğitim Merkezi, Fizik Bölümü.